

الجمهورية الجزائرية الديمقراطية الشعبية

وزارة التعليم العالي و البحث العلمي

جامعة فرhat عباس سطيف 1



كلية العلوم

قسم الفيزياء

أطروحة مقدمة لنيل شهادة الدكتوراه بكلية العلوم

التخصص : فيزياء المواد المكثفة

من طرف

مولود أم الرتم

العنوان

الدراسة النظرية للخواص البنوية، الإلكترونية و الترموديناميكية للتطورين المكعب

والمعيني القائم للمركبات  $(\text{Ba}, \text{Sr}, \text{Ca}) \text{ZrS}_3$

نوقشت علنا بتاريخ 18/01/2020 أمام اللجنة المكونة من:

رئيسا	أستاذ جامعة فرhat عباس سطيف 1	د. كمال كسالي
مشرفا و مقررا	أستاذ جامعة فرhat عباس سطيف 1	د. جمال معوش
متحنا	أستاذ محاضر أ بجامعة فرhat عباس سطيف 1	د. جلال شراد
متحنا	أستاذ بجامعة الإخوة منتوري قسنطينة 1	د. زين الدين ويلي
متحنا	أستاذ بجامعة محمد بوضياف المسيلة	د. حكيم بعزيز
متحنا	أستاذ محاضر أ بجامعة محمد بوضياف المسيلة	د. عبد المجيد بوصنبل

بِسْمِ اللَّهِ الرَّحْمَنِ الرَّحِيمِ

## بِسْمِ اللَّهِ الرَّحْمَنِ الرَّحِيمِ

قبل كل شيء أشكر الله عز وجل الذي أعطاني الإرادة والصبر والصحة للقيام بـهذا العمل.

أود أولاً أن أعرب عن خالص شكري للأستاذ الباحث معوش جمال المشرف على أطروحتي، ونصائحه القيمة حول معالجة الموضوع ودعمه المعرفي والمعنوي.

كما أخص بالشكور الجزييل إلى الأستاذ الباحث كمال كمال كمالى بجامعة فرجة عباس سطيف<sup>1</sup>، على اهتمامه بالموضوع وكذا قبوله وتقاضيه برئاسة لجنة المناقشة.

كما أقدم خالص امتناني وشكري لأعضاء لجنة المناقشة الأساند:

و يلى زين الدين جامعة الإخوة متورى قسنطينة 1

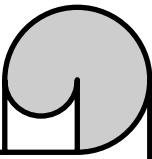
بوصنبل عبد الرحيم جامعة محمد بوضياف المسيلة

حكيم بعزيز جامعة محمد بوضياف المسيلة

جمال شداد جامعة فرجة عباس سطيف<sup>1</sup>

لقبول الجميع فحص عملى ومشاركة كهر الكرة في لجنة التحكيم

أخيراً، لا يفوتنى أن أقدم جزيل الشكر إلى الصديق الدكتور برى السعدى وكل نصائحه المشمرة وخاصة مهاراته العلمية التي كانت ثمينة للغاية بالنسبة لي، وأشكراً على استمرار دعمه خلال هذه السنوات وأتمنى له وللعائلة أطيب التمنيات. كما أتمنى النجاح لزملاء الدفعة: الرابع، ياسين، بوزيد، الطيب، صالح، عبد الله



## الإهتمامات:

الحمد لله رب العالمين والصلوة والسلام على خير الخلق وحاتم الأنبياء والمرسلين محمد (ص) ويعزى

أهدي هنا العمل إلى والدتي الكريمة

إلا زوجي ورفقة درسي "والله"

إلا أباً للدعى: مصطفى بالله، معاذ و المدرلة جوري

إلا كل من حملني حرفًا أصعب يضحي بالطريق أسامي

# الفهرس

تشكرات

الإهداء

قائمة الأشكال

قائمة الجداول

مقدمة عامة

1	.....	المراجع
7	.....	مقدمة عامة

## الفصل الأول: نظرية دالية الكثافة

11	.....	1.I مقدمة
12	.....	2.I معادلة شرودينغر للبلورة
13	.....	3.I تقريب بورن- أوبنهایمر
14	.....	4.I تقريب هارتري- فوك
15	.....	5.I نظرية دالية الكثافة
16	.....	1.5.I نظرية توماس - فارمي
17	.....	2.5.I نظريتي هوهناوغ - كوهن
18	.....	3.5.I معادلات كوهن - شام
22	.....	4.5.I طاقة التبادل و الارتباط
22	.....	5.5.I تقريب كثافة الموضع
23	.....	6.5.I تقريب التدرج المعمم
24	.....	7.5.I تقريب التدرج المعمم لأونقل - فوسکو
24	.....	8.5.I تقريب التدرج المعمم لهیبارد
26	.....	6.I المراجع

## الفصل الثاني: طرق الحساب

" طريقة الأمواج المستوية المتزايدة خطيا و الكمون الكامل  $FP-LAPW$  و طريقة الأمواج المستوية

"  $PP-PW$  و الكمون الزائف

29	.....	1.II مقدمة
29	.....	2.II طريقة الأمواج المستوية المتزايدة خطيا و الكمون الكامل
29	.....	..... 1.2.II مقدمة
29	.....	..... 2.2.II طريقة الموجة المستوية المتزايدة
31	.....	..... 3.2.II مبدأ طريقة الأمواج المستوية المتزايدة خطيا و الكمون الكامل
33	.....	..... 4.2.II WIEN2k برنامج
34	.....	..... 1.4.2.II التهيئة
35	.....	..... 2.4.2.II WIEN2k حساب مجال الاتساق الذاتي $SCF$ في برنامج
35	.....	..... 3.II طريقة الأمواج المستوية و الكمون الزائف
35	.....	..... 1.3.II مقدمة
37	.....	..... 2.3.II طريقة الكمون الزائف
38	.....	..... 3.3.II نظرية الكمون الزائف
40	.....	..... 4.3.II بناء الكمونات الزائفة
42	.....	..... 5.3.II الكمونات الزائفة مع المعايير المحفوظة
43	.....	..... 6.3.II الكمون الزائف فائق النعومة
44	.....	..... 7.3.II CASTEP برنامج
45	.....	..... 1.7.3.II CASTEP تقنية مجال الاتساق الذاتي $SCF$ في برنامج
46	.....	..... 4.II المقارنة بين طرقي الحساب $PP - PW$ و $FP-LAPW$
47	.....	..... 5.II المراجع

## الفصل الثالث: النتائج و المناقشة

50 .....	1. مقدمة.....III
50 .....	2. إعدادات الدخول.....III
52 .....	3. النهج الحسابي.....III
53 .....	4. الخواص البنوية.....III
54 .....	1.4. النتائج و المناقشة.....III
57 .....	5. الخواص الإلكترونية.....III
58 .....	1.5. النتائج و المناقشة.....III
58 .....	1.1.5. بنية عصابات الطاقة الإلكترونية.....III
63 .....	2.1.5. تأثير الضغط (الحجم $V_0$ ) على بنية عصابة الطاقة.....III
64 .....	3.1.5. PDOS / TDOS كثافة الحالات الكلية و الجزيئية.....III
65 .....	6. الخواص الترموديناميكية.....III
65 .....	1.6. النتائج و المناقشة.....III
67 .....	1.1.6. تغيرات الحجم بدالة درجة الحرارة.....III
68 .....	2.1.6. تغيرات معامل الانضغاط $B$ بدالة درجة الحرارة.....III
69 .....	3.1.6. تغيرات السعة الحرارية $C_V$ بدالة درجة الحرارة.....III
69 .....	4.1.6. تغيرات درجة حرارة ديباي ( $\theta_D$ ) بدالة درجة الحرارة.....III
70 .....	5.1.6. تغيرات معامل التمدد الحراري $\alpha$ بدالة درجة الحرارة.....III
72 .....	7. المراجع.....III
75 .....	خلاصة عامة.....

الملحق

الملخص

## قائمة الأشكال

3	الشكل(1): البنية البلورية للبيرفسكait <sub>3</sub> $ABX_3$
<b>الفصل الأول</b>	
21	الشكل(I.1): مخطط تمثيلي لنظرية دالية الكثافة حسب كوهن و شام
<b>الفصل الثاني</b>	
29	الشكل(II.1): تمثيل الكمون $MT$ "Muffin-Tin"
34	الشكل(II.2): بنية البرنامج $WIEN2k$
38	الشكل(II.3): التمثيل التخطيطي لبناء دالة الموجة الزائفه و الكمون الزائف
44	الشكل(II.4): تمثيل دالة الموجة الزائفه في مخطط فاندربيلت
<b>الفصل الثالث</b>	
53	الشكل(III.1): التركيب البلوري للطورين $Pm3m$ و $Pnma$ للبيرفسكait <sub>3</sub> $XZrS_3$
55	الشكل(III.2): تغيرات الطاقة الكلية بدلالة الحجم لمركبات البيرفسكait <sub>3</sub> $XZrS_3$
58	الشكل(III.3): تمثيل النقاط عاليه التناظر للبنية: (أ) $Pm3m$ و (ب) $Pnma$ في منطقة بريلوان الأولى ، $g2$ و $g3$ هي أشعة الشبكة العكسية)
60	الشكل(III.4): بنية عصابة الطاقة لاتجاهات عاليه التناظر في منطقة بريلوان للطور $Pnma$ لمركبات البيرفسكait <sub>3</sub> $XZrS_3$
61	الشكل(III.5): بنية عصابة الطاقة والكثافة الكلية للبنية $Pm3m$ للبيرفسكait <sub>3</sub> $XZrS_3$ باستخدام تقرير $PBE-GGA$
63	الشكل(III.6): تأثير الحجم على بنية عصابة الطاقة المحسوبة في البنية $Pnma$ باستخدام تقرير لمركبات البيرفسكait <sub>3</sub> $XZrS_3$ $PBE-GGA$

الشكل(7.III): كثافة الحالات الكلية والجزئية للبنية $Pnma$ باستخدام تقرير $PBE-GGA$	64	..... لمركبات البيرفسكait $XZrS_3$
الشكل(8.III): تغيرات الحجم بدلالة درجة الحرارة عند ضغوط مختلفة لمركبات البيرفسكait $XZrS_3$	67	.....
الشكل(9.III): تغيرات معامل الانضغاط $B$ بدلالة درجة الحرارة عند ضغوط مختلفة لمركبات البيرفسكait $XZrS_3$	68	.....
الشكل(13.III): تغيرات السعة الحرارية $C_V$ بدلالة درجة الحرارة عند ضغوط مختلفة لمركبات البيرفسكait $XZrS_3$	69	.....
الشكل(14.III): تغيرات درجة حرارة ديباي ( $\theta_D$ ) بدلالة درجة الحرارة عند ضغوط مختلفة لمركبات البيرفسكait $XZrS_3$	70	.....
الشكل(15.III): تغيرات معامل التمدد الحراري $\alpha$ بدلالة درجة الحرارة عند ضغوط مختلفة لمركبات البيرفسكait $XZrS_3$	71	.....

## **قائمة الجداول**

الجدول(1): تغير البنية البلورية حسب قيم عامل التسامح $t$	3	.....
<b>الفصل الثاني</b>		
الجدول(1.II): المميزات الرئيسية لطريقي الحساب $PP-PW$ و $(WIEN2k)$ $FP-LAPW$	46	..... $(CASTEP)$

## **الفصل الثالث**

الجدول(1.III): تجميع معلومات الإدخال في حسابات $WIEN2k$ و $CASTEP$	51	.....
الجدول(2.III): ثوابت الشبكة ( $GPa$ ) ومشتقته الأولى $B$ ، معامل الانضغاط $c$ ، $b$ (Å)، $a$ (Å)		
للبيرفسكait $XZrS_3$ للطورين $Pm3m$ و $Pnma$ مقارنة بالقيم التجريبية والنظرية المتاحة.	57	.....
الجدول(3.III): مجال عصابة الطاقة المحسوبة للطورين $Pm3m$ و $Pnma$ للبيرفسكait $XZrS_3$	62	.....

# **مقدمة عامة**

## مقدمة عامة

أصبحت الخصائص الفيزيائية للمواد ذات أهمية متزايدة لدى الباحثين للعثور على مواد جديدة تلبي الحاجة للتطوير التكنولوجي بغية الراحة والحضارة الإنسانية، خاصة المتخصصين الصناعيين في مجال المواد الرخيصة والحديثة للتقنيات المتقدمة، وقد بُرِز ذلك في العديد من مجالات الإلكترونيات الدقيقة والثانوية. إن المعرفة الجيدة لخصائص المواد أمر بالغ الأهمية، من ناحية التحكم في التصنيع ومن ناحية أخرى لاكتشاف مواد جديدة ذات خصائص مثيرة للاهتمام.

إن الخواص الفيزيائية للمواد ترتبط ارتباطاً وثيقاً ببنيتها الإلكترونية، وتعتبر هدف رئيسي لفيزياء المواد الصلبة. إن معرفة البنية الإلكترونية للمواد ضروري لفهم وتقسيير النتائج التجريبية المتحصل عليها، وتنبؤ بخواصها التي لم يتم تخصيصها تجريبياً بعد، لأنه قبل استعمال أي مادة في أي تطبيق تكنولوجي، يجب أولاً التأكد من ملائمة خواصها الفيزيائية و الكيمائية (الخواص البنوية، الإلكترونية، الميكانيكية و الضوئية... الخ) مع التطبيقات المرغوبة.

في السنوات الأخيرة أصبح الفيزيائيون مهتمين بشكل متزايد بالمحاكاة الرقمية، التي أصبحت قضية استراتيجية من حيث البحث العلمي والممارسة العملية. تتطلب عمليات المحاكاة التعريف الدقيق للنظام والنموذج المادي الصحيح للحسابات أو لتقسيير و/أو التنبؤ بالنتائج التجريبية، وبالتالي أصبح من الشائع التحدث عن "التجارب العددية" التي تحدد مجال الفيزياء المرتبط بكل من المناهج التجريبية والنظرية.

تستند تقنيات الحساب الجديدة عموماً إلى المحاكاة الكمومية للمبادئ الأولى *ab-initio* التي أصبحت اليوم أداة أساسية لحساب الخصائص البنوية، الإلكترونية والبصرية لأنظمة الأكثر تعقيداً. من خلال تطبيق طرق تستند إلى القوانين الأساسية لميكانيكا الكم والإلكترو ستاتيك، التي تعتمد على نظرية دالية الكثافة (*DFT*)، وأساسها أن الطاقة الكلية لنظام ما تكون دالية للكثافة الإلكترونية، ويرجع معظم التقدم المحرز في هذا المجال إلى نجاح تقريريات GGA و LDA في طريقي الحساب: الأمواج المستوية المتزايدة خطياً والكمون الكامل (*FP-LAPW*) والأمواج المستوية والكمون الزائف (*PP-PW*).

**البيرفسكait "Pérovskites"** هي مجموعة من المواد التي أثبتت في السنوات الأخيرة أهمية كبيرة في التقدم التكنولوجي وخاصة من خلال خصائصها الإلكترونية مثل الكهرباء الحرارية ، التأثيرات الكهربائية

## مقدمة عامة

الضوئية الخطية وغير الخطية، والنقل الفائق... هذه الخصائص تختلف من بيرفسكايت إلى آخر وفقاً للتركيب البلوري والتركيب الكيميائي لها.

تم اكتشاف معدن البيرفسكايت من قبل الجيولوجي غوستاف روز Gustav Rose في عام 1938 من العينات التي تم الحصول عليها من جبال الأورال. أخذ اسمه من عالم المعادن الروسي الكونت ليف ألكسيفيتش فون بيرفسكايت comte Lev Aleksevich Von Pérovskite [2,1] وقد تم حجز مصطلح البيرفسكايت أصلاً للمعدن المسمى أكسيد تيتانات الكالسيوم ذو الصيغة الكيميائية العامة  $CaTiO_3$ ، وتم تمديد التسمية لجميع أكسيدات الصيغة  $ABO_3$  ، وبشكل عام هناك نوعان من البيرفسكايت المصنفة وفقاً للاحتلال في المواقع A و B.

1. البيرفسكايت البسيط ، حيث يتم احتلال المواقع A و B التي يشغلها نوع واحد للكاتيون ، مثل



2. البيرفسكايت المعقد ، حيث يتم احتلال موقع A و / أو B في نفس الوقت من قبل اثنين على الأقل من الكاتيونات المختلفة ، كما هو الحال بالنسبة للتركيبيات :

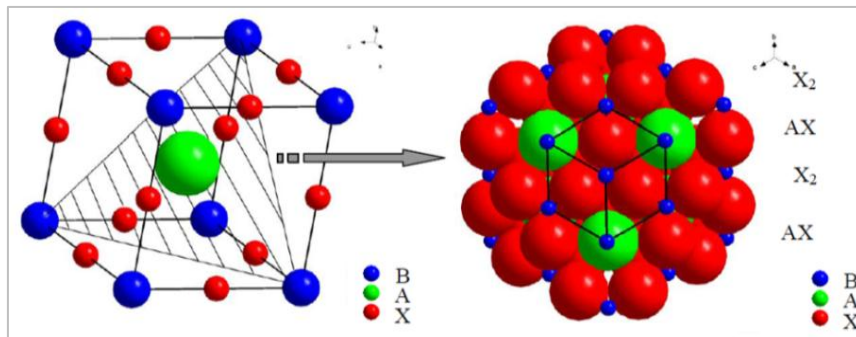


تتضمن هذه الفئة محاليلًا صلبة و عدة مركبات ذات بنية بسيطة أو معقدة. في هذا النوع قد يكون أو لا يكون هناك ترتيب في الأنيون داخل البنية.

يستخدم إسم بيرفسكايت حالياً لتسمية مجموعة محددة من المواد الثلاثية ذات الصيغة العامة  $ABX_3$  حيث تشير A إلى كاتيون بحجم كبير نسبياً وشحنة منخفضة مثل الترب النادرة أو المعادن الأرضية القلوية أو المعادن القلوية. أما B هي كاتيون صغير ، وعموماً عبارة عن معدن انتقال ، وغالباً ما يكون X عبارة عن أنيون بسيط مثل الأكسجين ، الاهالوجين والهيدروجين.

تتمتع عائلة البيرفسكايت بدرجة عالية من المرونة التركيبية ، و يمكن وصفها بشكل تخططي ذو الصيغة  $ABX_3$  ، حيث يشكل الكاتيون A و الأنيون X سوية صفاً مكداً يشتمل على الصفين AX و  $X_2$  (أنظر الشكل.1)

## مقدمة عامة



الشكل(1): البنية البلورية للبيرفسكايت  $ABX_3$

يعتمد استقرار البنية البيرفسكايتية بشكل أساسى على عاملين:

أ- عامل التسامح  $t$  : عرفه قولدشميت [3] Goldschmidt بالعلاقة:

$$t = \frac{R_a + R_X}{\sqrt{2}(R_b + R_X)} \quad \text{أو} \quad t = \frac{d_{a-X}}{\sqrt{2}(d_{b-X})} \quad (1)$$

حيث:  $d_{b-X}$  و  $d_{a-X}$  المسافة بين كاتيون-أنيون، و  $R$  يمثل نصف القطر الأيوني لأنواع المكونة.

هذا العامل مهم للغاية بالنسبة لمعظم البيرفسكايت لأنه من المعروف أن حجم الكاتيونات  $A$  و  $B$  يلعب دوراً أساسياً في الشبكة حتى تكون مستقرة أو غير مستقرة وأيضاً لوجود التشوّهات، عامل التسامح  $t$  يحدد القدرة الكلية للبيرفسكايت وحرية حركة الكاتيونات  $A$ ،  $B$  و  $X$ . من الناحية التجريبية فإن بنية البيرفسكايت مستقرة في المجال  $0.75 < t < 1.06$  مما يسمح بمجموعة واسعة من البدائل في المواقع  $A$  و  $B$  ، وبالتالي وجود عدد كبير من المركبات من هذه البنية، اعتماداً على قيمة عامل التسامح يمكننا

التمييز بين عدة بنى بلورية المجمعة في الجدول التالي:

		$0.75 < t < 1.06$ البيرفسكايت					
		$0.75 < t < 0.95$ تشويه الثلاثي	$0.96 < t < 0.99$ تشويه المعيني القائم	$0.99 < t < 1.06$ تشويه المكعب	$t > 1.06$ السداسي		
$t < 0.75$ المنيت							

الجدول(1): تغير البنية البلورية حسب قيم عامل التسامح  $t$  [4].

مع أن البيرفسكايت المثالي يكون في البنية المكعبة أين  $t = 1$ .

## مقدمة عامة

بـ- أيونية الروابط أنيون - كاتيون: تحدد انتلافاً من الاختلافات في الكهرو سلبية بين العناصر المكونة

كما عرفها باولي بالعلاقة :  $\Delta E = \frac{\chi_{A-X} + \chi_{B-X}}{2}$ . حيث  $\chi_{A-X}, \chi_{B-X}$  هي على التوالي الاختلافات في

الكهروسلبية بين كتیونات المواقع A و B المرتبطة بالهيدروجين، وتكون البنية البيرفوسکیتیة مثالیة عند وضوح طابعها الأيوني. يُظهر العديد من البيرفوسکایت سلوگاً عازلاً بسبب عدم وجود إلكترونات حرّة في عصابة النقل، وتحتوي بعض هذه المواد أيضًا على مجموعة واسعة من الخصائص الفیزیائیة كالنافلیة المشبعة والمحفزة والمفيدة مثل : من عازل ذو فجوة كبيرة إلى عازل كهربائي شفاف يصل إلى ناقل فائق، كما أنها تعرض مجموعة واسعة من عدم الاستقرار؛ انتقال عازل  $\leftarrow$  معدن و معدن  $\leftarrow$  عازل وتغيير البنية تحت الضغط و درجة الحرارة، علاوة على الخصائص البصرية ، و تطبيقاتها المحتملة في العديد من المجالات الصناعية و التقنية [5، 6].

البيرفوسکایت لديها إمكانات عالمية للاستخدام، لأنّه من الممكن أن تختلف خصائصها في حدود واسعة جداً لهذا السبب سماها البعض "الحرباء الكیمیائیة" ، وهي مفيدة للغاية في التطبيقات التكنولوجیة المختلفة مثل أکاسید النقل المختلط لفصل الغازات [7] ، المکثفات عالیة الجهد، المواد الكهرو إجهادیه في المحرکات المعدنیة والعزل [8] ، أقطاب كهربائیة عالیة الحرارة [9] ، کاثود [10] کهروضوئی والتحفیز الضوئی [11] ، کاشف ضوئی [12] ، الضوئیة [13] الكهرباء الصلبة [14] ، مستشعر الهيدروجين [15، 16] محول کهرو ضغطیة [17] مشغل ترمومترات [18] ، مرنان عازل [19] ذاكرة مغناطیسیة و عازل مغناطیسی [20، 21] ، مغیر کهروضوئی [22، 23] ، لیزر [24، 25] ، ناقل فائق [26، 27] ، أنصاف نواقل [28] ، کهرباء حدیدیة [29، 30]. هذه الخصائص المختلفة والبارزة للبيرفوسکایت وتطبيقاته التكنولوجیة يجعل منه مجالاً للحياة وأبحاث خصبة تجذب جل الكیمیائین والفیزیائین.

في الآونة الأخيرة، مركبات البيرفوسکایت مثل  $BaNpO_3$  ،  $Rb(Mn, V, Co, Fe)F_3$  و  $CeMnO_3$  تكون مغناط حدیدیة نصف معدنیة [31، 32]. تم إصدار نتائج مماثلة أيضاً في العديد من المركبات

## مقدمة عامة

الأخرى مثل  $Cr, Mn, V, Fe$  حيث  $Li_6XCl_8$  [33]، و  $CuMn_2InSe_4$  هي مركبات من نوع سوزوكي [34] ،  $SrO$  مطعم بـ  $(Cr, Mn, V)$  [35، 36]، مزدوج البيرفسكايتس  $FeCrRuSi$  [37] ومركب  $Heusler Sr_2GdReO_6$  [38] على عكس أشقاءها من الأكسيد والهاليد.

إن البيرفسكايتس العائد للكالسيونين متعدد الكريستالات (  $SrZrS_3, BaZrS_3$  و  $CaZrS_3$  ) ليس مصنف بدقة من قبل عامل التسامح  $t$ ، ويلقى القليل من الاهتمام نتيجة لنشر عدد قليل فقط من البيانات المحدودة حول خصائصها المادية، خاصة تلك التي لديها  $X = S$ . بعض منها له مراحل تم الإبلاغ عنها بأنها غير معروفة على وجه اليقين، والمركبات  $CaZrS_3$  و  $SrZrS_3$  تم تجميعها بواسطة كلينر *Clear* منذ 1963 [39]، وبعد عمل ميلر وروي *Muller and Roy* [40]، زاد عدد مركبات  $ABS_3$  المركبة بشكل كبير، وأثبتت هذه المواد أنها مفيدة جدًا لتطبيقات تحويل الطاقة الشمسية [41، 42]. إن طابعها الأيوني العالي يمنحها طريقًا جديداً لخصائص أنصاف النواقل الهندسية ل التطبيقات مثل استرداد الطاقة، وإضاءة الحالة الصلبة والكشف عنها، وتجدر الإشارة إلى أن البنية الإلكترونية والثوابت العازلة لمركبات  $CaZrS_3$  و  $BaZrS_3$  تمت دراستها بواسطة سان وآخرين *Sun and al* [43] في ثلاثة مراحل مختلفة باستخدام حسابات المبدأ الأول، علاوة على ذلك مينق و آخرين *Meng and al* [44] قاموا بدراسة نظام السبائك  $BaZr_{1-x}Ti_xS_3$  مما يوحي بضبط فجوة عصابة الطاقة. في الآونة الأخيرة، بنية العصب الإلكترونية لمركبات  $SrZrS_3, BaZrS_3$  و  $CaZrS_3$  في الطور المعيني القائم (*Pnma*) *Pbnm* تم دراستها بواسطة كيهار وآخرين *Kuhar and al* [45] باستخدام شكري جهاز الساقط المتزايد الموجي فجوات عصب الطاقة التي بلغت 2.25 و 2.5 و 2.48 إلكترون فولت لمركبات  $SrZrS_3, BaZrS_3$  و  $CaZrS_3$  على التوالي.

من خلال ما سبق يتضح جلياً أن هناك شح في المعلومات الخاصة بالبيرفسكايتس ذات  $S = X$  ، وعدم دراسة بعض الخصائص الفيزيائية بالتفصيل، رغم أهمية معرفتها من أجل التطبيقات التكنولوجية.

## مقدمة عامة

لهاذا فإن الهدف الرئيسي من العمل البحثي الذي تم خلال هذه الأطروحة هو دراسة الخصائص البنوية الإلكترونية والتنبؤ بالخصائص الديناميكية الحرارية للبيرفسكait  $BaZrS_3$  ،  $SrZrS_3$  و  $CaZrS_3$  من خلال استخدام الطريقتين - الأمواج المستوية المتزايدة خطيا و الكمون الكامل  $FP-LAPW$  و الأمواج المستوية والكمون الزائف  $PP-PW$  للomba الأول لنظرية دالية الكثافة.

الأطروحة مبنية على ثلاثة فصول، مقدمة عامة، وخاتمة منظمة على النحو التالي:  
الفصل الأول كرس لنظرية دالية الكثافة  $DFT$ ، وكذلك معادلات كوهن- شام، والتقربيات المختلفة للدرج المعمم  $GGA$  المستخدمة لتحديد كمون التبادل و الارتباط.

يصف الفصل الثاني التقاصيل الرئيسية لطرق الحساب (طريقة الأمواج المستوية المتزايدة خطيا والكمون الكامل، وطريقة الأمواج المستوية والكمون الزائف).

الفصل الثالث يلخص النتائج ومناقشتها بالمقارنة مع الأعمال النظرية و التجريبية الأخرى المتاحة و يحتوي هذا الفصل على جزأين رئيسيين:

- في الجزء الأول نجمع نتائج الحسابات التي أجريت على الخواص البنوية والإلكترونية للمركيبات  $BaZrS_3$  ،  $SrZrS_3$  و  $CaZrS_3$ ، وقد حسبنا ثوابت الشبكة ، معامل الانضغاط  $B$  ومشتقته الأولى ' $B'$ ، وكثافة الحالات الكلية و الجزيئية باستخدام التقربيات المختلفة للدرج المعمم:  $GGA-WC$ ،  $GGA-PBE$ ،  $GGA+U$ ،  $GGA-EV$  و  $GGA-PBE$  بواسطة الطريقتين ( $PP-PW$  و  $FP-LAPW$ ) على التوالي. كما قمنا بدراسة  $GGA-Sol$  تأثيرات الضغط (الحجم  $V_0$ ) على بنية عصب الطاقة لمركيبات البيرفسكait  $XZrS_3$ .

- الجزء الثاني استخدمنا برنامج جيبيس لحساب الخصائص الديناميكية الحرارية لمركيبات البيرفسكait  $XZrS_3$ ، ودراسة المتغيرات التالية: الحجم  $V_0$ ، معامل الانضغاط  $B$  ، السعة الحرارية  $C_V$  عند حجم ثابت، درجة حرارة ديباي ( $\theta_D$ )، ومعامل التمدد الحراري  $\alpha$  بدالة درجة الحرارة، وتختم هذه الأطروحة بملخص شامل للنتائج التي تم الحصول عليها والتي قدمت في شكل خلاصة عامة.

- [1] R. M. Hazen, Sci. Am. 6 (1988) 52.
- [2] R. H. Mitchell, T. Bay, Ontario. Vol 58 (2002) 1075.
- [3] V. M. Goldschmidt, Die Naturwissenschaften. 14 (1926) 477.
- [4] J. B. Philipp, P. Majewski, L. Alff, A. Erb, R. Gross, Phys. Rev. B 68 (2003) 144431.
- [5] A. Soukiassian, W. Tian, V. Vaithyanathan, J. H. Haeni, L. Q. Chen, X. X. Xi, D. G. Schlom, D.A. Tenne, H. P. Sun, X. Q. Pan, K. J. Choi, C. B. Eom, Y. L. Li, Q. X. Jia, C. Constantin, R. M. Feenstra, M. Bernhagen, P. Reiche, R. Uecker. J. Mater. Res. 23 (2008) 1417-1432.
- [6] N. S. Chong, N. T. Suen, T. L. Chou, H. Y. Tang, 8 (2008) 1779-1782.
- [7] H. M. Christen, L. A. Boatner, J. D. Budai, M. F. Chisholm, L. A. Gea, D. P. Norton, C. Gerber, M. Urbanik, Applied Physics Lett. 70 (1997) 2147-2149.
- [8] U. Balachandran, B. Ma, P. S. Maiya, R. L. Mieville, J. T. Dusek, J. J. Picciolo, J. Guana, Argonne National Laboratory. (1995) 60436.
- [9] T. Kawada, M. Sase, M. Kudo, K. Yashiro, K. Sato, J. Mizusaki, N. Sakai, T. Horita, K. Yamaji, H. Yokokawa, S. S. I. 177(2006) 3081-3086.
- [10] N. Q. Minh, Ceramic. J. Am. Ceramic Soc. 76 (1993) 563-588.
- [11] U. A. Joshi, J. S. Jang, P. H. Borse and J. S. Lee, Appl. Phys. Lett. 92 (2008) 242106.

- [12] P. Ramasamy, D-H. Lim, B. Kim, S-H Lee, M-S Lee and J-S Lee, Chem. Commun. 52 (2016) 2067-2070.
- [13] A. H. Slavney, T. Hu, A. M. Lindenberg, and H. I. Karunadasa, J. Am. Chem. Soc. 138 (2016) 2138-2141.
- [14] M. Feng and J. B. Goodenough .31 (1994) 663-672.
- [15] H. Iwahara, T. Esaka, H. Uchida and N. Maeda, Vol 3-4 (1981) 359-363.
- [16] H. Iwahara, H. Uchida, K. Ono and K. Ogaki, Journal of The Electrochemical Society. 135 (1988) 529-533.
- [17] D. Dimos and C. Mueller, 28 (1998) 397-419.
- [18] T. Shaw, S. Trolier-McKinstry and P. McIntyre, Annual Review of Materials Science. 30 (2000) 263-298.
- [19] H. Kishi, Y. Mizuno and H. Chazon, 42 (2003) 1-15.
- [20] G. H. Jonker, Physica. 22 (1956) 707-722.
- [21] Y. Moritomo, A. Asamitsu, H. Kuwahara and Y. Tokura, Giant.Nature, 380 (6570) (1996) 141-144.
- [22] M. Moret, M. Devillers, K. Wohlfeld and P. Larsen, Journal of Applied Physics. 92 (2002) 468-474.
- [23] F. Jona, G. Shirane and R. Pepinsky, Phys. Rev. 97 (1955) 1584-1590.
- [24] M. Weber, M. Bass and G. Demars, 42 (1971) 301.
- [25] K. Rao and K. Yoon. Journal of Materials Science, 38 (2003) 391-400.

- [26] J. Ihringer, J. Maichle, W. Prandl, A. Hewat and T. Wroblewski, Z. Physic B-Condensed Matter. 82 (1991)171-176.
- [27] T. Sampathkumar, S. Srinivasan, T. Nagarajan and U. Balachandran, Applied Superconductivity. 2 (1994) 29-34.
- [28] H. P. R. Frederikse, W. R. Thurber, and W. R. Hosler, Phys. Rev. 134 (1964) 442.
- [29] C. B. Samantaray and H. Sim. Hwang, Physica B: Condensed Matter. 351 (2004) 158-162.
- [30] J. G. Bednorz and K. A. Müller, Phys. Rev. Lett. 52 (1984) 2289.
- [31] S. Berri, D. Maouche, M. Ibrir, B. Bakri, 26 (2014) 199-204.
- [32] S. A. Khandy and D. C. Gupta. Materials Chemistry and Physics. 198 (2017) 380-385.
- [33] S. Berri, 31 (2018) 1941-1947.
- [34] S. Berri, 29 (2018) 2381-2386.
- [35] S. Berri, A. Kouriche, D. Maouche, F. Zerarga and M. Attallah, 38 (2015) 101-106.
- [36] M. Berber, B. Doumi, A. Mokaddem, Y. Mogulkoc, A. Sayede and A. Tadjer, Journal of Computational Electronics. 13 (2017) 542-547.
- [37] S. Berri, 385 (2015) 124-128.
- [38] S. Berri, 29 (2016) 2381-2386.
- [39] A. Clear\_eld, Acta Cryst. 16 (1963) 135.
- [40] O. Muller and R. Roy, Springer-Verlag, New York, NY, USA (1974).

- [41] J. A. Brehm, J. W. Bennett, M. R. Schoenberg, I. Rappe, A. M. Grinberg, J. Chem. Phys. 140 (2014) 224703.
- [42] A. Nijamudheen, A. V. Akimov, J. Phys. Chem. Lett. 9 (2018) 248-257
- [43] Y. Y. Sun, M. L. Agiorgousis, P. Zhang and S. Zhang. Nano Lett. 15 (2015) 581-585.
- [44] F. Hong, B. Saparov, W. Meng, Z. Xiao, D. B. Mitzi, and Y. Yan. J. Phys. Chem. C120 (12) (2016) 6435-6441.
- [45] K. Kuhar, M. Pandey, K. S. Thygesen and K. W. Jacobsen, ACS Energy Lett. 3 (2018) 436-446.
- [46] J. Enkovaara, C. Rostgaard, J. J. Mortensen, J. Chen, M. Dułak, L. Ferrighi, J. Gavnholt, C. Glinsvad, V. Haikola and H. A. Hansen, J. Phys. Condens Matter. 22 (2010) 253202.

# **الفصل الأول**

## **نظريّة دالية الكثافة**

## I.1 مقدمة

في بداية القرن العشرين كانت الخطوة الأولى نحو وصف جيد للخواص الفيزيائية في الحالة الصلبة بواسطة حيود الأشعة السينية، مما سمح بعد ذلك بتحليل الموضع الذري في البلورات، منذ ذلك الحين سهلت التقنيات التجريبية الأكثر تطوراً لمراقبة المراحل الصلبة للعناصر.

اليوم من الممكن تحليل الخصائص البنوية للبلورات تجريبياً في ظل ظروف الضغط ودرجة الحرارة والتي تكون ثابتة (في تجارب الماس والسنдан)، أو تحت الصدمة (في التجارب باستخدام مدفع الغاز). من ناحية أخرى، لا يزال مجال الضغط العالي مقيداً بالجهاز التجاري، و بالتوازي مع هذه التطورات التجريبية ، تم تطوير نظريات تتيح وصفاً جيداً للمراحل الصلبة وبنيتها الإلكترونية ، مثل نماذج حساب *ab-initio* المشتقة مباشرة من معادلة شرودينغر والتي تسمح بالحصول على جميع الخصائص الفيزيائية للنظام.

لا تتضمن هذه النماذج سوى الدلائل المادية الأساسية، ولا تحتوي على أي معلومات تجريبية. تمثل مزايا هذه الطرق في إمكانية التنبؤ بالخصائص، حيث من الممكن الوصول إلى المناطق الديناميكية الحرارية التي يتعدى الوصول إليها تجريبياً حيث يمكن للمرء معالجة أي عنصر مسبق.

في الواقع ، أتاحت هذه الطرق النظرية المختلفة دراسة وتصنيف البنى وتحولات الطور المستحدث تحت ضغط المعادن البسيطة ، لكن هذا ليس هو الحال بالنسبة للمركبات التي تحتوي على معادن أكثر تعقيداً مثل المعادن الانتقالية ذات المدارات *d* و *f* (اللانثانيدات أو الأتربيت النادرة (*4f*) و الأكتنيدات (*5f*)). من ناحية أخرى، دراسة الخواص الفيزيائية لهذا النوع من المواد.

أول استغلال لحسابات *ab-initio* في عام 1985 من قبل م. بريندلو و ر. كار *Car Parrinello* [1]، و منذ ذلك الحين أصبح لدراسة الديناميكي الجزيئي لأساليب *ab-initio* صدى كبير وأثمرت هذه الطريقة وانتشرت في العديد من اتجاهات البحث.

إن تقدم المحاكاة على جهاز الكمبيوتر طريقة نوعية لدراسة خصائص المادة التي سمحت بإعطاء الكمبيوتر ما يكفي من المعلومات، و المحاكي فرصة لتصميم نظام حقيقي واستكشاف سلوكه. بالإضافة

إلى ذلك، استفادت جميع أساليب *ab-initio* في السنوات الأخيرة من توفر أجهزة كمبيوتر أكثر قوة، وقد ساهم ذلك في النجاح الحالي لحسابات أنظمة المواد المثيره للاهتمام، و بدقة كافية. لذلك يمكن أن تكون هناك مقارنة مفصلة كبيرة مع القياسات التجريبية. إلا أن الاعتماد على الزيادة في الضغط الهيدروستاتيكي لا يزال يشكل تحدياً كبيراً أمام نظرية دالية الكثافة *DFT* [2].

التطوير المستمر للتقرير بأشكاله مثل التبادل والارتباط للإلكترونات ، و عامل تحسين تقنيات الحساب البنوي لعصابات الطاقة، و اختراع الكمونات الزائفة [3]. أدى ذلك إلى الحساب السريع للطاقة الإجمالية. العوامل الثلاثة السابقة تعطينا فرصة لتحديد الخواص الفيزيائية والكيميائية للمواد تحت ضغوط عالية [4].

لمعرفة مختلف الخصائص الفيزيائية للمواد الصلبة علينا دراسة نظام الإلكترونات في التفاعل مع بعضها البعض و تفاعಲها مع الأيونات. حساب خصائص الحالة الأساسية يكون صعب جداً لنظام مكون من  $N$  إلكترون في بلورة، لأن هذه المواد تحتوي على أنوية وإلكترونات تتفاعل كهربائياً فيما بينها ، ولهذا تكون معادلة شرودينغر مستعصية الحل حسابياً، لذلك وضعت عدة تقريرات من بينها طريقة دالية الكثافة *DFT*.

## 2.I معادلة شرودينغر للبلورة

معادلة شرودينغر هي نقطة الانطلاق لدراسة الخصائص الإلكترونية في فيزياء الكم للنظام الكوانتي للبلورات، والتي توصف الجسيمات المتفاعلة بالمعادلة التالية:

$$H \psi = E \psi \quad (1-I)$$

حيث  $\Psi$  هي دالة الموجة للبلورة ،  $E$  طاقة الحالة الأساسية للبلورة، و  $H$  الهايبلتونيان الذي يمثل جميع التفاعلات بين الجسيمات المكونة للبلورة [5] ، وفي غياب الحقل الخارجي يعطى الهايبلتونيان بالعلاقة :

$$H = \underbrace{\frac{-\hbar^2}{2m_i} \sum_i \nabla_i^2}_{T_e} - \underbrace{\frac{\hbar^2}{2M_\alpha} \sum_\alpha \nabla_\alpha^2}_{T_n} + \underbrace{\frac{1}{8\pi\varepsilon_0} \sum_{i,j} \frac{e^2}{|r_i - r_j|}}_{V_{ee}} - \underbrace{\frac{1}{4\pi\varepsilon_0} \sum_{i,\alpha} \frac{e^2 z_e}{|r_i - R_\alpha|}}_{V_{en}} + \underbrace{\frac{1}{8\pi\varepsilon_0} \sum_{\alpha,\beta} \frac{e^2 z_\alpha z_\beta}{|R_\alpha - R_\beta|}}_{V_{nn}} \quad (2-I)$$

 $T_e$  $T_n$  $V_{ee}$  $V_{en}$  $V_{nn}$

وتبسيط العلاقة (I-2) إلى:

$$H_{total} = T_e + T_n + V_{ee} + V_{en} + V_{nn} \quad (3-I)$$

حيث:

$T_e$  الطاقة الحركية للإلكترونات،  $T_n$  الطاقة الحركية للنواة،  $V_{ee}$  طاقة تفاعل إلكترون - إلكترون.

$V_{en}$  طاقة تفاعل نواة - إلكترون،  $V_{nn}$  طاقة تفاعل نواة - نواة.

$m_i$  كتلة الإلكترون  $i$  ،  $M_\alpha$  كتلة النواة  $\alpha$  ،  $z_\alpha$  شحنة الأنوية.

$$\left| R_\alpha - R_\beta \right| \text{ المسافة بين النواتين } \alpha \text{ و } \beta .$$

$$\left| r_i - R_\alpha \right| \text{ المسافة بين النواة } \alpha \text{ و الإلكترون } i .$$

$$\left| r_i - r_j \right| \text{ المسافة بين الإلكترون } i \text{ و الإلكترون } j .$$

$$\nabla_i^2 = \frac{\partial^2}{\partial x^2} + \frac{\partial^2}{\partial y^2} + \frac{\partial^2}{\partial z^2} \quad \nabla_i^2 \text{ مؤثر لابلاس ويعرف بالعلاقة:}$$

ت تكون المواد الصلبة من عدد كبير من الإلكترونات والأيونات المتفاعلة ، وبالتالي فإن حل معادلة شرودينغر يصبح غير واضح ومستحيل، لأنها تحتوي على  $N(Z+1)^3$  متغيرا، حيث  $N$  يمثل عدد الذرات مثلا: بأخذ 1 سم<sup>3</sup> من البلورة التي تحتوي على حوالي  $10^{22} \times 5$ ، و  $Z=14$  فإن عدد المتغيرات يصبح  $10^{24} \times 2$  تقريباً، ومن المستحيل إيجاد حل عام تحليليا أو رقمياً كان لهذه المعادلة، لذا يتطلب استخدام عدد من التقريريات على مستويات مختلفة لتبسيطها وحلها.

### 3.I تقرير بورن- أوبنهايمير

من أجل تقليل تعقيد حل معادلة شرودينغر، تم تقديم تقرير بورن-أوبنهايمير استناداً إلى حقيقة أن النوى أثقل بكثير من الإلكترونات. أي الاعتماد على فصل حركة الإلكترونات عن الأنوية ، بحيث أن كتلة الإلكترون أقل بكثير من كتلة النواة ( $M$  كتلة النواة) تساوي تقريراً من  $10^3$  إلى  $10^4$  كتلة الإلكترون ( $m$ ) في حين أن سرعة الإلكترونات أكبر بكثير من سرعة النواة [6].

في معادلة شرودينغر يتم إهمال الطاقة الحركية للنواة، بحيث تعتبر ساكنة أمام الإلكترونات  $T_n = 0$

و حد تفاعل الأنوية فيما بينها ثابت  $V_{nn}$  . أي يصبح الهاملتونيان الكلي للجملة مؤلف من هامiltonيان إلكتروني و هامiltonيان نووي على الشكل:

$$H = H_e + V_{nn} \quad (4-I)$$

حيث: الهاملتونيان الإلكتروني  $H_e$  يعرف بـ:

$$H_e = T_e + V_{ee} + V_{en} \quad (5-I)$$

إذن تصبح معادلة شرودينغر للإلكترونات معرفة كالتالي:

$$H_e \Psi_e(r, R) = [H_e = T_e + V_{ee} + V_{en}] \Psi_e(r, R) \quad (6-I)$$

يوصف هذا التقرير بأنه ثابت الحرارة (كاضم) *adiabatic* لأنّه يفصل المشكلة الإلكترونية عن مشكلة اهتزازات الشبكة. يمكننا دائمًا تقديم  $T_n$  و  $V_{nn}$  لمعالجة مشكلة اهتزازات الشبكة (الفونونات) على افتراض أنه لا يوجد تبادل للطاقة بين النظام الإلكتروني من ناحية، وأنماط الاهتزاز من ناحية أخرى. بواسطة هذا التقرير تم اختصار متغيرات النظام من  $N(Z+I)3$  جسم إلى  $ZN$  جسيماً، و في الغالب لا يمكننا حل المعادلة (6-I) تحليلياً ولا رقمياً، لذا أُوجدت وطورت طرق أخرى لحل معادلة شرودينغر كالتالي تعتمد على دالة الموجة المسمى طريقة هارتري- فوك، والأخرى باستخدام كثافة الإلكترون  $\rho$  لنظرية دالية الكثافة.

#### 4. تقرير هارتري - فوك

يقلل تقرير هارتري نظام الجسيم  $ZN$  إلى نظام جسيم واحد من خلال اعتبار الإلكترون مستقل [7] الذي يتحرك على انفراد في الحقل المتولد عن الجسيمات الأخرى، حيث يتتطابق الإلكترون مع المدار، ويعطي هامiltonيان النظام بـ:

$$H = \sum_{i=1} H_i \quad (7-I)$$

حيث:

$$H_i = \frac{\hbar^2}{2m} \Delta_i + V(r) \quad (8-I)$$

تستخدم هذه الطرق على نطاق واسع في كيمياء الكم لمعالجة الذرات والجزيئات. حيث يتطلب تحديد الخواص الإلكترونية لنظام الجسم  $N$ , الذي بدوره يوفر  $N!$  احتمال لوضع الكترون على  $N$  موضع موجة النظام الكلية والتي تكتب على الشكل:

$$\Psi(r_1, r_2, \dots, r_N) = \Psi_1(r_1)\Psi_2(r_2) \dots \Psi_N(r_N) \quad (9-I)$$

في عام 1930 أظهر فوك أن حلول هاملتونيان (I.7) تتعارض و مبدأ استبعاد باولي لإندام التمايز فيما يتعلق بتبادل أي إلكترون، و بالتالي فإن كل إلكترون لهما نفس الكم، لا يستطيعان احتلال الحالة الكمية نفسها في وقت واحد ، و كذلك عدم تمييز الإلكترونات.

لهذا قام هارتري و فوك بعميم هذا المفهوم من خلال إظهار أن مبدأ باولي المحترم، و تكتب دالة الموجة في شكل محدد سلتر *Slater* على الشكل:

$$\Psi(r_1, r_2, \dots, r_N) = \frac{1}{\sqrt{N!}} \begin{vmatrix} |\Psi_1(r_1) & \dots & \Psi_N(r_1)| \\ & \ddots & \\ & & |\Psi_1(r_N) & \dots & \Psi_N(r_N)| \end{vmatrix}$$

حيث:

$$\frac{1}{\sqrt{N!}}$$

هذه المعادلات يصعب حلها عندما يحتوي النظام المدروس على عدد كبير من الإلكترونات، خاصة حساب بنية عصابات الطاقة في كيمياء الكم ( تحديد الكمون داخل البلورة).

### 5.I نظريّة دالية الكثافة

تعد نظريّة دالية الكثافة *DFT* (*Density Functional Theory*) حالياً واحدة من أكثر الطرق المستخدمة على نطاق واسع في الحسابات الكميّة للبنية الإلكترونية للمادة (الذرات، الجزيئات والمواد الصلبة) في فيزياء المواد المكثفة وكذلك في كيمياء الكم ، وتعود أصولها إلى النموذج الذي طوره العالمان

توماس و فيرمي [8 ، 9] في أواخر العشرينات.

تم استخدام الكثافة الإلكترونية كمتغير أساسي لوصف خصائص البنية الإلكترونية لنظام المادة ، لكنه لم يبرهن إلا من خلال نظريتي هوهنبرغ و كوهن *Hohenberg and Kohn* ، والتي استعملت في كتابة كل المؤثرات - شكل الكمون ، دالة الموجة لتحديد الطاقة الكلية  $E$  ، وعنصر الكثافة الإلكترونية ( $r$ ) التي تكون دالة للإحداثيات ( $z, y, x$ )- تكتب الطاقة الكلية  $E$  لنظام الإلكترونات بالشكل:

$$E = \rho(r) \quad (10-I)$$

تعد الدراسة على المستوى الذري للخصائص البنوية ، المرنة ، الإلكترونية والمغناطيسية لبلورة دورية واحدة من الموضوعات التقليدية لفيزياء الحالة الصلبة [10].

في نظرية دالية الكثافة، يتم التعبير عن خصائص الحالة الأساسية (دالة الموجة) لنظامًا بلوبيًا دورياً يتكون من  $N$  نوى ذرية في تفاعل متبادل مع الإلكترونات دالة لكثافة الإلكترون، أي تقليل إحداثيات المتغيرات غير المعروفة، وإعادة صياغة مشكلة الكم  $N$  جسم إلى مشكلة أحادية الجسم أو ثنائية ، وتم اقتراح العديد من النماذج النظرية لتفسير القياسات التجريبية أو التنبؤ بأثار أو تشكيل مواد جديدة.

### 1.5.I نظرية توماس - فارمي

باعتبار الطاقة الكلية لغاز الإلكترونات الامتحانة دالة لكثافة الإلكترونات المعروفة لغاز متجانس تشكل هذه الفكرة أساساً نظرية توماس فيرمي [11 ، 12] ، و ذلك باعتبار أن الكثافة الإلكترونية في كل منطقة من مناطق بريلوان العنصرية (التقسيم الأصغرى) تعتبر ثابتة، وتعطى الطاقة الكلية لنظام  $E$  بـ:

$$E = \int \varepsilon_i [\rho(r)] dr \quad (11-I)$$

وتعطى الطاقة الحركية لغاز المتجانس وكثافته على الترتيب بـ:

$$T = \frac{3}{5} \rho E_f \quad (12-I)$$

$$\rho = \frac{1}{3\pi^2} \left( \frac{2m_e}{h^2} \right)^{\frac{2}{3}} \sqrt[3]{E_f} \quad (13-I)$$

أين:  $E_f$  طاقة فيرمي.

إذن الطاقة الحركيّة لتوomas- فيرمي  $T_{TF}$  هي:

$$T_{TF} = \int T dr \Rightarrow T_{TF} = \frac{3}{5} \frac{\hbar^2}{2m_e} (3\pi^2)^{2/3} \int \rho^{5/3} dr \quad (14-I)$$

نظريّة توماس- فارمي هي تقرّيب موضعي لكثافة الإلكترونات حيث لا يأخذ بعين الاعتبار ارتباط

الإلكترونات. إذن الطاقة الكلية تأخذ الشكل التالي:

$$E_{TF} = \frac{3}{5} \frac{\hbar^2}{2m_e} (3\pi^2)^{2/3} \int \rho^{5/3} dr + \int V(r)\rho(r)dr + \frac{1}{2} \int \frac{\rho(r)\rho(r')}{|r-r'|} dr dr' \quad (15.I)$$

كما أجريت بعض التحسينات لهذه النظريّة من طرف ديراك Durac ( فعل التبادل)، و فيقنز

(فعل الارتباط) على الترتيب:

$$E_{TFD} = E_{TF} - C_x \int \rho^{3/4} dr \quad (16-I)$$

$$E_C(\rho) = -\frac{0.056\rho^{4/3}}{0.079+\rho^{1/3}} \quad (17-I)$$

## 2.5.I نظريّي هوهنجارغ - كوهن

تتمثل الطريقة التي طورها هوهنجارغ وكوهن في إعادة صياغة نظريّة دالية الكثافة التي اقترحها توماس

وفيرمي من خلال نظرية دقّيّة لنظام متعدد الأجسام. الصياغة قابلة للتطبيق على النظام  $3N$  جسيم تقاعي

من الإلكترونات في وجود كمونات خارجية ناتجة عن الأنوية  $V_{ext}$ ، و تعتمد أساساً على نظريتين

أساسيتين و المنشورة في مقالتيهما لعام 1964 [13].

أولاً: الطاقة الكلية  $E$  لنظام متعدد الإلكترونات في الحالة الأساسية تحدّد بواسطة الكثافة الإلكترونية للحالة

الأساسية  $(r) \rho$ ، و التي تعتمد على الإحداثيات الفضائية الثلاثة  $3N$  أين تُخفيض إلى 3 باستعمال دالية

الكثافة الإلكترونية، وبمعنى آخر الطاقة الكلية لنظام في حالته الأساسية و في وجود كمونات خارجية

(كمون الأنوية) هو دالية وحيدة لكثافة الإلكترونات  $(r) \rho$  و تكتب على الشكل:

$$E = E (\rho) \quad (18-I)$$

و يتم تمثيل الطاقة الكلية  $E$  لنظام على النحو التالي:

$$E = \langle \psi | H | \psi \rangle = \langle \psi | U + T | \psi \rangle \quad (19-I)$$

حيث:  $T$  و  $U$  هما على التوالي الطاقة الحركية والتفاعل بين الجسيمات التي لا تعتمد على الكمونات الخارجية، وباستخدام تقرير هارتري Hartree نجد:

$$F(\rho) = \iint \frac{\rho(r)\rho(r')}{|r-r'|} drdr' + G(\rho) \quad (20-I)$$

أين:  $G(\rho)$  يمثل الطاقة الحركية بالإضافة إلى الفرق بين طاقة التفاعل الحقيقية وطاقة تفاعل هارتري. دوال الكثافة الإلكترونية  $F(\rho)$  و  $G(\rho)$  صالحة مهما كان شكل الكمونات الخارجية وعدد الإلكترونات.

ثانياً: أظهر هوهنج وكونن أن الكثافة الحقيقية للحالة الأساسية هي التي تعطي الحد الأدنى للطاقة الكلية  $E$  للجملة، وجميع الخصائص الأخرى تعمل وفق دالية هذه الكثافة [14] التي تعطي بـ:

$$E(\rho_0) = \text{Min } E(\rho) \quad (21-I)$$

حيث:  $\rho_0$  كثافة الحالة الأساسية.

و يتم تحديد الطاقة الأساسية للنظام الإلكتروني في أي كمون خارجي من خلال طريقة التبادل.

### 3.5.I معادلات كونن - شام

جعلت معادلة كونن وشام المنشورة في عام 1965 [15] من نظرية دالية الكثافة أداة عملية للحصول على طاقة الحالة الأساسية للنظام الإلكتروني، وتعتمد صيغتها على الفكرة التالية:

يمكن وصف الغاز الإلكتروني عن طريق جسيمات وهمية غير متفاعلة، ممثلاً بدالة موجة أحديمة الجسيم بحيث يكون لغاز الجسيم الوهمي في الحالة الأساسية نفس الكثافة الإلكترونية، وبالتالي نفس الطاقة  $E$  من الغاز الإلكتروني الحقيقي أي:

$$E\rho(r) = T_0\rho(r) + V_H\rho(r) + V_{xc}\rho(r) + V_{ext}\rho(r) \quad (22-I)$$

حيث:

$T_0\rho(r)$  هي الطاقة الحركية للجزيئات الوهمية (غاز الإلكترون) دون تفاعل.

$V_H\rho(r)$  كمونات هارتري المحتملة أو تفاعل كولومب النموذجي بين جزيئات غاز الإلكترون من

خلال كثافة شحنتها وتعطى بـ:

$$V_H = e^2 \int \frac{\rho(r)}{|r-r'|} d^3 r' \quad (23-I)$$

$V_{ext}\rho(r)$  طاقة التفاعل الكولومبي للإلكترونات مع النوى.

$V_{xc}\rho(r)$  كمونات التبادل والارتباط ، ونحصل عليها من مشتق طاقة التبادل والارتباط  $E_{xc}$  بالنسبة

للكثافة أي :

$$V_{xc}(r) = \frac{\delta E_{xc}(\rho)}{\delta \rho(r)} \quad (24-I)$$

يلعب كمون هارتري  $V_H$  و الطاقة الحركية  $T_0$  دوراً هاماً في وصف حالات الإلكترونات الحرة (التفاعل الإلكتروني)، وهذا بأخذ الفرق بين الطاقة الحركية الحقيقة وتلك الخاصة بالإلكترونات الحرة  $T_0$  غير المتفاعلة التي تمثل كمون الارتباط:  $V_c = T - T_0$  ، و من جهة أخرى الفرق بين طاقة التفاعل الحقيقية وطاقة هارتري التي تمثل كمون التبادل  $V_H = V - V_c$  و هذا في طاقة التبادل والارتباط ( $E_{xc}\rho(r)$ )

حيث:

يعطى كمون التبادل و الارتباط بالعلاقة:  $V_{xc} = V_x + V_c$

معادلة كوهن وشام تكتب كالتالي:

$$H_{KS}\emptyset_i(r) = \varepsilon_i\emptyset_i(r) \quad (25-I)$$

حيث:

$$H_{KS} = T_0 + \underbrace{V_H + V_{xc} + V_{ext}}_{V_{eff}} \quad (26-I)$$

و:  $(r) V_{eff}$  الكمونات الفعالة التي تخضع لها الجسيمات الوهمية.

إذن معادلة شرودينغر الإلكترونية هي حل أحادي جزئي حسب مقاربة كوهن وشام وتنكتب على الشكل :

$$-\frac{\hbar^2}{2m} \nabla^2 \Psi_i(r) + V_{eff}(r) \Psi_i(r) = E_i \Psi_i(r) \quad (27-I)$$

( $\Psi_i(r)$ ) : تعطى حالة الجسيم الواحد لكتافة الإلكترون . مع العلم أن ( $r$ )  $\rho$  هي مجموع المدارات

المعطاة بالشكل:

$$\rho(r) = \sum_{i=1}^n |\Psi_i(r)|^2 \quad (28-I)$$

يتم التعبير عن الدوال  $E_{xc}$  غالباً من حيث كثافة الطاقة  $\varepsilon_{xc}$  التي تعتمد على كثافة الإلكترونات بـ:

$$E_{xc}\rho(r) = \int \rho(r)\varepsilon_{xc}\rho(r)dr = E_x\rho(r) + E_c\rho(r) \quad (29-I)$$

لتصبح الطاقة الكلية  $E$  على الشكل:

$$E(\rho) = T(\rho) + V_H + V_{xc} + V_{ext}(\rho) \quad (30-I)$$

ونحصل أخيراً على معادلة كوهن-شام مماثلة لمعادلة شرودينغر بحيث نعوض الكمون الخارجي

بالكون الفعال:

$$(T + V_{eff}(r) + V_H(r) + V_{xc}(r))\phi_i(r) = \varepsilon_i\phi_i(r) \quad (31-I)$$

إن حلول معادلة كوهن وشام تعتمد على نقطتين:

1. الاختيار على أساس دالة الموجة التي يمكن اعتبارها مزيجاً خطياً من المدارات تسمى مدارات

كوهن وشام ( $KS$ ) المكتوبة بالشكل:

$$\Psi_i(r) = \sum C_{i\alpha} \phi_\alpha(r) \quad (32-I)$$

حيث: ( $\Psi_i(r)$ ) هي الدوال الأساسية ،  $C_{i\alpha}$  هي معاملات النشر لدالة الموجة  $\phi_\alpha$  مدارات كون وشام.

معادلات هذا الأخير تعد بمثابة حلاً لتحديد معاملات  $C_{i\alpha}$  للمدارات المشغولة التي تقلل من إجمالي الطاقة

(قيمة دنيا). بتطبيق مبدأ التغيير لـ رايلىت وريتز *Rayleigh-Ritz* وهذا في نقاط التمايز العالي لمنطقة

بريلوان الأولى الذي يُبسط الحسابات. مع التبيّه أن دوال الموجة، وطاقة الإلكترونات تكون جزئية لا كافية

و الحالـة الأساسية للنظام تمثلـها الكثافة والطاقة الكليـتين للإلكتروـن فقط.

2. استخدام الدورات التكرارية الممثلة بالشكل (I-1) التي تسمى مجال المتسق الذاتي *SCF*

و هذا انطلاقاً من كثافة الشحنة الأولية  $\rho_{in}$ ، و تعطى الحلول بـ:

$$(H - \varepsilon_i S) C_i = 0 \quad (33-I)$$

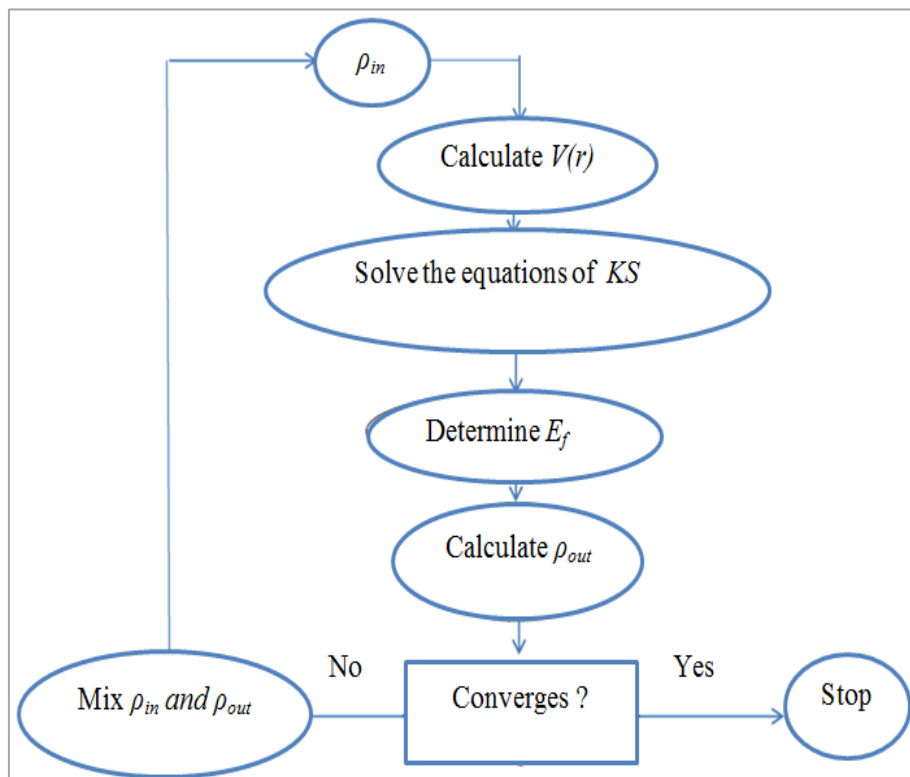
حيث  $H$  يمثل مصفوفة الهاميلتونيان و  $S$  مصفوفة التراكب.

يتم بناء كثافة الشحنة الجديدة  $\rho_{out}$ ، مع الاتجاهات الذاتية لهذه المعادلة، وذلك بإجراء عملية الجمع على جميع المدارات المشغولة من المعادلة (I-27) والتي تمثل كثافة الشحنة الكلية. ومن أجل تحقيق تطابق الحسابات نستعمل خلط الكثافتين  $\rho_{in}$  و  $\rho_{out}$  باستخدام العلاقة:

$$\rho_{in}^{i+1} = (1 - \alpha)\rho_{in}^i + \alpha\rho_{out}^i \quad (34-I)$$

أين:

$i$  يمثل التكرارات، و  $\alpha$  هي إعدادات الخلط التي يجب أن تكون صغيرة بما يكفي للوصول إلى التقارب حيث ( $0 < \alpha \leq 1$ )، و يحدث ذلك لما ( $\rho_{out} = \rho_{in}$ )، و يصبح التقارب أسرع عندما يزيد حجم الخلية الأولية خاصة بالنسبة للأنظمة المعدنية و / أو المغناطيسية، وبالتالي فإن الكثافة التي يتم الحصول عليها عند التقارب تتوافق مع طاقة الحالة الأساسية للنظام.



الشكل (I.1): مخطط تمثيلي لنظريّة دالية الكثافة حسب كوهن وشام

### 4.5.I طاقة التبادل والارتباط

يمثل الإلكترون متفاعلاً في نظام معين بثقب كروي من التبادل والارتباط، حيث يتميز الثقب باستبعاد وجود إلكترونات لها نفس الدوران (سبين) في نفس المنطقة والموضع [16].

يمكن تقسيم ثقب التبادل والارتباط إلى ثقب فيرمي *Fermi* للتبادل، وثقب كولومب *Coulomb* من أجل الارتباط. حلوى معادلة كوهن وشام تعطي بشكل تحليلي طاقة التبادل والارتباط  $E_{xc}$  الممثلة في المعادلة:

$$E_{xc}(\rho) = F_{HK}(\rho) - T_0(\rho) - V_H(\rho) \quad (35-I)$$

مع العلم أن التقريرات الأكثر استخداماً هما: كثافة الموضع *LDA* والتدرج المعمم *GGA*. عموماً لا توجد علاقة رياضية محددة لدالة التبادل والارتباط، والموضع لا يزال قيد الدراسة.

### 5.5.I تقرير كثافة الموضع

أبسط تقرير لطاقة التبادل والارتباط  $E_{xc}$  هو تقرير كثافة الموضع (*Local Density Approximation LDA*) [17]، والتي تعتمد على فكرة استبدال الكثافة الإلكترونية لنظام حقيقى بكثافة غاز الإلكترون المتجانس. بمعنى آخر أنه في منطقة صغيرة، يتم توزيع شحنة غاز غير متجانس على كثافة مماثلة لشحنة غاز متجانس. أي اعتبار النظام غير المتجانس أنه متجانساً [18]. يتم التعبير عن طاقة التبادل والارتباط في هذا التقرير بـ:

$$E_{xc}^{LDA} \rho(r) = \sum \rho(r) \epsilon_{xc} \rho(r) d^3 r \quad (36-I)$$

أين:

$\epsilon_{xc} \rho(r)$  طاقة التبادل والارتباط لجسيمات غاز الإلكترون المنتظم (المتجانس)، و يتم تحديدها بواسطة إعدادات أولية وتقسم إلى قسمين: طاقة التبادل وطاقة الارتباط حيث:

$$\epsilon_{xc} \rho(r) = \epsilon_x \rho(r) + \epsilon_c \rho(r) \quad (37.I)$$

أي عند نقطة واحدة  $r$  و  $\rho$  ثابت، فإن طاقة التبادل والارتباط لكل إلكترون من ذرة غاز متجانس المعبر عنه بـ  $E_{xc}(r)$  تساوي طاقة التبادل والارتباط لإلكترون غاز غير متجانس.

و في الأنظمة المغناطيسية يجب تمديد  $LDA$  إلى تقرير كثافة الموضع للدوران (سبين)  $LSDA$ ، وتعطى علاقه طاقة التبادل والارتباط بـ (*Local Spin Density Approximation*)

$$E_{xc}^{LSDA}[S \uparrow, S \downarrow] = \int E_{xc}^{hom}(S \uparrow, S \downarrow) \rho(r) d^3r \quad (38-I)$$

مع:  $S \uparrow$  سبين أعلى ،  $S \downarrow$  سبين أسفل . *Spin up* ، *Spin Down*

ولحساب كثافة الإلكترونات يتم الجمع على كل المدارات المشغولة أي:

$$\rho(r) = \sum \Psi_i^*(r) \Psi_i(r) \quad (39-I)$$

ظهرت فعالية هذا التقرير في بداية السبعينيات مع أعمال [19، 20، 21، 22، 23، 24].

كما نذكر أن هذا التقرير لا يستعمل إلا في حالة غاز إلكتروني منتظم، و نعلم أنه في الأنظمة الحقيقية الكثافة الإلكترونية لا تكون منتظمة محلياً (في منطقة معينة) لهذا السبب يستعمل في الغالب تقرير التدرج المعمم *GGA*.

### 6.5.I تقرير التدرج المعمم

تقرير التدرج المعمم (*GGA*) [25] هو تحسين لتقرير كثافة الموضع في معالجة طاقة التبادل والارتباط، والتي يمكن جعلها تعتمد ليس فقط على الكثافة الإلكترونية، و لكن أيضاً على تدرجها ( $\nabla \rho(r)$ ، و بالتالي فإن الدالة  $E_{xc}\rho(r)$  حسب الطبيعة غير المنتظمة لغاز الإلكترون [13] في هذه الحالة، يمكن جمع مساهمتها من الطاقة الكلية للنظام بشكل تراكمي من كل جزء لغاز غير منتظم كما لو كان محلياً، و تكتب على الشكل:

$$E_{xc}^{GGA}(\rho) = \int f \rho(r), \nabla \rho(r) d^3r \quad (40-I)$$

أين:

$\nabla \rho(r)$  يعبر عن التدرج في الكثافة الإلكترونية.

$E_{xc}\rho(r)$  يمثل طاقة التبادل والارتباط الإلكتروني في نظام تفاعلي غير منتظم.

$f$ : دالة الكثافة المحلية و يُعرف معامل تدرجها في شكل تحليلي لتسهيل العمليات الحسابية.

بالعودة إلى النتيجة المحصل عليها في تقريب كثافة الموضع للدوران  $LSDA$  [38.I] يعاد ترجمتها كسلسلة لمنشور تايلور في تقريب التدرج المعمم. لتصبح طاقة التبادل والارتباط في هذا التقريب على الشكل التالي:

$$E_{xc}^{GGA}(\rho(r) \uparrow, \rho(r) \downarrow) = \int f(\rho \uparrow, \rho \downarrow, \nabla \rho \uparrow, \nabla \rho \downarrow) d^3r \quad (41-I)$$

هناك العديد من إصدارات  $GGA$  و على سبيل المثال:

*Perdew and al* [27]  $GGA-WC$  ، *Perdew and al* [26]  $GGA-SOL$  ، *Perdew and al* [25]  $GGA-PBE$  [28، 29]. هذه الطريقة تؤدي بالتأكيد إلى زيادة منهجهية في إعدادات الشبكة لبعض المواد التي تحتوي على عناصر ثقيلة، و لكن بالمقارنة مع  $LDA$  تعمل  $GGA$  على تحسين الدقة على إجمالي الطاقات وخصائص الحالة الأساسية، وهذا هو سبب الاستخدام المكثف له  $DFT$  من قبل الفيزيائيين والكيميائيين.

### 7.5.I تقريب التدرج المعمم لأونقل - فوسكو

من المعروف أن  $LDA$  و  $GGA$  يقللان من فجوات الطاقة، ويرجع ذلك أساساً إلى أن لديهم أشكالاً بسيطة غير مرنة بما يكفي للحصول على الشكل الدقيق لكمون التبادل و الارتباط.

أعطى النهج المسمى أونقل وفوسكو *Engel and Vosko* [30] شكلاً جديداً من مزايا الدالية  $GGA$  التي تم تصميماها لتوفير احتمال أفضل للتباين والارتباط، الذي يوفر فجوة أفضل وبعض الخصائص الأخرى التي تعتمد بشكل أساسي على الدقة، ومن عيوب هذا التقريب، أن نتائجه لا تتوافق والتجربة في الكيميات التي تعتمد على الوصف الدقيق للطاقة التبادلية  $E_{xc}$ ، مثل حجم التوازن ومعامل الانضغاطية  $B$ .

### 8.5.I تقريب التدرج المعمم لهيبارد

عموماً هذا التقريب وجد من أجل الأنظمة ذات التفاعل الكولومبي القوي بين المدرات  $d$  أو  $f$  و ذلك باستخدام طريقة  $DFT+U$  التي تجمع بين طريقة  $DFT$  أو  $GGA$  و هامiltonian هيبارد و معنى آخر معالجة الأنظمة التي تحتوي على المعادن الانتقالية أو العناصر الأرضية النادرة [31]. وهناك نسخة بسيطة اقترحها ديداروف وآخرون *Dudarev and al* [32، 33] تعتمد على الهاميلتونيان و المعطى بالعلاقة:

$$\hat{H}_{Hubbard} = \frac{U}{2} \sum_{m,m',\sigma} \hat{n}_{m,\sigma} \hat{n}_{m',-\sigma} + \frac{(U-J)}{2} \sum_{m \neq m',\sigma} \hat{n}_{m,\sigma} \hat{n}_{m',\sigma} \quad (42-I)$$

حيث:

$U$  و  $J$  هما مميّزا التفاعل الكولومبي.  $U$  هي إعداد  $Hubbard$  ذات المتوسط الكروي، والتي تصف تكالفة الطاقة لوضع إلكترون إضافي في موضع معين، و يمثل  $J$  طاقة التبادل.

$n$  : المشغل الذي يعطي عدد الإلكترونات بالمدارات المشغولة للسوي الطاقي  $d$  أو  $f$ .

$m$  و  $m'$  تأخذ القيم -2 ، 1 ، 0 ، 1 ، 2 و تشير لمختلف المدارات.

$\sigma = +1$  ،  $\sigma = -1$  تشير إلى حالات السبيبن.

وتأخذ الطاقة العلاقة التالية:

$$E_{DFT+U} = E_{DFT} + \frac{(U-J)}{2} \sum_{m,\sigma} (\hat{n}_{m,\sigma} - \hat{n}_{m,\sigma}^2) \quad (43-I)$$

## المراجع

- [1] R. Car and M. Parrinello, Phys. Lett. 55 (1985) 2471-2474.
- [2] P. C. Hohenberg and W. Kohn, Phys. Rev. 136 (1964) 864.
- [3] M. C. Payne, M. P. Teter, D. C. Allan, T. A. Ariar and J. D. Joannopoulos, Rev. Mod. Phys. 64 (1992) 1045.
- [4] A. Jayaraman, Rev. Mod. Phys. 55 (1983) 65.
- [5] G. C. Fletcher, Monash University, Clayton. Australia. (1971) 260.
- [6] M. Born and J. R. Oppenheimer, Ann. Phys. Rev. Vol 84 (1927) 457.
- [7] D. R. Hartree, Proc. Cambridge philos. Vol 24 (1928) 89-110.
- [8] L. H. Thomas, Proc. Cambridge Philos. Vol 23 (1927) 542-548.
- [9] E. Fermi, Zeitschrift für Physik. Vol 48 (1928) 73-79.
- [10] F. Bassani and G. Pastori Parravicini, R. A. Ballinger, Oxford by Pergamon press. Vol 8 (1975).
- [11] W. Kohn, phys. Rev. A 34 (1986) 737.
- [12] W. E. Pickett, Computer Physics Reports. Vol 9 (1989) 115-198.
- [13] P. C. Hohenberg and W. Kohn, Phys. Rev. B (1964) 136-864.
- [14] E. Aktürk et S. Ciraci, Phys. Rev B 79 (2009) 184523.
- [15] W. Kohn, L. J. Sham. Phys. Rev. 140 (1965) A1133.
- [16] M. L. Doblet "Les méthodes corrélées de la chimie quantique Hartree-Fock et DFT " Galerne. (1989).
- [17] D. M. Ceperley and B. J. Adler, Phys. Rev. Lett. 45 (1980) 566.
- [18] J. P. Perdew, W. Wang, Phys. Rev. B 45 (1992) 13244.

- [19] A. Zunger and A. J. Freeman, Phys. Rev. B 15 (1977) 5049.
- [20] V. L. Moruzzi, J. F. Janak and A. R. Williams, pergammon. New York (1978) 148.
- [21] S. Lundqvist, and N. H. March, Plenum Press (1983) 395.
- [22] J. Callaway and N. H. March, Solid State Physics. Vol 38 (1984) 135-221
- [23] R. M. Dreizler and J. Provincia, Plenum Press. (1985) 332.
- [24] R. G. Parr and W. Yang, New York, Oxford (1989) 333.
- [25] J. P. Perdew, K. Burke and M. Ernzerhof, Phys. Rev. Lett. 77 (1996) 3865.
- [26] J . P. Perdew, A .Ruzsinszky, G. I .Csonka, O.A .Vydrov, G. E. Scuseria, L. A. Constantin, X. Zhou and K. Burke, Phys. Rev. Lett.100 (2008) 136406.
- [27] Z. Wu, R. E Cohen, Phys. Rev. B 73 (2006) 235116.
- [28] E .Bousquet, N. A. Spaldin, and Ph. Ghosez, Phys. Rev. Lett. 104 (2010) 037601.
- [29] J. B. Neaton and K. M. Rabe, Appl. Phys. Lett. 82 (2003) 1586.
- [30] E. Engel, S. H. Vosko, Phys. Rev. B 47 (1993) 13164.
- [31] C. Loschen, J. Carrasco, K. M. Neyman, F. Illas, Phys. Rev. B 75 (2007) 035115.
- [32] S. L. Dudarev, A. I. Liechtenstein, M. R. Castell, G. A. D. Briggs and A. P. Sutton, Phys. Rev. B 56 (1997) 4900.

[33] S. L. Dudarev, G. A. Botton, S. Y. Savrasov, C. J. Humphreys, A. P.

Sutton, Phys. Rev. B 57 (1998) 1505.

## **الفصل الثاني**

### **طرق الحساب**

"طريقة الأمواج المستوية المتزايدة خطيا و  
الكمون الكامل  $FP-LAPW$  و طريقة الأمواج  
المستوية والكمون الزائف "  $PP-PW$  "

**1.II مقدمة**

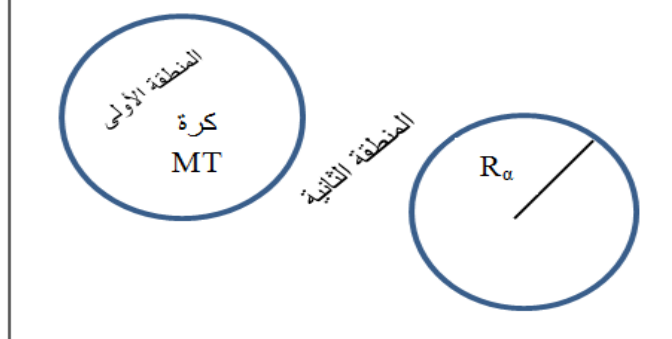
هناك عدة طرق تقريبية لحساب خصائص الحالة الأساسية ابتداء من تحديد بنية العصابات، وهذه الأخيرة تختلف من حيث القاعدة وشكل الاحتمال والطرق الرياضية المستخدمة في حل معادلة الإلكترون نحن نستخدم أساساً برنامجين لدراسة الخصائص البنوية والإلكترونية لمركبات البيرفسكيات<sub>3</sub>  $XZrS_3$  نحن نستخدم أساساً برنامجين لدراسة الخصائص البنوية والإلكترونية لمركبات البيرفسكيات<sub>3</sub>  $XZrS_3$  (X=Ba, Sr, Ca) يعتمد على نهج الكمون الزائف  $PP$ ، والثاني  $WIEN2k$  يعتمد على نهج الأمواج المستوية المتزايدة خطياً و الكمون الكامل  $FP-LAPW$ .

**2.II طريقة الأمواج المستوية المتزايدة خطياً و الكمون الكامل****1.2.II مقدمة**

في إطار نظرية دالية الكثافة  $DFT$ . تعتبر طريقة الأمواج المستوية المتزايدة الأكثر دقة لحساب التركيب الإلكتروني للمواد الصلبة، والتي هي في الأساس تحسين لطريقة الأمواج المستوية المتزايدة خطياً التي طورها أندرسون [1] Andersen.

**2.2.II طريقة الموجة المستوية المتزايدة**

تم تطوير طريقة الموجة المستوية المتزايدة  $APW$  (*Augmented Plane Wave*) بواسطة سلاتر [2]. الذي اعتبر أنه في محيط النواة الذرية، تكون كمונات ودوال الموجة على شكل "Muffin-Tin"  $MT$  الذي يوجد به تناسق كروي داخل المجال  $MT$  من دائرة نصف قطرها  $R_\alpha$  الذي يقسم الفضاء المحاط بالذرات إلى منطقتين الشكل(1.II) :



**الشكل (1.II): تمثيل الكمون "MT "Muffin-Tin"**

**المنطقة الأولى** : داخل الكرة  $MT$  حيث تحاط كل ذرة بكرة (ذرة  $\alpha$  تحيط بها كرة نصف قطرها  $(R_\alpha)$  وتشمل كل من الأنوية والإلكترونات الشديدة الارتباط بها.

**المنطقة الثانية** : المنطقة البينية التي تحيط بالكرات، أو الفضاء غير المشغول بالكرات، وتشمل الإلكترونات ضعيفة الارتباط بالأنوية.

في هذه الحالة تكتب دالة الموجة  $\emptyset(r)$  بالشكل:

$$\emptyset(r) = \begin{cases} \frac{1}{\sqrt{\Omega}} \sum_G C_G e^{i(G+K)} & r > R_\alpha \\ \sum_{lm} A_{lm} U_l(r) Y_{lm}(r) & r < R_\alpha \end{cases} \quad (1-II)$$

أين:

$R_\alpha$ : نصف قطر الكرة  $MT$

$\Omega$ : حجم الخلية.

$C_G$  و  $A_{lm}$  : هي معاملات التطور في التوافقيات الكروية.  
 $Y_{lm}$  الدالة  $U_l$  هي حل منتظم لمعادلة شرودينغر للجزء الشعاعي المكتوب على الشكل:

$$\left\{ -\frac{d^2}{dr^2} + \frac{l(l+1)}{r^2} + V(r) - E_l \right\} r U_l(r) = 0 \quad (2-II)$$

حيث:

$V(r)$  يمثل الجزء الخاص بالكمون الكروي، و  $E_l$  تمثل الطاقة الخطية، في حين أن الدالة الشعاعية المعرفة في العلاقة (2.II) تكون معتمدة لكل الحالات الذاتية القلبية. تنتهي شروط التعامد عند حدود كرة  $MT$ . من أجل الدوال الشعاعية  $U_1$  و  $U_2$  الموافقة لقيم الذاتية  $E_1$  و  $E_2$  تصبح معادلة شرودينغر كالتالي:

$$(E_1 - E_2) r U_1 U_2 = U_2 \frac{d^2 r U_1}{d^2 r} - U_1 \frac{d^2 r U_2}{d^2 r} \quad (3-II)$$

ولضمان إستمرارية الدالة  $\emptyset(r)$  على سطح الكرة  $MT$  تنشر المعاملات  $A_{lm}$  بدالة المعاملات  $C_G$  الخاصة بالأمواج المستوية في المنطقة البينية (م. الثانية). المعاملات الطاقوية  $E_l$  تسمى معاملات التغاير

في طريقة الموجة المستوية المتزايدة  $APW$  وبعد الحسابات الجبرية نحصل على:

$$A_{lm} = \frac{4\pi i^l}{\sqrt{\Omega} U_l(R_l)} \sum_G C_G J_l(|K + g| R_\alpha) Y_{lm}^*(K + G) \quad (4-II)$$

الدواال الذاتية المعرفة بـ  $G$  تصبح متوافقة مع الدوال الشعاعية في كرة  $MT$  وبالتالي نحصل على دالة أساسية  $APW$  ، والتي تعتبر حل لمعادلة شرودينغر داخل الكرة  $MT$  الموافقة للطاقة  $E_l$ ، والحصول على عصابة الطاقة الموافقة للمعامل  $G$ . طريقة الموجة المستوية المتزايدة تعترضها بعض الصعوبات المتعلقة بالدالة  $(U_l(R_\alpha))$  والتي تظهر في المعادلة (3-II)، وفقاً لقيمة المعامل  $E_l$ ، يمكن أن تصبح قيمة الدالة  $(U_\alpha(R_\alpha))$  صفرأً على سطح الكرة  $MT$  ، مما يؤدي إلى فصل الدوال الشعاعية عن دوال الموجة المستوية في المنطقة البينية. حل هذا المشكل أدخل كوللينغ *Koelling* [3] وأندرسون [1] مجموعة من التغييرات على طريقة الأمواج المستوية المتزايدة التي ترتكز أساساً على تمثيل الدالة الشعاعية  $(r)\emptyset$  خارج الكرة  $MT$  بترتيبات خطية  $(U_l(r)$ ، ونظرًا لامتلاكها مشتقات بالنسبة للطاقة  $(U_l(r)$  سميت بطريقة الأمواج المستوية المتزايدة خطيا(*Linearized Augmented Plane Wave*)

### 3.2.II مبدأ طريقة الأمواج المستوية المتزايدة خطيا و الكمون الكامل

في طريقة الأمواج المستوية المتزايدة خطيا، الدوال الأساسية في مجالات  $MT$  هي مجموعات خطية من الدوال الشعاعية  $(U_{lm}(r)$  ،  $(Y_{lm}(r)$  و مشتقاتها. يتم تعريف الدالة  $U_{lm}$  كما هو الحال في طريقة  $APW$  ويجب أن تتحقق الدالتين  $(U_{lm}(r)$  و  $(Y_{lm}(r)$  الشرط التالي:

$$\left\{ -\frac{d^2}{dr^2} + \frac{l(l+1)}{r^2} + V(r) - E_l \right\} r U_l(r) = r U_l(r) \quad (5-II)$$

في الحالة غير النسبية، وعلى سطح الكرة تضمن هاتان الوظيفتان الشعاعيتان  $U_1$  و  $U_2$  الاستمرارية للموجات المستوية خارج الكرة  $MT$ ، ثم تصبح دالة الموجة المستوية المتزايدة  $LAPW$  دالة أساسية لطريقة الأمواج المستوية المتزايدة خطيا و الكمون الكامل  $.FP-LAPW$

$$\emptyset(r) = \begin{cases} \frac{1}{\sqrt{\Omega}} \sum_G C_G e^{i(G+K)r} & r > R_\alpha \\ \sum_{lm} \{ A_{lm} U_l(r) + B_{lm} U_l(r) \} Y_{lm}(r) & r < R_\alpha \end{cases} \quad (6-II)$$

حيث المعاملات  $B_{lm}$  تتوافق مع الدالة  $U_l$  ولها نفس طبيعة معاملات  $A_{lm}$ . الدوال  $LAPW$  هي موجات مستوية فقط في المناطق الحرة (خارج  $MT$ ) كما هو الحال في طريقة الأمواج المستوية المتزايدة. أما داخل الكرة فالدواال  $LAPW$  هي الأقرب من الدوال  $APW$ . باختلاف  $U_l$  قليلاً عن عصابة الطاقة  $E$ . التراكب الخطي يعيي إنتاج الدوال الشعاعية بشكل أفضل من الدوال  $APW$ . لذلك يمكن نشر الدوال  $U_1$  وفقاً لمشتقها  $U_l$  والطاقة  $E_l$  حسب العلاقة:

$$U_l(E, r) = U_l(E_l, r) + (E - E_l)U_l(E, r) + 0((E - E_l)^2) \quad (7-II)$$

أين:  $0((E - E_l)^2)$  يمثل الخطأ الرباعي الطاقوي.

تضمن طريقة  $FP-LAPW$  استمرارية دالة الموجة على سطح الكرة  $MT$ , لكنها تفقد دقة الحسابات مقارنة مع طريقة الموجة المستوية المتزايدة  $APW$ , بينما تسبب هذه الطريقة خطأ في دوال الموجة بترتيب  $(E_l - E)^2$  و آخر في عصب الطاقة بترتيب  $(E - E_l)^4$ . على الرغم من ذلك فإن الدوال  $LAPW$  تشكل أساساً جيداً يسمح بالحصول على جميع عصب التكافؤ في منطقة عالية الطاقة، وفي حالة التعذر يمكن تقسيم هذه الأخيرة (الطاقة) إلى جزأين، وهو تبسيط كبير مقارنة بطريقة  $APW$ .

بشكل عام لا تنشأ مشكلة الاستمرارية على سطح كرة  $MT$  في طريقة  $LAPW$  إذا كانت  $U_1$  صفرأً على سطح الكرة، و مشتقها  $U_l$  تختلف عن الصفر. لذلك اقترح تاكيدة وكيلر [4] تعديلاً لطريقة  $LAPW$  التي تستخدم فيها الدوال الشعاعية  $N$  ومشتقاتها  $(N-1)$ ، وكل دالة شعاعية لها الإعدادات الخاصة بها  $E_{li}$  لتجنب الخطأ المتعلق بالخطية، حيث نجد أن طريقة  $FP-LAPW$  قياسية من أجل  $2 = N$  و  $E_{l2} > E_{l1}$  متقاربين، ويمكن تقليل الخطأ لما  $< N < 2$ ، والذي يتطلب استخدام المشتقات عالية المستوى لتحقيق التقارب، أين تستغرق وقت حساب أكبر بكثير من الطريقة القياسية، لذا قام سينغ [5] بتعديل هذا النهج من خلال إضافة مدارات محلية في القاعدة، دون زيادة طاقة القطع (الدواال الأساسية لطريقة  $FP-LAPW$  هي موجات مستوية في المنطقة البينية و الدوال الشعاعية الرقمية داخل الكرات  $MT$  ، بشرط استمرار الدوال الأساسية ومشتقاتها على سطح الكرة  $MT$ ).

وبالتالي فإن بناء الدوال الأساسية لطريقة الأمواج المستوية المتزايدة خطياً و الكمون الكامل

يحدد:  $FP-LAPW$  (*Full Potential- Linearized Augmented Plane Wave*)

- الدوال الشعاعية ( $r$ )  $E_l$  ومشتقاتها بالنسبة للطاقة ( $r$ )

- الشروط الحدودية و معاملات  $A_{lm}$  و  $B_{lm}$

إن توفير الشروط الحدودية تسمح بتحديد قطع العزم الزاوي  $max$  والممثل للكرات في حدود معاملات

الأمواج المستوية، القطع  $G_{max}$  هو أكبر طول موجة في الكرة  $MT$  ذات نصف القطر  $R_\alpha$

اختيار القطع  $G_{max}$  ملائم في الحسابات نظراً لأن التقارب مضمن في طريقة  $cut-off$

إذا كان  $R_\alpha G_{max}$  يتغير بين 7 و 9 .  $FP-LAPW$

#### 4.2.II برنامج WIEN2k

التطبيق الناجح لطريقة الأمواج المستوية المتزايدة خطياً و الكمون الكامل  $FP-LAPW$  هو برنامج

*Wien2k* ، وهو رمز تم تطويره بواسطة بلاها و آخرون *Blaha and al* [6]. يسمح هذا البرنامج

بدراسة خواص البلورات، وقد كتب البرنامج الحسابي *Wien2k* بلغة الفور ترن (*FORTRAN90*)

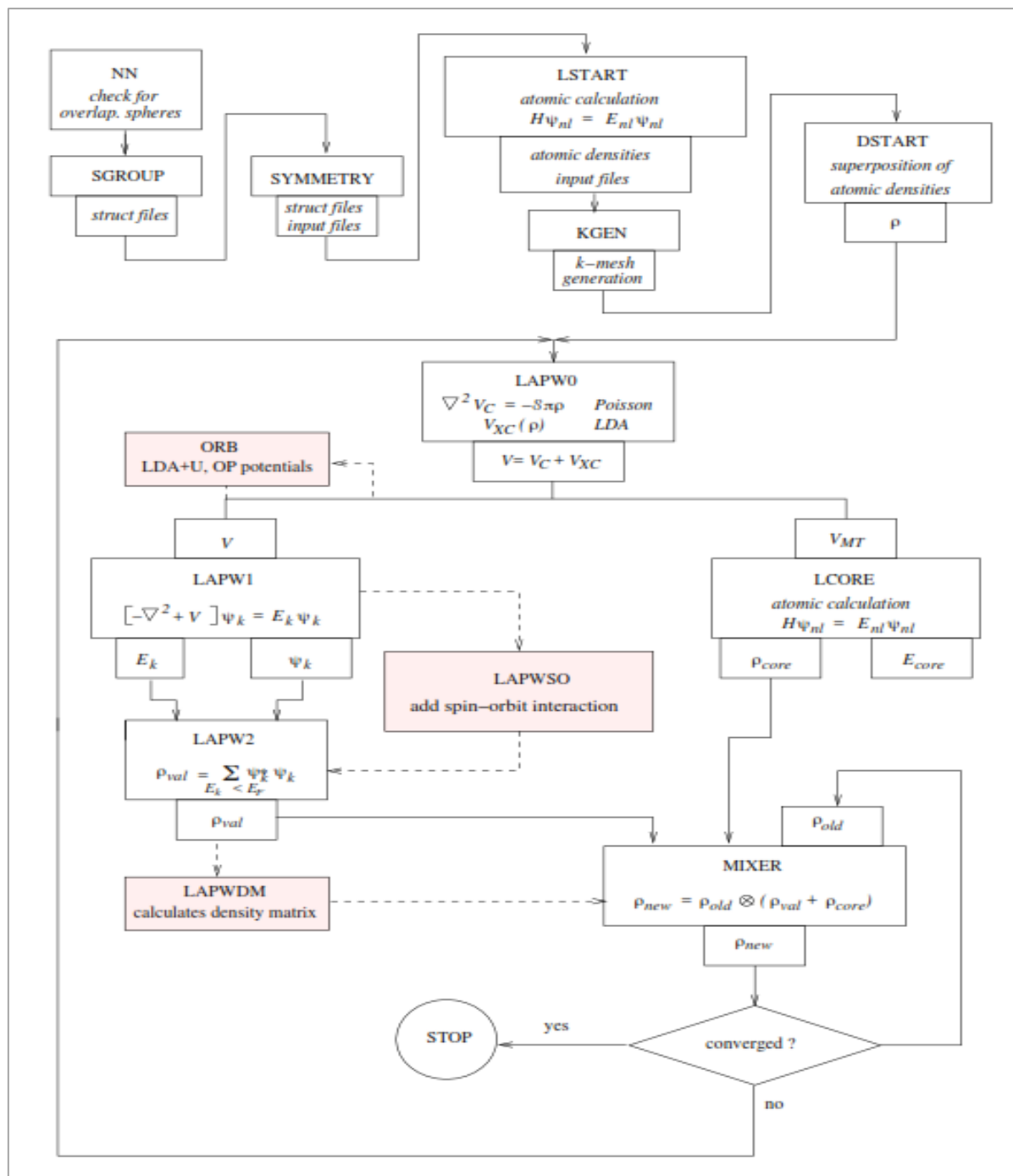
طبق بنجاح لترجم المجال الكهربائي [7 ، 8] ، أنظمة النواقل الفائقة عالية الحرارة ، المعادن ، الأسطح

المعدنية الانتقالية [9] ، أكسيد غير مغناطيسية [10] وحتى الجزيئات [11].

يتكون رمز *Wien2k* من العديد من البرامج المستقلة المرتبطة بواسطة البرامج النصية المقذوفة

*C-SHELL SCRIPT*. لإجراء عمليات حسابية للبنية الإلكترونية بواسطته تتبع تسلسل واستخدام

البرامج الفرعية المرتبطة ببعضها البعض لـ *Wien2k* في الرسم البياني التالي (الشكل 4.2.II):

الشكل(2.II): بنية البرنامج  $WIEN2k$ 

## 1.4.2.II التهيئة

لتحديد خصائص مادة معينة، من الضروري إنشاء بيانات البدء، في الملف الرئيسي "case. Struct" الذي يحتوي هذا الأخير على جميع المعلومات للمادة (ثوابت الشبكة، البنية البلورية، موقع الذرات.. إلخ) و نصف قطر الكرة  $MT$  لكل ذرة ( $R_{MT}$ ). يقوم برنامج الإعداد بتحضير كل المعطيات اللازمة لدورة

التناسق الذاتي  $SCF$ ، ويتم ذلك بواسطة سلسلة من البرامج الفرعية التالية:

$NN$  : يعطي المسافات بين الذرات انطلاقاً من أقرب الجيران (مسافة الجوار الأقرب الأول) ويساعد على

تحديد نصف قطر الكرة  $Muffin-tin$ .

$cas.struct$  : يحدد مجموعة الفضاء للبنية المعطاة في الملف  $SGROUP$

$SYMMETRY$  : يسمح بحساب عمليات التناظر لفضاء المجموعة (الانعكاس، الدوران،... الخ) باستعمال

معلومات البنية لتقليل مدة الحساب اعتماداً على عمليات التناظر.

$LSTART$  : يولّد الكثافة الذرية ويحدد كيفية معالجة المدارات المختلفة في حساب بنية العصب (أي حالة

القلب والتكافؤ مع أو بدون مدارات موضوعية ...).

$KGEN$  : يقوم بتوليد الشبكة  $k$  في منطقة بريلوان الأولى.

$DSTART$  : يولّد الكثافة الأولية لبداية دورات الحساب الذاتي  $SCF$  عن طريق تراكم الكثافة الذرية

. $LSTART$  المتولدة من

#### 2.4.2.II حساب مجال الاتساق الذاتي $SCF$ في برنامج $WIEN2k$

تتكون دورة مجال المتسق الذاتي ( $SCF$  (*Self Consistent Field*)) من الخطوات التالية:

$LAPW0$  : يولّد الكمونات انطلاقاً من الكثافة الإلكترونية.

$LAPW1$  : يقوم بحساب عصب التكافؤ، القيم الذاتية و الأشعة الذاتية.

$LAPW2$  : يحسب كثافة التكافؤ من الأشعة الذاتية.

$LCORE$  : يحسب حالات القلب والكثافة.

$MIXER$  : يمزج الكثافة الداخلية والخارجية.

#### 3.II طريقة الأمواج المستوية والكمون الزائف

##### 1.3.II مقدمة

تعتبر الكمونات الزائفية عنصراً أساسياً للعمليات الحسابية في الفيزياء الصلبة ، بسبب التبسيط الكبير الذي

أوجنته، وقابليتها للنقل، والنتائج الجيدة التي قدمتها. يمكن استخدامها في العديد من الأنظمة بتطبيق قاعدة

الموجة المستوية، وهي أساسية من أجل تسريع العمليات الحسابية، بالإضافة إلى ذلك توفرها على نموذجاً بسيطاً للفعاليات بين الأيون المكون من النواة والإلكترونات القلب الخاملاة (الجامدة) كيميائياً والإلكترونات التكافؤ التي تشارك بفعالية في الفعاليات الكيميائية.

تمثل الكمونات الزائفه جزءاً مهماً من الطرق الحسابية لارتباطها بنظرية دالية الكثافة  $DFT$ ، وهي نظرية تم تطويرها على مدار الخمسين عاماً الماضية وقدمت بعد ذلك نتائج ممتازة مقارنة بطرق مثل  $Hartree-Fock$ . كما أحدثت هذه التقنية ثورة حقيقية في نظرية بنية الشريط (الفجوة) وأنثبتت فعاليتها في البحث عن الخواص الإلكترونية للمواد الصلبة وفهمها، والتنبؤ بخصائص الحالة الأساسية لها. تلخص طرق دالية الكثافة لـ كوهن و شام في نهجين: الأول نعالج الإلكترونات القلب والتكافؤ، وتسمى طريقة الإلكترون الكامل  $AE$  (*All Electrons*)، في حين أن الطريقة الثانية تسمى تقريب الكمون الزائف الذي يقضي على تأثير الإلكترونات القلب، و هما مرتبطان ارتباطاً وثيقاً.

إن حسابات جميع الإلكترونات  $AE$  باهظة الثمن باستثناء الأنظمة ذات العدد الذري الصغير، نظراً لأن هناك عدداً كبيراً من الدوال الأساسية اللازمة للتقطط السلوك المتذبذب لموجة الإلكترون التي تعمل بالقرب من النوى. فعند زيادة عدد الإلكترونات التي يتم معالجتها، يصبح حل معادلة شرود ينغر صعباً ويزداد بسرعة كبيرة زمن الحسابات. إضافة إلى أن الخواص الفيزيائية والكيميائية الأكثر دراسة في الأنظمة الجزيئية لا تشتمل إلا على الإلكترونات التكافؤ و بالتالي فمن المعقول عدم معالجة الإلكترونات القلب واستبدال آثارها بالإلكترونات التكافؤ وكمون فعال يسمى عادة الكمونات الزائفه [12].

الشرط الرئيسي لتقريب الكمونات الزائفه هو أنه يستنسخ كثافة شحنة التكافؤ المتعلقة بالروابط الكيميائية و يمثل اهتماماً كبيراً في الحساب النظري للبني الإلكترونية للمادة ، لأنه يسمح بمعالجة الإلكترونات التكافؤ فقط ، لتحقيق مكاسب كبيرة في موارد الحوسبة الالازمة لإجراء العمليات الحسابية [13]. يعتمد هذا النهج على حقيقة أن الغالبية العظمى من الخواص الفيزيائية والكيميائية للمواد تعتمد فقط على الإلكترونات التكافؤ. في الذرة فقط الإلكترونات الطرفية (بأعداد صغيرة) تساهم في تكوين الروابط الكيميائية، في حين أن الإلكترونات القلب (بأعداد كبيرة) مرتبطة بشدة مع النواة الذرية وبالتالي فهي غير حساسة بجوار

الدراة [14]. إن تقرير النواة المجمدة يتأتي بحقيقة أن الإلكترونات القريبة من النواة تبقى خاملة نسبياً عند تغير البيئة الكيميائية للذرة ولا تغير من حالتها [15].

الميزة الخاصة لهذا التقرير، هو تقليل عدد الإلكترونات التي تظهر في الحسابات ، وبالتالي التقليل من عدد المعادلات التي يتبعن حلها ، وهذا يعني أن الإلكترونات التكافؤ هي التي تجعل من الأنسب استبدال الكمونات الأيونية الحقيقة للنواة بكمونات أيونية فعالة مرتبطة بدالة الموجة اللينة (أي بدون عقدة).

### 2.3.II طريقة الكمون الزائف

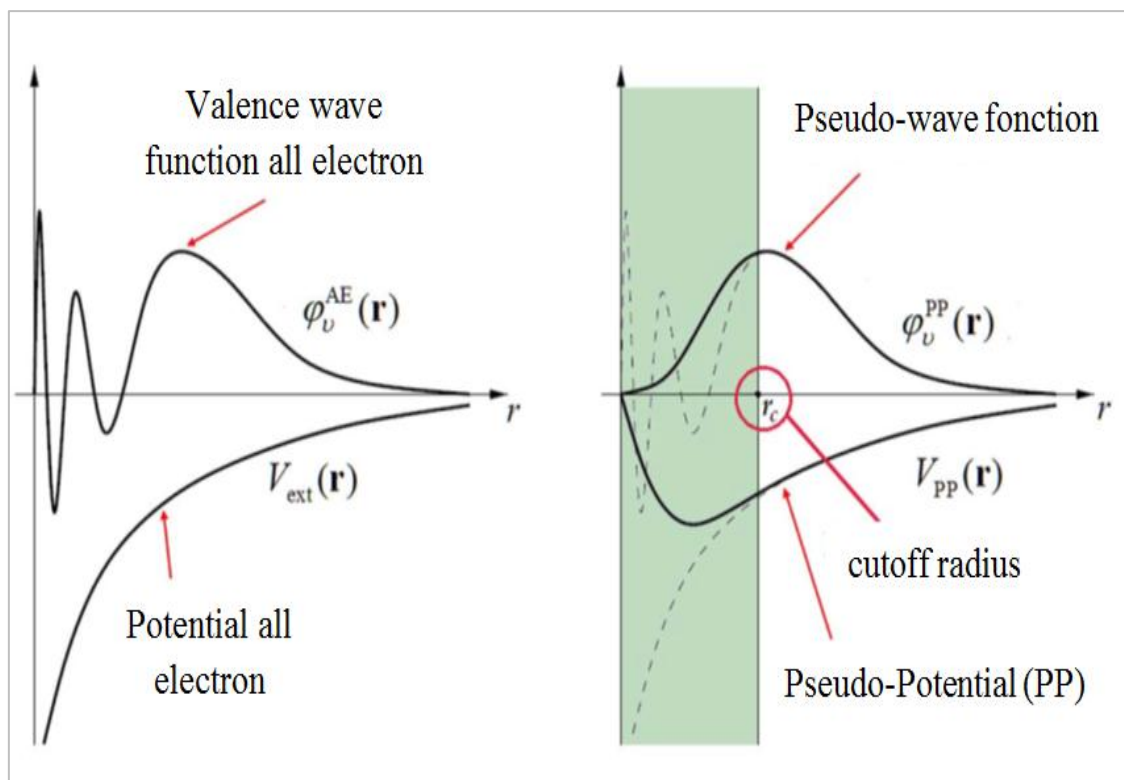
طريقة الكمونات الزائفة وجدت لتبسيط العمليات الحسابية، وتتألف من اختزال النظام (النواة + جميع الإلكترونات) إلى نظام إلكترون التكافؤ. التي تتكون من كمونات النواة والإلكترونات القلبية حيث يتم تقليل الحساب إلى إلكترونات التكافؤ فقط التي سيتم اختيارها. هذا التقرير جيد لأن المدارات الأساسية لديها طاقة أقل وتقع بالقرب من النواة، فهي لا تشارك في الروابط الكيميائية. علاوة على ذلك صعوبة التمثل لوجود تذبذبات قوية حول النواة، و من ناحية أخرى مدارات التكافؤ ليست محلية وتمتد بعيداً عن النواة لذا فهي تحدد بالدرجة الأولى الخواص الفيزيائية والكيميائية.

الفكرة الأساسية لطريقة الكمونات الزائفة هي الحصول على حالات التكافؤ لنظام (ذرة ، جزيء ، بلور) دون الحاجة إلى حساب حالات القلب غير الضرورية لوصف الخواص الفيزيائية. أي تقرير القلب المتجمد الذي يفترض أن الحالات الإلكترونية لإلكترونات القلب غير حساسة للتكتوين أو الترتيب الإلكتروني المجاور.

من الناحية العملية يتم استبدال دوال الموجة ( $r$ )  $\varphi_v^{AE}$  لجميع الإلكترونات ( $AE$ (All Electrons) التي تمثل الإلكترونات التكافؤ بدالة الموجة الزائفة ( $r$ )  $\varphi_v^{PP}$  (الشكل (3-II) ، وتكونا متطابقين ويتم فرض المساواة: ( $V_{ext}(r) = V_{PP}(r)$  ،  $\varphi_v^{AE}(r) = \varphi_v^{PP}(r)$  ) |  $r > r_c$  | حيث يفرض خارج نصف كرة نصف قطرها  $r_c$  حول الذرة، وداخل هذا المجال يتم اختيار شكل( $r$ )  $\varphi_v^{PP}$  لإزالة العقد، والذبذبات الناتجة عن تعامد دوال الموجة، ويكون لدواں الموجة الزائفة ودواں موجة التكافؤ نفس الطاقات الخاصة.

يمكن تمثيل الكمونات الزائفة بشكل صحيح باستخدام عدد من النقاط  $k$  التي تكون أصغر بكثير من الازمة في حالة موجة النكافي، وجميع الالكترونات ذات نصف القطر الأكبر من  $r_c$  التي تحدد منطقة القلب.

و ظاهرة التبادل والارتباط.



الشكل (3.II): التمثيل التخطيطي لبناء دالة الموجة الزائفة و الكمون الزائف

3.3 نظرية الكمون الائف

تارياً، اقترح فيرمي *Fermi* النهج النظري الزائف في 1934 [16] وهيلمان *Hellman* في 1935 [17]. بالرغم من تبسيط حسابات البنى الإلكترونية من قبل الكمونات الزائفة ، بقيت طي النسيان حتى نهاية الخمسينيات، و في عام 1959 مع فيليبس و كلينمن *Philips and Kleinman* [18،19] تم إعادة إطلاق الكمونات الزائفة مرة أخرى مع [20]. المستوحة من طريقة الموجة المستوية المتعامدة

[21]. حيث تم تطوير دوال موجة التكافؤ باستخدام  $OPW$  (*Orthogonalized Plane Waves*)

قاعدة ثابتة من الموجات المستوية المتعامدة مع حالات القلب (الحالة الأساسية) وتكتب على الشكل:

$$\varphi_{OPW}(K + G) = \varphi_{PW}(K + G) - \sum_{\alpha,c} < \varphi_c | \varphi_{PW}(K + G) > \varphi_{\alpha,c} \quad (8-II)$$

حيث:

$\varphi_{PW}$  موجة مستوية، و هي الموجة المقابلة لـ  $OPW$  (المجموع في كل حالات القلب و الذرات  $\alpha$ ).

أظهر كل من فيليبس و كلينمان أنه يمكن بناء دالة موجة التكافؤ السلس(الناعم)  $\varphi_v^{PP}$  وهو غير معادم

لحالات القلب  $c$  من خلال الجمع بين دالة موجة القلب و دالة موجة التكافؤ للإلكترونات  $\varphi_v^{AE}$  بالطريقة

التالية :

$$| \varphi_v^{PP} > = | \varphi_v^{AE} > + \sum_{\alpha,c} a_{vc} | \varphi_c > \quad (9-II)$$

مع  $a_{vc} = < \varphi_c | \varphi_v^{PP} >$  ≠ 0 و عند تطبيق الهاياميلتونيان على الكمون الزائف نجد:

$$H | \varphi_v^{PP} > = \varepsilon_v | \varphi_v^{AE} > + \sum_{\alpha,c} a_{vc} \varepsilon_c | \varphi_{\alpha,c} > = \varepsilon_v | \varphi_v^{PP} > + \sum_{\alpha,c} a_{vc} (\varepsilon_c - \varepsilon_v) | \varphi_{\alpha,c} > \quad (10-II)$$

أين:  $\varepsilon$  و  $v$  هما القيم الذاتية للقلب و التكافؤ على الترتيب، وباستعمال تعريف  $a_{vc}$  نجد:

$$[H + \sum_{\alpha,c} (\varepsilon_v - \varepsilon_{\alpha,c}) | \varphi_{\alpha,c} > < \varphi_{\alpha,c} |] \varphi_v^{PP} = \varepsilon_v | \varphi_v^{PP} > \quad (11-II)$$

لذلك فإن الدوال الزائفة، تبني معادلة شرودينغر بمساهمة إضافية للهاياميلتونيان كما هو مبين بالعلاقة (11-II). هذه المساهمة مختلفة عن شكل الكمون الطبيعي لأنها طاقة تعتمد على  $v$ . إضافة هذا المدلول

الجديد إلى الكمونات الأصلية الواردة في الهاياميلتونيان ينتج الكمونات الزائفة لفيليبيس كلينمان وتعرف بـ :

$$V^{PK} = v + \sum_{\alpha,c} (\varepsilon_v - \varepsilon_{\alpha,c}) | \varphi_{\alpha,c} > < \emptyset_{\alpha,c} | \quad (12-II)$$

حيث:  $v$  هي الكمونات الحقيقة، باعتبارها الكمونات الفعالة التي تتحرك بها إلكترونات التكافؤ، ومع ذلك فإن الكمونات الزائفة غير محلية وترتبط بالطاقة الذاتية للحالة الإلكترونية المراد إيجادها، وهناك مدلولين: المدلول الأول خارج النواة الأيونية يصبح  $V^{PK}$  هو  $v$  لأنه السبب في تقكك المدارات الأساسية، و في المنطقة القريبة من القلب تتعامد معها مدارات التكافؤ، أين تحصل إلكترونات التكافؤ على طاقة حرارية

عالية، نتيجة لتجانس مداراتها بقوة مع المدارات المتذبذبة، وتكتسب هذه الأخيرة كمونات فعالة نتيجة لفرز الكمونات النووية بواسطة إلكترونات القلب.

المدلول الثاني من العلاقة (II-12) يمثل الكمون الطارد، مما يجعل الكمون الزائف أقل بكثير من الكمونات الحقيقية بالقرب من القلب. كل هذا يعني أن دوال الموجة الزائفة ستكون سلسة ولن تتذبذب في منطقة القلب حسب الحاجة، وتم تعليم كمونات فيليبس و كللينمان على الشكل:

$$V^{PP} = v + \sum_c |\varphi_c> <\xi_c| \quad (13-II)$$

أين:  $\xi_c$  مجموعة دوال.

الشكل العام الأكثر شيوعاً للكمون الزائف يعرف بالعلاقة:

$$V^{PP}(r) = \sum_{l=0}^{\infty} \sum_{m=-l}^l v_l^{PP}(r) |lm><lm| = \sum_{l=0}^{\infty} v_l^{PP}(r) P_l \quad (14-II)$$

و:  $|lm> = Y_{lm}(\theta, \phi)$  التوافقيات الكروية.

$P_l = \sum_{m=-l}^l |rlm><rlm|$  هو عامل الإسقاط الزاوي.  
 $v_{loc}^{PP}(r)$  الكمون الزائف المتعلق بـ  $l$ .

إذا تم اعتبار أن جميع العناصر الزاوية للكمونات الزائفة هي نفسها ، تسمى حينئذ بال محلية [22].

عادة ما يتم كتابة الكمونات الزائفة الأيونية كجزء محلي يعتمد على  $r$  فقط، وجاء غير محلي يعتمد على  $l$  ويكتب النموذج شبه المحلي للكمونات الزائفة على النحو التالي:

$$V^{PP}(r) = v_{loc}^{PP}(r) + \sum_{l=0}^{l_{max}} \Delta v_l^{PP}(r) P_l \quad (15-II)$$

أين:  $v_{loc}^{PP}(r)$  الكمون المحلي، و  $\Delta v_l^{PP}(r)$  الكمونات غير المحلية للمكون  $l$  حيث:

$$\Delta v_l^{PP}(r) = v_l^{PP}(r) - v_{loc}^{PP}(r)$$

#### 4.3.II بناء الكمونات الزائفة

يستخدم الفيزيائيون ما يسمى بالكمونات الزائفة  $ab-initio$ ، ويشير هذا المصطلح في الحساب المادي إلى "من المبادئ الأولى"، وهذا يعني دون أن يتم أي تعديل للإعدادات وفقاً للتجربة، وهناك عدة طرق

للحصول على الكمونات الزائفة لكن باتباع قواعد تقي بالمتطلبات.

تعد "قابلية التحويل" الميزة الرئيسية لتقنية الكمونات الزائفة في إطار دالية الكثافة ، وتشكل عنصراً أساسياً يجب أخذها في الاعتبار أثناء توليدها، كما يجب أن تكون لها القدرة على حساب جميع الإلكترونات في البيئة التي تم إنشاؤها فيه. مع إعطاء أفضل تقرير ممكن للنظام المصمم، و من قواعد البناء:

- يجب أن تكون القيم الذاتية للكهربائية الزائفة هي نفسها التي تم الحصول عليها في النظام الحقيقي.
- يجب أن تتزامن دوال الموجة الزائفة مع دوال موجة النظام مع وجود جميع الإلكترونات خارج "القلب" (هناك استمرارية بين دوال الموجة الأساسية و دوال الموجة الزائفة).
- يجب أن تكون الشحنة الأساسية الناتجة عن دوال الموجة الزائفة هي نفسها التي تنتجها دوال الموجة الذرية (في حالة الكمونات الزائفة التي تحتفظ بالقاعدة).
- يجب أن تتزامن المشتقفات اللوغاريتمية ومشتقفات الطاقة الأولى بنصف قطر القطع  $r_c$ .

هذه القواعد أساسية و شائعة في العديد من الطرق لتوليد كمونات زائفة، و كل طريقة بعد ذلك تعطي نفسها قواعد خاصة بها للحصول على أفضل النتائج الممكنة.

يبدأ الإجراء العام لبناء الكمونات الزائفة عن طريق حل معادلة شرودينغر لشعاعي جميع الإلكترونات لتكوين ذري مختار مع توزيع معين من الإلكترونات في مستويات الطاقة من الذرات (مراجعة التكوين):

$$\left[ -\frac{1}{2} \frac{d^2}{dr^2} + \frac{l(l+1)}{2r^2} + v_{KS}^{AE}(r) \right] r dR_{nl}^{AE}(r) = \epsilon_{nl}^{AE} r R_{nl}^{AE}(r) \quad (16-II)$$

حيث يتم فرض التماثل الكروي لكونات هارتري وكون الارتباط المتبادل ، فتأخذ كمونات كوهن - شام

الشكل:

$$V_{KS}^{AE}[\rho](r) = -\frac{Z}{r} + V_H \rho(r) + V_{xc} \rho(r) \quad (17-II)$$

أين:

$\rho(r)$  هي مجموع كثافة الحالات المشغولة، و  $Z$  هي شحنة النواة.

يتم إنشاء الدالة الزائفة للموجة الشعاعية  $(r) R_l^{PP}$  وفقاً لإحدى الطرق المتاحة ، و تحدد و تحول

الكمونات الزائفة بواسطة إلكترونات التكافؤ عن طريق عكس معادلة شرودينغر الشعاعية فتصبح :

$$V_{scr,l}^{PP}(r) = \varepsilon_l^{PP} - \frac{l(l-1)}{2r^2} + \frac{1}{2rR_l^{PP}(r)dr^2} \frac{d^2}{dr^2} [rR_l^{PP}(r)] \quad (18-II)$$

أخيراً نحصل على الكمونات الزائفة الأيونية  $(r) V_l^{PP}$  باعتبار كمونات هارترى وكمون الارتباط

المتبادل محسوبة فقط لإلكترونات التكافؤ (مع الدالة الزائفة لموجة التكافؤ) ونكتب:

$$V_l^{PP}(r) = V_{scr,l}^{PP}(r) - V_H^{PP}[\rho_v](r) - V_{xc}^{PP}[\rho_v](r) \quad (19-II)$$

حيث:

$$\rho_v = \sum_{l=0}^{l_{max}} \sum_{m=-l}^l |rR_l^{PP}(r)|^2 \quad (20-II)$$

$l_{max}$  هو أعلى عزم زاوي مقدم للذرة المعزلة في النموذج المرجعي. مع أن دالة زائفة واحدة فقط لكل عنصر من عناصر العزم الزاوي تدخل في الكثافة الزائفة للتكافؤ [23].

### 5.3.II الكمونات الزائفة مع المعايير المحفوظة

تطورت فعالية الكمونات الزائفة بشكل كبير وكان الدافع وراء هذا التطور هو تحقيق الأهداف التالية:

- يجب أن تكون الكمونات الزائفة لطيفة ، و قادرة على تمثيل دالة الموجة الزائفة باستخدام أصغر عدد ممكن من الموجات المستوية.
- يجب أن تكون قابلة للتحويل. أي أن الكمونات الزائفة الناتجة عن التكوين الذري يجب أن يعاد إنتاجها في التكوينات الأخرى، لضمان النتائج في مادة صلبة.
- يجب أن تولد كثافة الشحنة باستخدام الدالة الزائفة وإعادة توليد كثافة شحنة التكافؤ لإنشاء دالة الموجة الفعلية بدقة كبيرة.

في عام 1979 قاد كل من هامان، شليتير و شيانغ (H-S-C) *Hamann, Schluter and Chiang* [24] ثورة في هذا المجال عندما اقتربوا طريقة لاستخراج الكمونات الزائفة من المبادئ الأساسية لحساب الذرات. حيث يتطلب أن تكون النتائج التي توفرها طريقة الكمونات الزائفة متقة مع نتائج الحساب الشامل لجميع الإلكترونات ، وليس فقط القيم الذاتية للتكافؤ ، و أيضاً دوال موجة التكافؤ خارج

المنطقة الأساسية، كما يجب أن تتطابق الشحنة الموجودة في المنطقة الأساسية مع الشحنة الفعلية في نفس المنطقة. لهذا السبب يقال إن هذا النوع من الكمونات الزائفة هو المعيار المحفوظ. مع مفهوم الحفاظ على القاعدة، يتم إنشاء دالة الموجة الزائفة بحيث تكون مساوية لدالة الموجة، وبينى بطريقة تساوي الكمونات خارج نصف قطر  $r_c$  (حول الذرة). أما داخل  $r_c$  الدالة الزائفة ودالة موجة التكافؤ مختلفة مع توفر شروط التطابق.

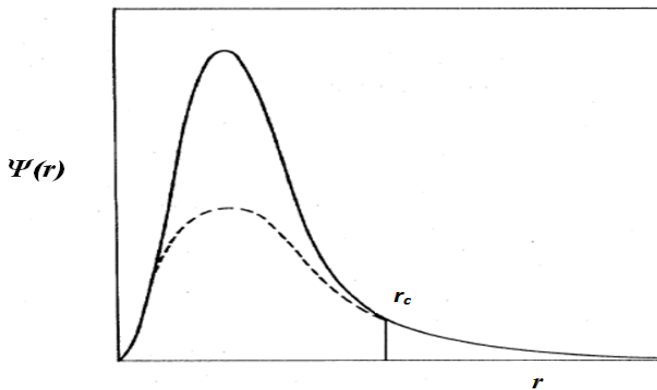
### 6.3.II الكمون الزائف فائق النعومة

في حالة المعادن التي تمر بمرحلة انتقالية في أنصاف النواقل الخاصة، يمكن أن يصبح عدد الموجات المستوية الضرورية لوصف الإلكترونات مرتفعاً للغاية ، إذا استخدمنا كمونات زائفة مع قاعدة محفوظة، لأنه في هذه الحالة يجب أن يبقى نصف قطر القطع صغير نسبياً.

بذللت عدة محاولات لتقليل طاقة القطع [25 ، 26] ، ولكن دون السماح بمحاكاة الأنظمة الممتدة ، وكحل لهذه المشكلة قدم فاندربيلت *Vanderbilt* في عام 1990 فئة جديدة من الكمونات الزائفة التي تكون فيها دوال الموجة الزائفة سلسة بشكل كيقي (اعتباطي) في المنطقة الأساسية [27]، وهذا هو السبب في تسمية هذه الكمونات باسم الكمونات الزائفة فائق النعومة (*Ultra Soft PseudoPotential*)

والغرض من هذا التغيير، هو تقليل طاقة القطع الضرورية لوصف المدارات الموضعية بشكل كبير عن طريق السماح باستخدام نصف قطر قطع أكبر من الكمونات الزائفة مع الحفاظ على القاعدة.

تتمثل فكرة كمونات فاندربيلت في معظم الحالات في الحصول على طاقة قطع عالية لقاعدة الموجة المستوية المحددة فقط عندما تكون هناك مدارات مرتبطة ارتباطاً وثيقاً، ولها جزء كبير داخل منطقة القلب. يعرض الشكل (4.II) مثالاً على دالة الموجة الزائفة ، مع وجود نقطة داخل القلب في مخطط فاندربيلت ، و تتمتع الكمونات *US-PP* بميزة أخرى هي أنها أكثر ليونة من الكمونات القياسية المحفوظة مما يؤدي إلى قابلية النقل ، ودقة أفضل بكثير من الكمونات الزائفة [28].



الشكل(4.II): تمثيل دالة الموجة الزائفة في مخطط فاندربريلت

### 7.3.II برنامج CASTEP

برنامج حزمة الطاقة التسلسليّة كامبردج (*Cambridge Serial Total Ennery Package*) وضع في عام 1988 من قبل بابن وأخرون [29، 30] *Payne ad al* ، وهو رمز حسابات *CASTEP* ، و جزء من مجموعة برامج المحاكاة العددية المسماة *MS (Material Studio)* التي يتم *ab-initio* تسويقها بواسطة *Accelrys* ©. يسمح بإعطاء معلومات عن : الطاقات الكلية، القوى والإجهادات التي تمارس على النظام الذري، وكذلك حساب الهندسة الأمثل، بنى العصابات، الطيف الضوئي و ثوابت المرونة. يستخدم *CASTEP* نظرية دالية الكثافة *DFT* لحل معادلة شرودينغر باستخدام الظروف الدورية *supercelles*، والتكامل في منطقة بريلوان *ZB*، و قاعدة موجة مستوية وكمون زائف لحساب الطاقة الكلية لنظام معين. تم تطوير دوال الموجات الإلكترونية بواسطة قاعدة موجة مستوية محددة باستخدام الشروط الحدوية الدورية *PBC (Period Border Condiction)* ، ونظرية بلوش *Blouch*. توصف كمونات الإلكترون-أيون عن طريق الكمونات الزائفة مع الصيغتين : *PP* للقاعدة المحفوظة و *US* اللينة جدا . تُستخدم إجراءات تقليل الطاقة المباشرة للحصول على دوال الموجة الإلكترونية ، و كثافة الشحنة المقابلة الإلكترونية. تُحسب فقط مدارات كوهن و شام التي ينتمي شعاع موجتها *G* إلى الجزء غير القابل للاختزال من منطقة بريلوان نظراً لأنه لا يمكن بناء الكثافة الإلكترونية إلا من هذه الحالات، واستخدام مصفوفات المجموعة الفضائية بناءً على التماثل، وهو ضروري أيضاً للقوى والإجهادات، ويظهر ذلك جلياً في كثافة الإلكترون.

يتيح استخدام التنااظر تقليل زمن الحساب بشكل كبير، خاصة بالنسبة للشبكات الصغيرة التي تحتوي على العديد من النقاط  $k$  لأن *CASTEP* متوازن و فعال كدالة لهذه النقاط كما ذكرنا سابقاً.

يستخدم *CASTEP* طريقة منخورست- باك *Monkhorst-Pack* لأخذ عينات من منطقة بريلوان [31]. هذه الطريقة تسمح بتوليد شبكة موحدة على طول ثلاثة محاور من الفضاء المتبادل، و يستخدم تماثل النظام لتقليل عدد النقاط  $k$  للخلية الأولية. إن القوى المؤثرة على الذرات و موئر الإجهادات تتنااظر دائمًا مع الانتقال الذري والتغيرات في إعدادات الشبكة البلورية.

### 1.7.3.II تقنية مجال الاتساق الذاتي *SCF* في برنامج *CASTEP*

من أجل تحديد الحالة الأساسية الإلكترونية للأنظمة المدروسة، يتم تنفيذ خوارزميتين للمتسق الذاتي الأولى: كثافة الخلط (*Density Mixing*) [32]، وهي أسرع بشكل عام إلا أنها ليست متغيرة وبالتالي فإنها قد تكون عرضة لعدم استقرار التقارب.

الثانية: نظرية دالية الكثافة المجمعة (*EDFT*) [33] هي متغيرة ، عادة ما تكون أبطأ ، وخاصة في وجود عصابات فارغة. يخضع أي اختيار من الخوارزميتين لصعوبات تقارب النظام في *CASTEP* . في خوارزمية *DM* ، يتم تقليل مجموع القيم الذاتية الإلكترونية في الكمونات الثابتة بدلاً من تقليل المتسق الذاتي لإجمالي الطاقة. أين يتم خلط كثافة الإلكترون الجديدة التي تم الحصول عليها في نهاية التصغير ( $\rho_{out}$ ) مع الكثافة الأولية ( $\rho_{in}$ ) حيث تكرر العملية حتى يتم الوصول إلى التقارب. من أجل المثانة يدعم *CASTEP* أربع طرق للخلط:

الخليط خطى، خليط كركر *Kerker* ، خليط برويدن *Broyden* ومزيج بيلاي *Pulay* . كما يدعم أيضاً مخططاً تقليدياً للاسترخاء الإلكتروني (جميع العصابات) الذي يتضمن تقليل الطاقة الكلية وهذا باستخدام طريقة "جميع العصب" التي تسمح بالتحديث المتزامن لجميع دوال الموجة

وتقنيّة متدرجة مسبيقة الشرط [30].

الميزة الرئيسيّة لطريقة خلط الكثافة هي متنانتها لأنظمة المعدنية، خاصة بالنسبة للأسطح المعدنية، تقنيّة تقليص الطاقة الإجمالية يمكن أن تصبح غير مستقرة في نظام معدني مع خلية ممدودة ذات بعد واحد وهو التكوين النموذجي للحسابات الفائقة على الأسطح. تقارب تقنيّة خلط الكثافة للحالات العازلة والحالات المعدنية، وتتوفر على الأقل ثلاثة عوامل لزيادة سرعة العوازل متوسطة الحجم.

#### 4.II المقارنة بين طريقيّي الحساب $FP-LAPW$ و $PP-PW$

الجدول أدناه يشير إلى المميزات الرئيسيّة لطريقيّي الحساب  $PP-PW$  و  $FP-LAPW$ .

$PP-PW$	$FP-LAPW$	الطريقة
$PP: PW$	$LAPW$ $APW+IO$	قاعدة الاستعمال
بساطة	معقدة	التشكيلة
- كمون زائف - تأثير محاكات الإلكترونات	كامل دون تقريريات	الكمون
محدودة	كاملة	الناقلية
أقصر	أطول	زمن الحساب
- مهمة جدا - طريقة تكييفها بشكل أقل مع التحليل	- مهمة جدا - طريقة تكييفها بشكل جيد مع التحليل	الدقة
$CASTEP$	$WIEN2k$	البرنامج

الجدول (1.II): المميزات الرئيسيّة لطريقيّي الحساب  $FP-LAPW$  (WIEN2k) و  $PP-PW$  (CASTEP)

## المراجع

- [1] O. K. Anderson, Phys. Rev. B 12 (1975) 3600.
- [2] J. C. Slater, Vol 1 (1964) 35.
- [3] D. D. Koelling and G. O. Arbman, J. Phys. F 5 (1975) 2041.
- [4] T. Takeda and J. Kubler, Journal of Physics. Vol 9 (1979) 661-672.
- [5] D. Singh, Phys. Rev. B 43 (1991) 6388.
- [6] P. Blaha, K. Schwarz, and J. Luitz, WIEN97. Technical University, Vienna (1997) 415.
- [7] P. Blaha and K. Schwarz, Hyperf. Interact. 52 (1989) 153.
- [8] P. Dufek, P. Blaha and K. Schwarz, Phys. Lett. 75 (1995) 3545-3548.
- [9] K. Schwarz, C. Ambrosch-Draxl, and P. Blaha, Phys. B 42 (1990) 2051-2061.
- [10] B. Winkler, P. Blaha and K. Schwarz, American. Mineralogist. Vol 81 (1996) 545-549.
- [11] B. Kohler, P. Ruggerone, S. Wilke, and M. Scheffler, Phys. Rev. Lett. 74 (1995) 1387.
- [12] M. D. Segall, R. Shah, C. J. Pickard and M. C. Payne, Phys. B 54 (1996) 16317-16320.
- [13] M. C. Payne, M. P. Teter, D. C. Allan, T. A. Arias and J. D. Joannopoulos Rev. Mod. Phys. Vol 64 (1992) 1045-1097
- [14] N. Troullier, J. L. Martins. Phys. B 43 (1991) 1993-2006.

- [15] M. C. Warren, G. J. Ackland, B. B. Karki, S. J. Clark, Mineral. Mag 62 (1998) 585-598.
- [16] E. Fermi, Il Nuovo Cimento.Vol 11 (1934) 157-166.
- [17] H. Hellmann, J. Chem. Phys. 3 (1935) 61.
- [18] J. C. Phillips and L. Kleinman, Phys. Rev. 116 (1959) 287.
- [19] E. Antončík, J. Phys. Chem. Solids.Vol 10 (1959) 245-348.
- [20] C. Fiolhais, F. Nogueira and M. Marques, "A Primer in Density Functional Theory". (2003).
- [21] C. Herring, Phys. Rev. 57 (1940) 1169.
- [22] J. Kohanoff "Electronic Structure Calculations for Solids and Molecules: Theory and Computational Methods".Cambridge University Press. (2006) 0521815916.
- [23] D. J. Singh and L. 142 (2006) 37831- 6032.
- [24] D. R. Hamann, M. Schlüter, and C. Chiang, Phys. Rev. Lett. 43 (1979) 1494.
- [25] G. P. Kerker. J. Phys. C 13 (1980) 189.
- [26] A. M. Rappe, K. M. Rabe, E. Kaxiras, J. D. Joannopoulos, Phys. B 41 (1990) 1227.
- [27] D. Vanderbilt, Phys. B 41 (1990) 7892.
- [28] D. Vanderbilt, Phys. 32 (1985) 8412.
- [29] S. J. Clark, M. D. Segall, Chris J. Pickard , P. J. Hasnipm, Matt I. J. Probert, K. Refson and M. C. Payne, Z. Kristallogr. 220 (2005) 567.

- [30] M. C. Payne, M. P. Teter, D. C. Allan, T. A. Arias and J. D. Joannopoulos, Phys. Rev. 64 (1992) 1045.
- [31] H. J. Monkhorst and J. D. Pack, Phys. Rev. B 13 (1976) 5188.
- [32] G. Kresse, J. Furthmuller, Phys. Rev. B 54 (1996) 11169.
- [33] N. Marzari, D. Vanderbilt, M. C. Payne, Phys. Rev. Lett. 79 (1997) 1337.

# **الفصل الثالث**

## **النتائج و المناقشة**

#### 1.III مقدمة

هذا الفصل مخصص لنتائج ومناقشات حساباتنا التي تشمل دراسة الخصائص البنوية، الإلكترونية والديناميكية الحرارية لمركبات البيرفسكait ( $X= Ba, Sr, Ca$ ) و  $XZrS_3$  للطوريين المكعب والمعيني القائم باستخدام برامجين مختلفين ؛ *CASTEP* و *WIEN2K* المعتمدان على نظرية دالية الكثافة *DFT*.

#### 2.III إعدادات الدخول

بيانات الإدخال ضرورية لأي برنامج مثل:

- نظام الشبكة البلورية (مجموعة الفضاء).
- ثوابت الشبكة ( $a, b, c, \alpha, \beta, \gamma$ ).
- موقع الذرات.
- حالة التكافؤ...

يتم تجميع معلومات الإدخال في الجدول (1.III) كالتالي:

حالة التكافؤ	مجموعة الفضاء	موقع الذرات	الزوايا	ثوابت الشبكة (Å)	الطور	المركب	
Ba :[Xe]6s <sup>2</sup>	Pm3m	Ba (0.5 0.5 0.5) Zr (0 0 0) S (0.5 0 0)	$\alpha = \beta = \gamma = 90^\circ$	a=b=c=4.1920	المكعب	$\text{BaZrS}_3$	
Zr :[Kr]4d <sup>2</sup> 5s <sup>2</sup>							
S :[Ne]3s <sup>2</sup> 3p <sup>3</sup>	Pnma	Ba (0.0376 0.25 0.0069) Zr (0 0 0.5) S (-0.0045 0.25 0.5614) S (0.2155 -0.0293 0.7869)	$\alpha = \beta = \gamma = 90^\circ$	a = 7.0598 b = 9.9813 c = 7.0250	المعيني القائم	$\text{SrZrS}_3$	
Sr:[Kr] 4s <sup>2</sup>	Pm3m	Sr (0.5 0.5 0.5) Zr (0 0 0) S (0.5 0 0)	$\alpha = \beta = \gamma = 90^\circ$	a=b=c=5.0163	المكعب		
Zr :[Kr]4d <sup>2</sup> 5s <sup>2</sup>							
S :[Ne]3s <sup>2</sup> 3p <sup>3</sup>	Pnma	Sr (0.0769 0.25 0.0228) Zr (0 0 0.5) S (-0.0177 0.25 0.5987) S (0.1962 -0.0477 0.8086)	$\alpha = \beta = \gamma = 90^\circ$	a = 7.1085 b = 9.7661 c = 7.7350	المعيني القائم	$\text{CaZrS}_3$	
Ca:[Ar] 4s <sup>2</sup>	Pm3m	Ca (0.5 0.5 0.5) Zr (0 0 0) S (0.5 0 0)	$\alpha = \beta = \gamma = 90^\circ$	a=b=c=4.9859	المكعب		
Zr :[Kr]4d <sup>2</sup> 5s <sup>2</sup>							
S :[Ne]3s <sup>2</sup> 3p <sup>3</sup>	Pnma	Ca (0.0903 0.25 0.0333) Zr (0 0 0.5) S (-0.0345 0.25 0.5262) S (0.1897 -0.0626 0.8185)	$\alpha = \beta = \gamma = 90^\circ$	a = 7.0300 b = 9.5896 c = 7.5366	المعيني القائم	$\text{CaZrS}_3$	

(1.III): تجميع معلومات الإدخال في حسابات (WIEN2k و CASTEP)

### III.3 النهج الحسابي

يتم إجراء الحسابات بواسطة طريقة الأمواج المستوية المتزايدة خطياً والكمون الكامل  $FP-LAPW$  [1]  $WIEN2K$  كما هو مطبق في برنامج  $DFT$  في دراسة الخصائص البنوية، يتم معالجة طاقة الارتباط التبادلي باستعمال التدرج المعمم  $GGA$  وفقاً للتقريب  $PBE-GGA$  [2]. في الواقع إن استخدام أسلوب أونقل - فوسكو  $EV$  [3]، و هيبارد  $(GGA-U)$  [4] مناسبين في معالجة كمون ارتباط تبادلي فعال في دراسة الإلكترونات المرتبطة ارتباطاً وثيقاً ، حيث يمكن تقييم فجوة عصب الطاقة للمواد الحالية بشكل أكثر دقة ، وتعتبر هذه الطريقة الكاملة المحتملة والأنسب لنظامنا، في هذه الحالات باعتبار الإلكترونات المركزية نسبية ، وإلكترونات التكافؤ شبه نسبية. يتم تعين عنبة الطاقة بين التكافؤ والحالات الأساسية في المجال من  $0$ - $6 Ry$ . هنا يتم حل معادلات كوهن و شام من خلال ازدياد دالة الموجة في شكل التوافقيات الكروية داخل مجالات الذرة. يتم استخدام التوسيع في الموجات المستوية في المناطق البنوية (خارج الكرة  $MT$ ) للذرات داخل خلية واحدة، واستعملنا في الحسابات الشروط الحدودية:

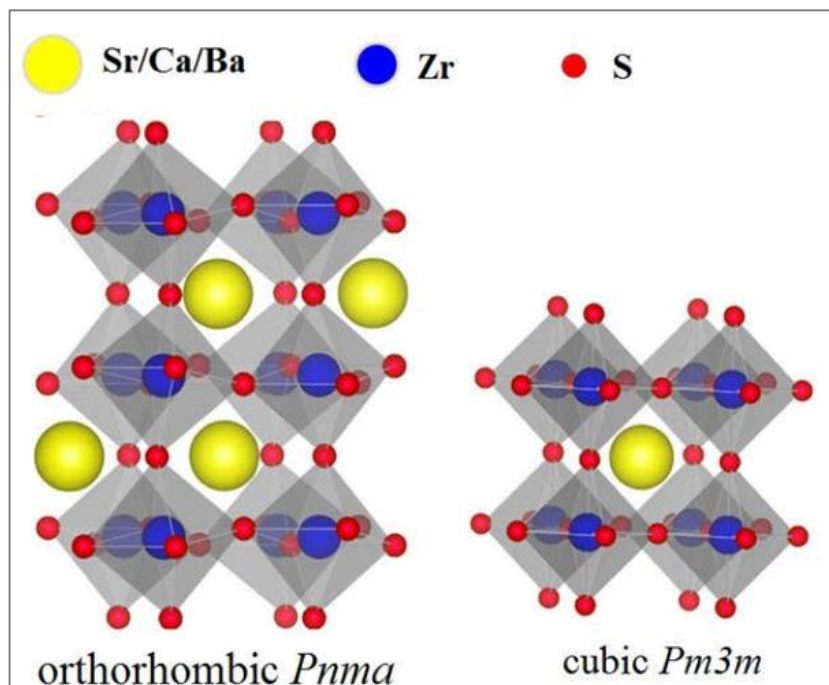
$l_{max} = 10$  لتوسيعة العزم الحركي، وتنبيت  $R_{MT}K_{max}$  عند 8 (قطع الموجة المستوية)، وهو المعامل الذي يحدد عدد الأمواج المستوية المأخوذة لنشر الدوال الموجية. ثم نحدد عدد النقاط  $k$  المختارة في منطقة بربيلوان الأولى ( $k-points$ ) بين 500 و 3000 نقطة لكل من الطورين المعيني القائم والمكعب على الترتيب،  $R_{MT}$  هو نصف قطر الكرات ( $Muffin-Tin$ ) و  $K_{max}$  هو قطع دالة الموجة. يتم اختيار الأشعة  $R_{MT}$  من الكرة  $MT$  حتى تكون متناسبة تقريباً مع الأشعة الأيونية المقابلة، وتخفض القوى إلى  $10^{-4} mRy Bohr^4$ . استخدمنا أيضاً كمونات زائفه لفاندربيلت  $Vanderbilt$  فائقة النعومة [5]، والتقريبات المختلفة للتدرج  $GGA$  المعمم :

$GGA-WC$  [6] و  $GGA-Sol$  [2]  $GGA-PBE$  للطاقة الكلية (CASTEP) [8] لحساب الخواص الإلكترونية والبنوية لمركبات البيروفسكايت  $XZrS_3$ .

معأخذ طاقة القطع الحرکية لتوسيع الموجة المستوية عند 500 فولت لجميع الحالات التي تمت دراستها. العينات الخاصة للنقاط  $k$ -point التي تدمج ضمن منطقة بريليوان ZB الأولى واستخدام طريقة منخورست- باك Monkhorst-Pack، وأخذ النقاط  $k$  بـ  $10 \times 10 \times 10$  و  $7 \times 7 \times 7$  للطور المكعب والمعيني القائم على التوالي. استناداً إلى تقنية (Bryden Fletcher Goldfarb Shенно) [9]. يصل النظام إلى الحالة الأساسية من خلال حساب متسق ذاتي عندما تكون الطاقة الكلية مستقرة في حدود  $5 \times 10^{-6}$  فولت / ذرة، وتكون أقل من  $10^{-2}$  فولت / Å.

#### III.4. الخواص البنوية

دراسة الخصائص البنوية هي نقطة الانطلاق بسبب أهميتها في فهم الخصائص الأخرى. في هذا العمل تم أخذ التركيب البلوري التجاري الذي وصفه ليفلد و إيجدو Lelieveld and Ijdo [10] باعتباره أن المركبات  $XZrS_3$  تتبلور في البنية المعينية القائمة ذات مجموعة الفضاء ( $Pnma$ ) المشابهة للبنية السوداء لـ  $CsSnI_3$  والبنية المكعبة ذات مجموعة الفضاء ( $Pm\bar{3}m$ ). البنى البلورية لمركبات البيرفسكايت  $XZrS_3$  موضحة في (الشكل III.1).



الشكل(1.III): التركيب البلوري للطوريين  $Pnma$  و  $Pm\bar{3}m$  للبيرفسكايت  $XZrS_3$

لتحديد الخواص البنوية بالقرب من التوازن لنظام معين يتميز بقيم مختلفة لثوابت الشبكة، نطبق معادلة

الحالة لـ ميرنخان *Murnaghan* [11] والتي تقدم كالتالي:

$$E(V) = E_0 + \frac{B}{B'(B'-1)} \left[ V \left( \frac{V_0}{V} \right)^{B'} - V_0 \right] + \frac{B}{B'} (V - V_0) \quad (1.III)$$

حيث تكون  $E_0$  ،  $B$  ،  $V_0$  ،  $B'$  على التوالي: الطاقة الكلية، حجم التوازن ، معامل الانضغاط، والمشقة الأولى لمعامل الانضغاط، ويعطى معامل الانضغاط بـ:

$$B = V \frac{\partial^2 B}{\partial V^2} \quad (2.III)$$

والمشقة الأولى لمعامل الانضغاط بالعلاقة:

$$B' = \left( \frac{\partial B}{\partial P} \right)_T \quad (3.III)$$

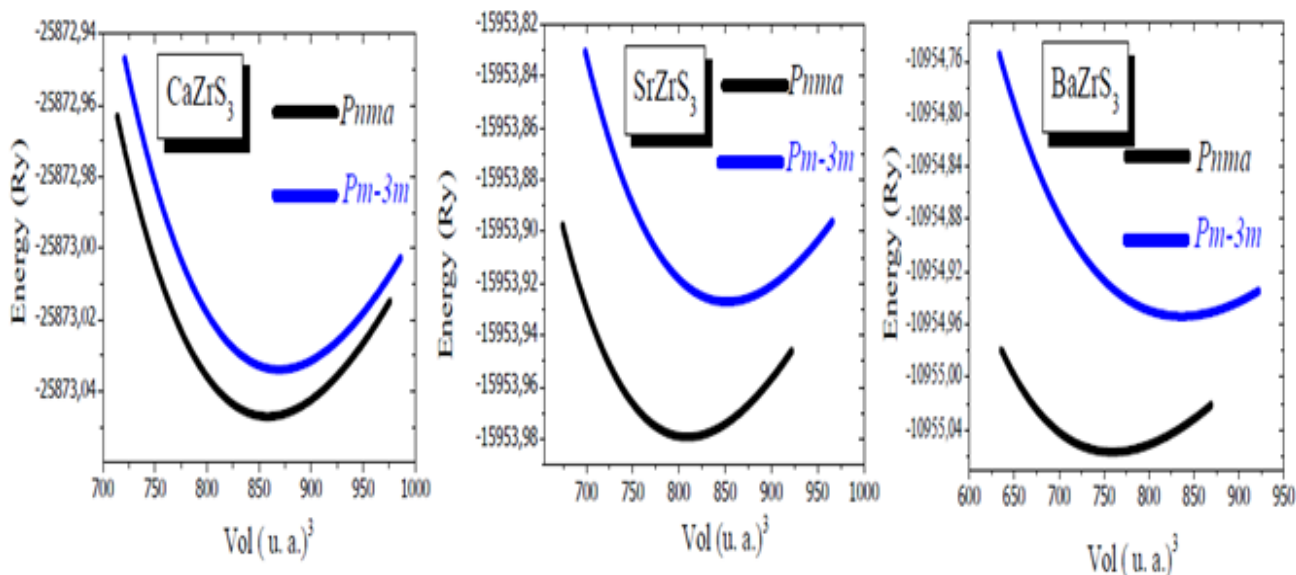
#### 1.4.III النتائج والمناقشات

تم حساب طاقات الحالة الأساسية كدالة لحجم الخلية  $V_0$  لكل من الطور المعيني القائم (*Pnma*) والمكعب (*Pm3m*) للمركيبات المدروسة، وتعرض نتائجنا في الشكل (2.III) وهذا بواسطة معادلات *Murnaghan* ، والتي سمحت بتحديد معاملات البنية البلورية في حالة التوازن статический والتي تشمل ثوابت الشبكة ( $a$ ،  $b$ ،  $c$  Å) ومعامل الانضغاطية  $B$  (GPa) ومشتقته الأولى بالنسبة للضغط  $B'$ . الجدول (2.III) يلخص النتائج المحصل عليها.

بمقارنة النتائج النظرية والتجريبية المتوفرة في المنشورات العلمية ونتائجنا لوحظ تطابق كبير وهذا في طريق الحساب (*PP-PW* و *FP-LAPW*) خاصة التجريبية منها [10، 12، 13، 14، 15] والمعطيات النظرية [16، 17، 18]. بالنسبة لثوابت الشبكة ( $a$ ،  $b$ ،  $c$  Å)، تشير نتائجنا إلى أن الطور *Pnma* للمركيبات  $XZrS_3$  في حالته الأساسية (الأكثر استقراراً)، و يمكن أيضاً ملاحظة أن الحجم  $V_0$  للطورين المعيني القائم (*Pnma*) والمكعب (*Pm-3m*) متزايد على طول التسلسل الذري  $Ca \rightarrow Sr \rightarrow Ba$  وبهذا الترتيب المتالي حيث:

( $X = Ca, Sr, Ba$ ) يتوافق هذا الأخير مع التزايد في نصف القطر الذري للذرات  $X$  على التوالي أي:  $r(Ca = 1.64\text{\AA}) < r(Sr = 1.72\text{\AA}) < r(Ba = 1.88\text{\AA})$  مشابه لسلوك المركبات  $RbMF_3$  [20]. كما يتضح من الجدول (2.III) أن نتائج معامل الانضغاط  $B$  للمركب  $BaZrS_3$  في الطور المكعب ( $Pm3m$ ) أعطت القيمة  $72.55 \text{ GPa}$  باستخدام طريقة الأمواج المستوية المتزايدة خطيا والكمون الكامل  $FP-LAPW$  وبالمقارنة مع القيمة  $69.34 \text{ GPa}$  باستخدام طريقة الأمواج المستوية والكمون الزائف  $PP-PW$ , وبالمقارنة مع قيمة بيلتشي وقال [21] (  $B = 150 \text{ GPa}$  ) *Bilić and Gale* نجد أن نتائجنا أقل بكثير من نتائج المرجع [21] ، ويرجع ذلك إلى إهمال الإلكترونات التكافؤ المشكّلة للباريوم  $Ba$  في المدارات  $5S^2$  و  $5p^6$ . بما أن  $B$  هو معيار لصلابة المادة، وكلما زادت قيمة  $B$  تصبح المادة أكثر صلابة. في حالتنا للمركبات المدروسة  $XZrS_3$  مشابهة لترتيب المركبات التالية :

$B(KAlO_3) > B(RbAlO_3) > B(CsAlO_3)$  المدروسة بنفس الترتيب.



الشكل (2.III) تغيرات الطاقة الكلية بدلالة الحجم لمركبات البيرفسكيات  $XZrS_3$

المركيات	الطريقة	<b>a</b> (Å)	<b>b</b> (Å)	<b>c</b> (Å)	<b>V<sub>0</sub></b>	<b>B</b>	<b>B'</b>
<b>BaZrS<sub>3</sub></b>							
Pnma	FP-LAPW	7.0598	9.9813	7.0250	495.0235	73.2240	4.1562
	PP-PW	7.1753	10.0570	7.0534	508.9873	123.4053	-
	Exp [10]	7.0599	9.9813	7.0251	495.0400	-	-
	[12]	7.0400	9.9800	7.0500	-	-	-
	Other [23]	7.0540	7.1550	10.0680	-	-	-
	[23]	7.1120	7.2990	10.1810	-	-	-
	[17]	7.0600	7.1600	10.0400	-	-	-
	[17]	7.0300	7.1200	10.0000	-	-	-
Pm-3m	FP-LAPW	5.0504	-	-	126,5060	72.5519	4.1477
	PP-PW	5.0211	-	-	128.3901	69.3380	
	Exp [12]	4.1920	-	-	-	-	-
	Other [17]	4.1950	-	-	-	-	-
	[22]	4.2420	-	-	-	-	-
	[24]	4.1980	-	-	-	-	-
	[23]	4.2340	-	-	-	-	-
	[23]	4.2070	-	-	-	150[21]	-
<b>CaZrS<sub>3</sub></b>							
Pnma	FP-LAPW	7.0856	9.6647	6.5588	449.1479	82.4513	4.1716
	PP-PW	7.0719	9.6611	6.5817	449.6771	105.7320	-
	Exp [10]	7.0300	9.5896	6.5366	440.66		
Pm-3m	FP-LAPW	4.9859	-	-	123.9455	75.3506	3.7145
	PP-PW	4.9801	-	-	123,5059	74.4015	
	Exp [14]	4.0200	-	-	-	-	-
	Exp [18]	4.1380	-	-	-	-	-

SrZrS <sub>3</sub>	Other [19]	4.0640	177.7000	-	-	-	-
Pnma	FP-LAPW	7.1474	9.8425	6.8046	478.6919	77.3524	4.1462
	PP-PW	7.1692	9.8362	6.7839	478.3849	101.9356	-
	Exp [10]	7.1085	9.7661	6.7350	467.5600	-	-
	Other [17]	6.7900	7.1600	9.8400	-	-	-
	[17]	6.7500	7.1300	9.7900	-	-	-
Pm-3m	FP-LAPW	5.0163	-	-	126.2265	73.4956	3.9978
	PP-PW	5.0085	-	-	125.6385	71.1959	

الجدول(2.III): ثوابت الشبكة ( $a$  Å،  $b$  Å،  $c$  Å)، معامل الانضغاط  $B$  (GPa) ومشتقه الأولى

للبير فسكايت  $XZrS_3$  للطوريين  $Pnma$  و  $Pm3m$  مقارنة بالقيم التجريبية والنظرية المتاحة

### 5.III الخواص الإلكترونية

في فيزياء الحالة الصلبة، عصابات الطاقة تعطي الطاقات الممكنة للإلكترون بالتزامن مع شعاع الموجة  $k$  و بشكل عام لا تملك هذه الإلكترونات سوى إمكانية أخذ قيم الطاقة المدرجة في فوائل زمنية معينة والتي يتم فصلها بواسطة "عصابات" الطاقة الممنوعة (الفجوات)، وبالتالي يتم تمثيل هذه العصابات في الفضاء المتبادل وهذا وصف مبسط نظراً لاختلافات في الطاقة  $E$  و دالة الموجة  $k$ ، والتي تتحصر في منطقة بريليون  $ZB$  الأولى فقط ، وفقاً لاتجاهات التناظر العالي لهذا الفضاء .

بالنسبة للخواص الإلكترونية يتم إجراء الحسابات بطرificines:

1. الأمواج المستوية المتزايدة خطياً والكمون الكامل  $FP-LAPW$  في تقريرات التدرج المعمم :

$$GGA + U \text{ و } GGA-EV, GGA-PBE$$

2. الأمواج المستوية والكمون الزائف  $PP-PW$  في التقريرات :  $GGA-WC$ ،  $GGA-PBE$

للمكونات التبادل و الارتباط  $GGA-Sol$

## III. 1.5 النتائج و المناقشة

## III. 1.1.5 بنية عصابات الطاقة الإلكترونية

هنا سنقدم ونناقش عصابات الطاقة والكثافة الإجمالية للمركبات  $XZrS_3$  مع تحديد الطبيعة الإلكترونية لها، و مساهمة كل إلكترونات المدارات الذرية في المجال الطaci من -12 إلى 6 إلكترون فولت.

الشكل (3.III) يمثل نقاط التناظر العالي في منطقة بريلوان الأولى للبنيتين وتعطى إحداثياتهما بـ :

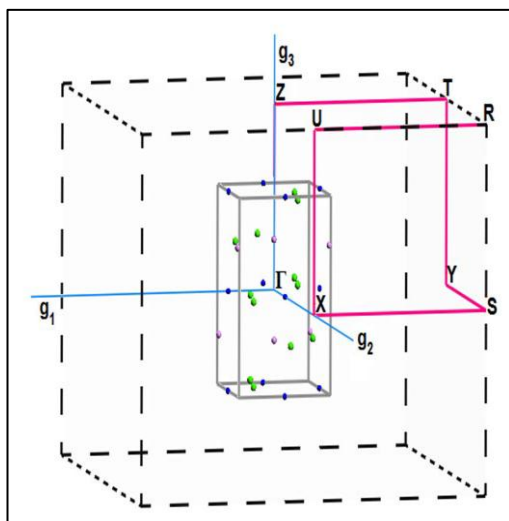
(أ) المكعب :  $R(0\ 0\ 0)$  ،  $\Gamma(0\ 0\ 0)$  ،  $M(0.5\ 0.5\ 0)$  ،  $X(0.5\ 0\ 0)$

(ب) المعينية القائمة:  $S(-0.5\ 0.5\ 0)$  ،  $T(-0.5\ 0\ 0.5)$  ،  $Z(0\ 0\ 0.5)$  ،  $\Gamma(0\ 0\ 0.5)$

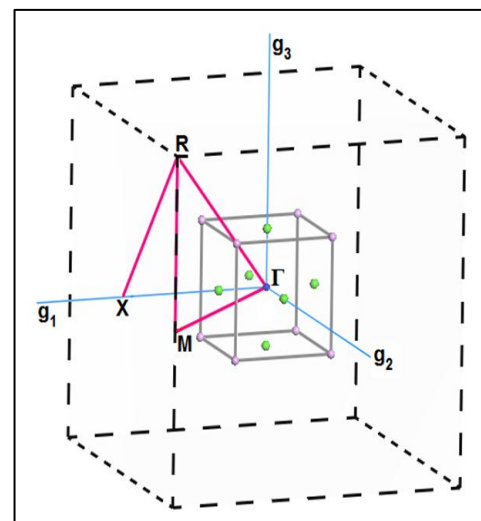
على الترتيب، والمعبر عنها بالوحدات  $a/\pi$  في

فضاء الشبكة المعاكسة.

(ب)



(أ)



الشكل (3.III) تمثيل النقاط عالية التناظر للبنيتين  $Pm3m$  (أ) و  $Pnma$  (ب) في منطقة بريلوان

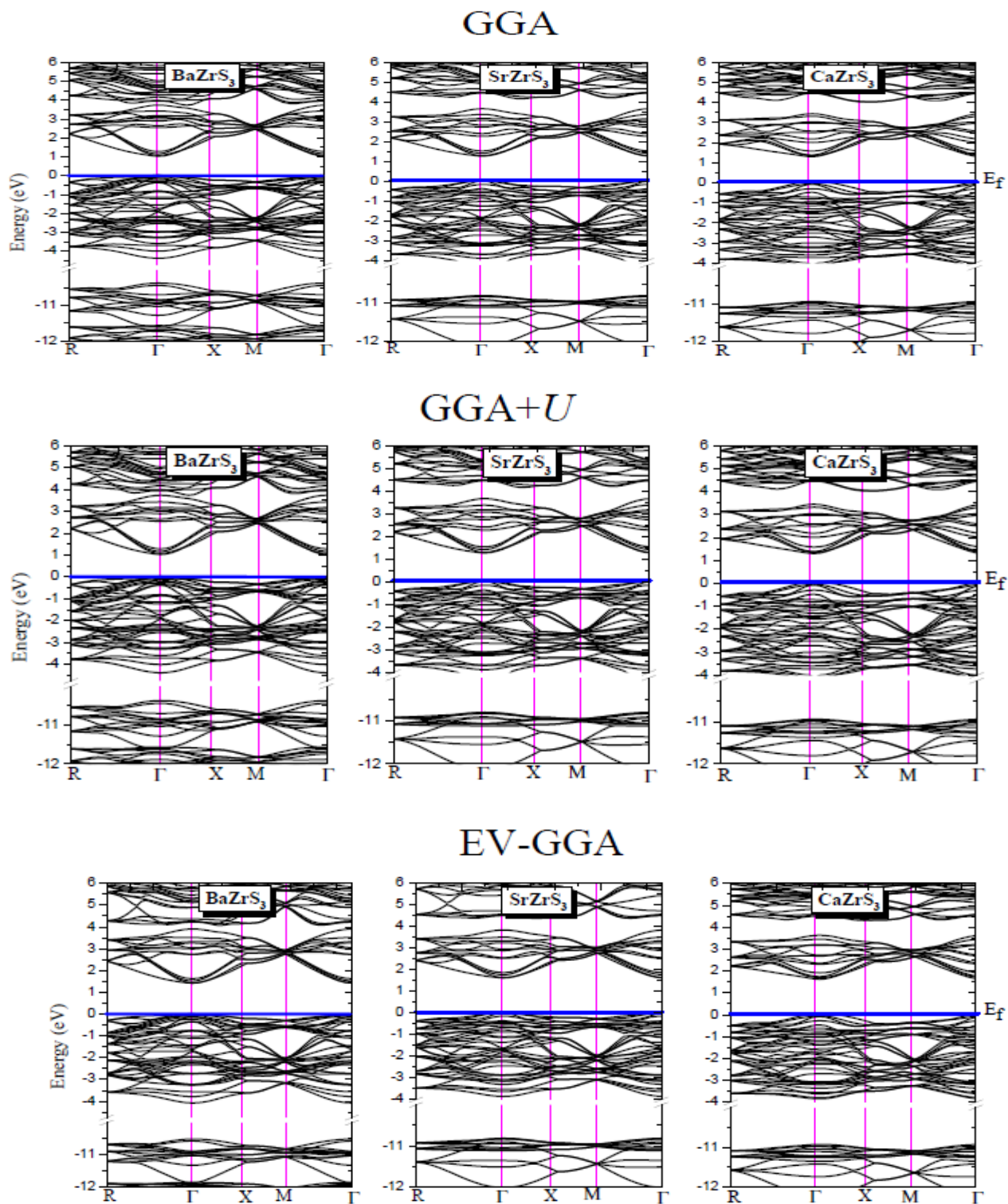
الأولى ( $g_1, g_2$  و  $g_3$ ) هي أشعه الشبكة العكسية

يوضح الشكلان (4.III, 5.III) على التوالي عصابة الطاقة لاتجاهات عالية التناظر في منطقة بريلوان الأولى المتسبة ذاتيا وكثافة حالات مركبات البيرفسكايت  $XZrS_3$  في كل من الطورين المكعب والمعيني القائم. النتائج المحصل عليها والخاصة ببنية العصب وكثافة الحالات تمت باستخدام طريقة الأمواج

المستوية المتزايدة خطياً والكمون الكامل  $FP-LAPW$ ، و التي تشبه إلى حد كبير تلك المحسوبة بطريقة الأمواج المستوية والكمون الزائف  $PP-PW$  مع اختلاف ضئيل يمكن إهماله اعتماداً على تناظر الشبكة. يتم تنفيذ مسارات التكامل  $\Gamma-X-M-\Gamma-R$  وذلك لمعالجة بنية العصابة لكل من الطورين المعينين، أي المعيني القائم والمكعب.

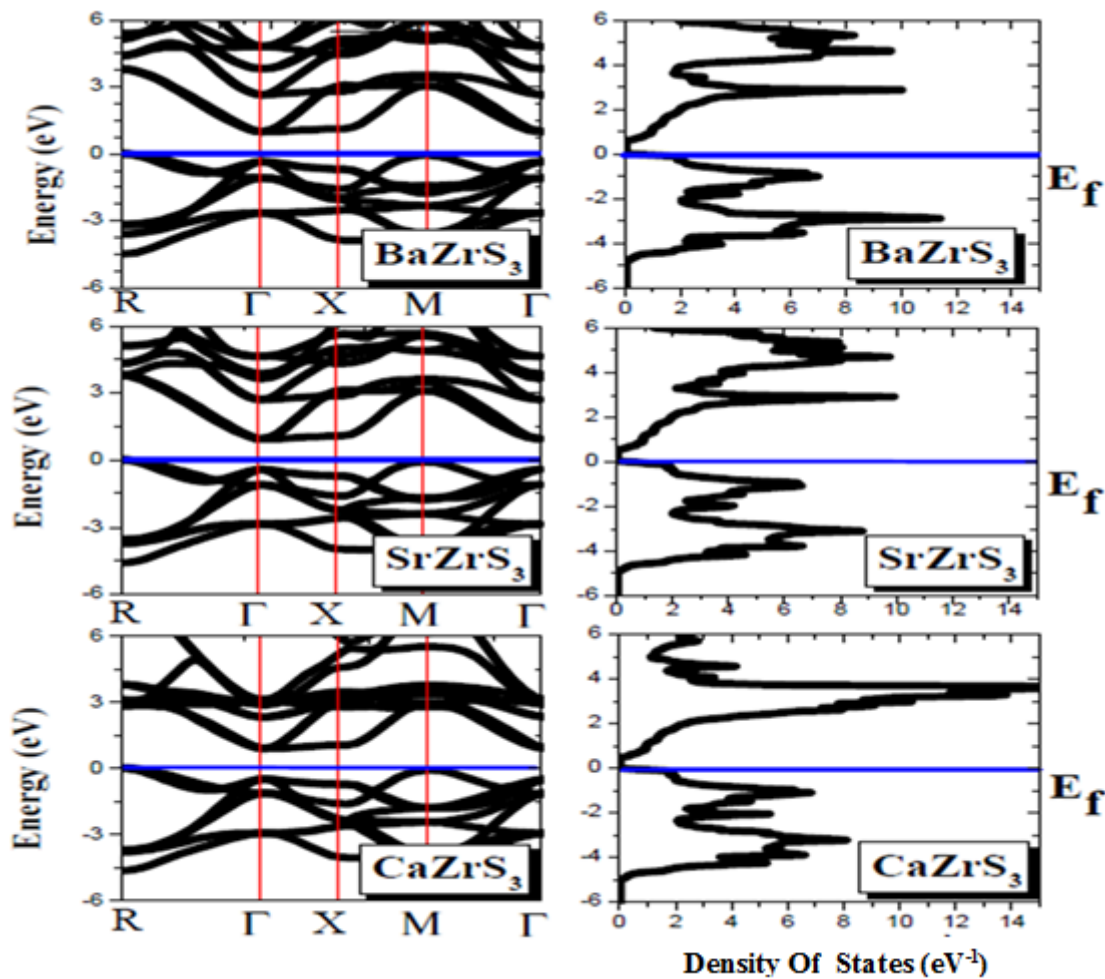
بالنسبة للطور المعيني القائم ، يحدث كلاً من الحد الأقصى لعصبة التكافؤ  $VBM$  والحد الأدنى لعصبة النقل  $CBM$  عند نقطة التناظر العالي  $\Gamma$  في منطقة بريلوان، وبالتالي المواد المدروسة هي أنصاف نوافل ذات فجوة عصبية مباشرة، وفي ما يتعلق بالطور المكعب يحدث  $VBM$  عند النقطة  $R$  ويوجد  $CBM$  عند النقطة  $\Gamma$ . لذلك فإن المواد المذكورة هي أنصاف نوافل ذات فجوة عصبية غير مباشرة. يبدو أن فجوة عصابات الطاقة المحسوبة الواردة في الجدول (3.III) للطور المعيني القائم قد تم تقديرها ومقارنتها بتلك التجريبية البالغة  $1.8 [21]$  ،  $2.13 [21]$  و  $1.9 [21]$  eV المبلغ عنها في المركبات  $CaZrS_3$  و  $SrZrS_3$  ،  $BaZrS_3$  على التوالي.

تجدر الإشارة إلى أنه تم حساب فجوات عصب الطاقة لجميع المركبات المدروسة بشكل أفضل (مقارنة بالتجربة) عند استخدام تقرير  $GGA-EV$ ، و التي أعطت قيمة أكبر بكثير من تلك الموجودة في العمل الحالي لمعظم الحالات. مع العلم أن استخدام تقرير  $GGA-EV$  يسمح بحساب أفضل لعصابات الطاقة الممنوعة، و يرجع الاختلاف في نتائجنا فيما يتعلق بالتجربة إلى استخدام تقرير التدرج المعمم  $GGA$  والذي يُعرف بأنه يقلل من الفجوات في عصب الطاقة فيما يتعلق بالتجربة.



الشكل (4.III) بنية عصابة الطاقة لاتجاهات عالية التناول في منطقة بريلوان للطور  $Pnma$  لمركبات

البيرفسكait  $X\text{ZrS}_3$



الشكل (5.III) بنية عصابة الطاقة والكثافة الكلية للبنية  $Pm\bar{3}m$  للبيروفسكايت  $XZrS_3$  باستخدام

$PBE-GGA$  تقرير

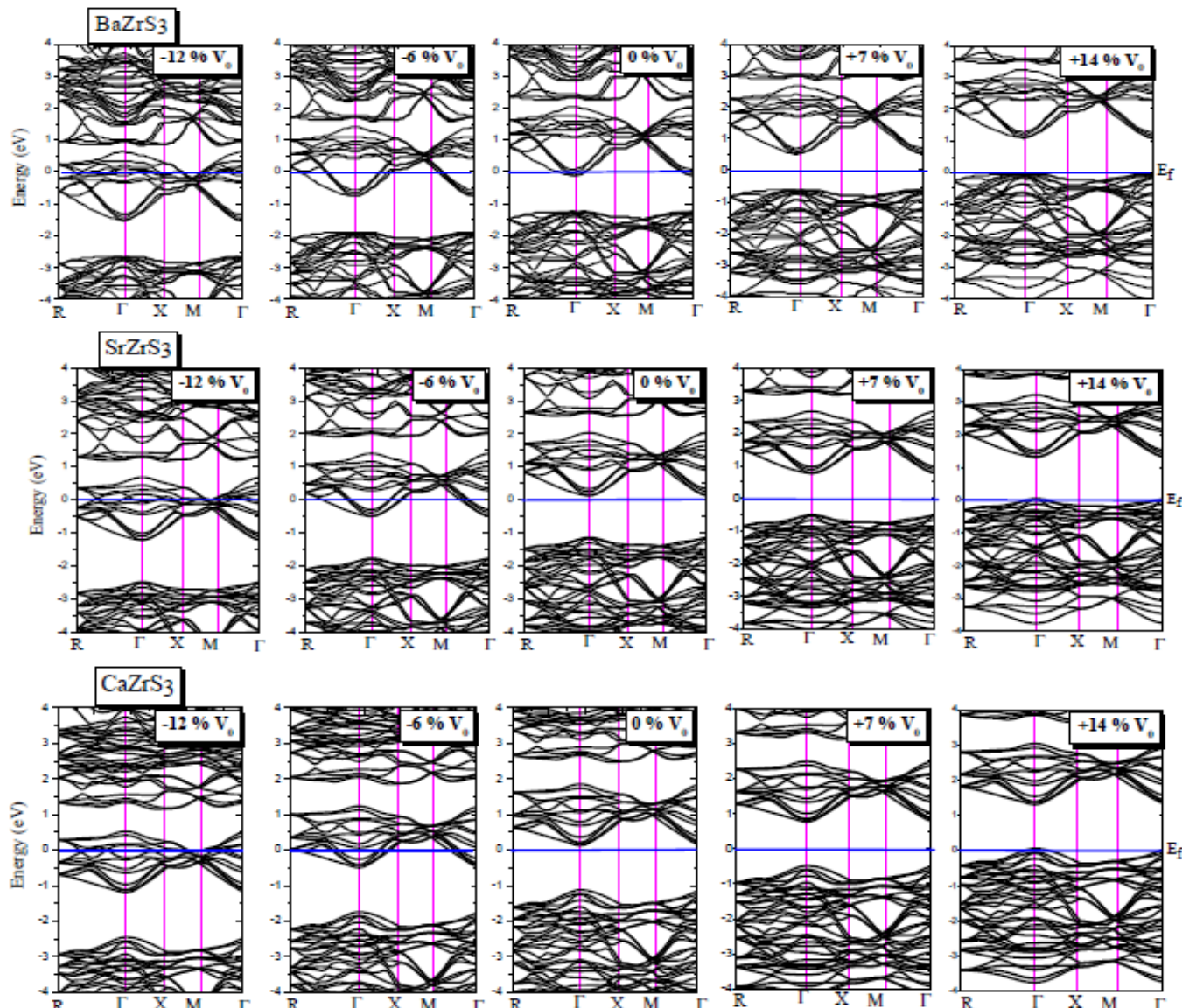
المركيبات	هذا العمل بـ (FP-LAPW)			هذا العمل بـ (PP-PW)			Exp	Other
	GGA-PBE	GGA-EV	GGA+ U	GGA-PBE	GGA-Sol	GGA-WC		
<b>BaZrS<sub>3</sub></b>								
(Pnma )	1.0510	1.4240	1.0630	1.2020	1.1090	1.1170	1.8 [12]	1.02[17]
							1.8 [21]	1.82[14]
								1.7[15]
								2.34[18]
								2.25[19]
(Pm-3m)	0.5530	0.9960	0.5480	0.5540	0.4250	0.5450	-	-
<b>CaZrS<sub>3</sub></b>								
(Pnma )	1.3110	1.6370	1.3620	1.3030	1.1770	1.1850	1.90[12]	2.48[17]
								2.48[19]
(Pm-3m)	0.4460	0.8990	0.4690	0.4240	0.2880	0.3250	-	-
<b>SrZrS<sub>3</sub></b>								
(Pnma )	1.2680	1.6170	1.2880	1.2800	1.1510	1.1600	2.13[12]	2.04[21]
								2.50[14]
								2.50[19]
(Pm-3m)	0.4920	0.9750	0.4920	0.4920	0.3830	0.4000	-	-

الجدول (3.III): مجال عصابة الطاقة المحسوبة للطوريتين *Pm3m* و *Pnma* للبيرفسكait *XZrS<sub>3</sub>*

III.2.1.5. تأثير الضغط (الحجم  $V_0$ ) على بنية عصابة الطاقة

بعد حساب فجوات عصب الطاقة لجميع المركبات المدروسة ، وفي الوقت نفسه تم حساب البنية الإلكترونية مقابل الضغط والمرسومة في الشكل (6.III). يلاحظ التغير الواضح لموضع مستوى فيرمي من جهة ، و من جهة أخرى انحفاظ طبيعة أنصاف النواقل لكل بنية في مجال تغيير الضغط من

.٪ 0 إلى ٪ 14

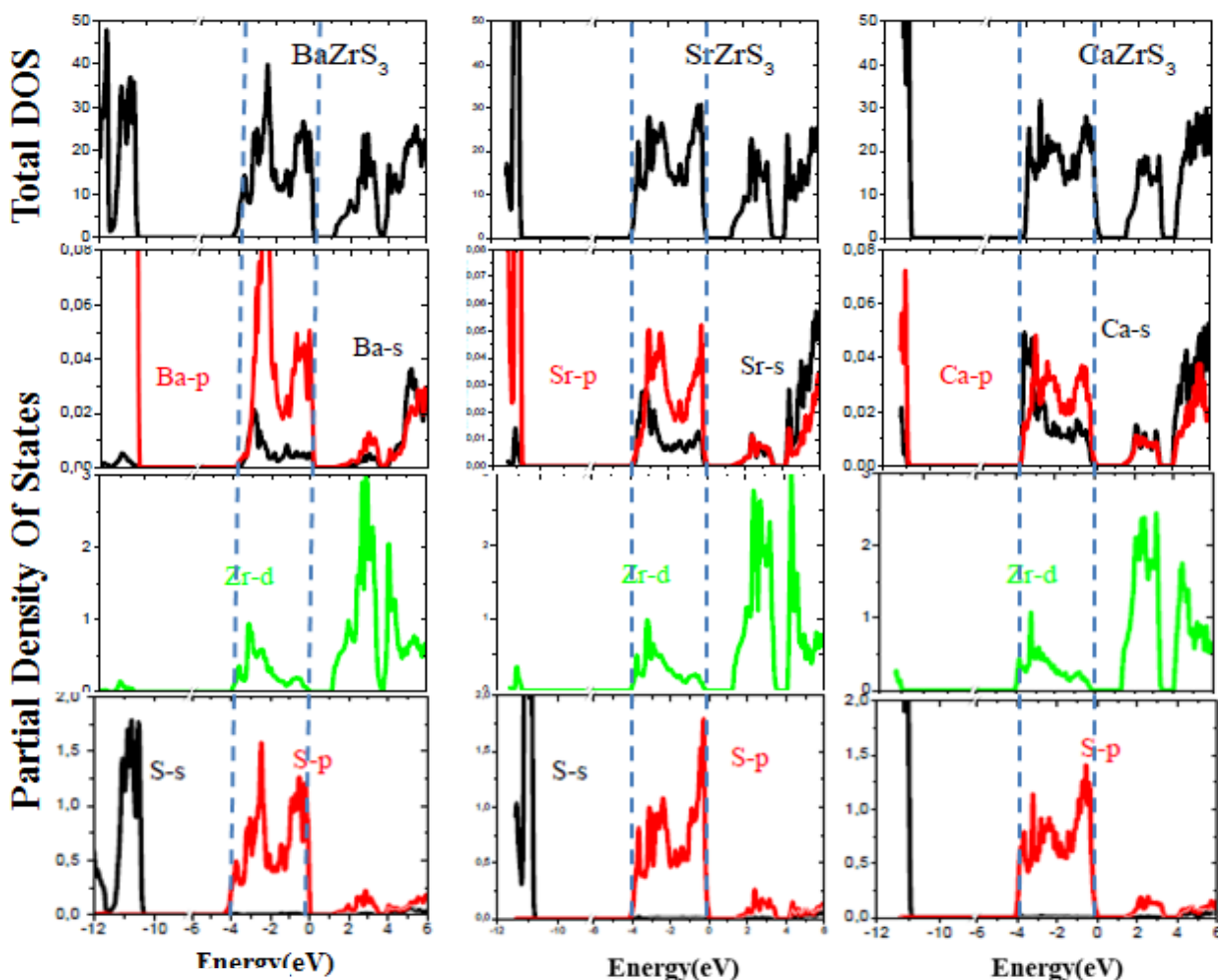


الشكل (6.III) تأثير الضغط على بنية عصابة الطاقة المحسوبة في البنية  $Pnma$  باستخدام تقرير

$XZrS_3$  لمركبات البيرفسكيت  $PBE-GGA$

### 3.1.5.III كثافة الحالات الكلية و الجزئية $PDOS / TDOS$

تم توضيح طبيعة بنية عصابة الطاقة الإلكترونية من خلال حساب الكثافة الكلية والجزئية للحالة  $DOS$  الخاصة بالمركبات  $BaZrS_3$ ،  $SrZrS_3$  و  $CaZrS_3$  لمجال تغير الطاقة بين 6-12 eV (الشكل 7.III). يلاحظ من الشكل (7.III) أن الخصائص العامة لـ  $DOS$  لجميع المركبات متشابهة من حيث الطاقات المنخفضة. ففي الحالات القلبية تعود المساهمة الرئيسية إلى التهجين على المدارات الإلكترونية المختلطة  $X-p$  و  $S-s$ . أما عصابات التكافؤ فتتوارد في المجال (من 4-0 eV) لعصب الطاقة حيث تكون الحالات المختلطة  $S-p$  و  $X-p$  هي السائدة، ويلاحظ أن عصابة النقل أكبر من مستوى فيرمي (0 eV) الذي يتكون بشكل أساسي من الحالات  $X-s$  و  $Zr-d$ .



الشكل (7.III) كثافة الحالات الكلية والجزئية للبنية  $Pnma$  باستخدام تقرير  $PBE-GGA$  لمركبات البيرفسكايت  $XZrS_3$

### III.6. الخواص الترموديناميكية

يسمح تحديد الخواص الديناميكية الحرارية من ناحية التقدم على فهم وتوقع سلوكيات المواد الحالية أو الجديدة (الثبات الكيميائي، الحراري، والسلوك الميكانيكي، المراحل والبني المجهرية ...) ومن ناحية أخرى توفير البيانات الأساسية لتحسين عمليات حفظ المواد، وتحليل سلوكها المستقبلي في بيئتها.

تم فحص الخواص الديناميكية الحرارية لمركبات البيروفسكايت  $XZrS_3$  تحت ضغط عالٍ وفي درجات حرارة عالية. لذلك طبقنا التقرير شبه التوافقى ديباي *Debye*. بدأنا بحساب الطاقة الكلية كدالة لحجم الخلية الأولية ( $E-V$ ) عند السكون، وبعد ذلك يتم ضبط البيانات التي تم الحصول عليها باستخدام معادلة الحالة  $EOS$ ، وهذا من أجل الحصول على الثوابت البنوية عند الضغط ودرجة الحرارة الصفرتين واستنتاج الخصائص العيانية كدالة للضغط ودرجة الحرارة باستخدام العلاقات الديناميكية الحرارية القياسية.

### 1.6.III النتائج و المناقشة

لدراسة الخصائص الديناميكية الحرارية لمركبات البيروفسكايت  $XZrS_3$  ، تم تطبيق نموذج ديباي شبه التوافقى [25]. في هذا النموذج ، يتم التعبير عن دالة جيبس غير المتوازنة  $(V, P, T) * G$  على النحو التالي:

$$G^*(V, P, T) = E(V) + P_V + A_{vib}[\theta(V), T] \quad (4.III)$$

حيث  $E(V)$  هي إجمالي الطاقة لكل خلية أولية ،  $PV$  هي حالة الضغط الهيدروستاتيكي الثابت ،  $\theta(V)$  درجة حرارة ديباي، و  $A_{vib}$  هو مصطلح اهتزازي يمكن كتابته باستخدام نموذج ديباي الخاص بكثافة حالات الفونون  $phonon$  كـ [26] بـ :

$$A_{vib}(\theta, T) = nkT \left[ \frac{9\theta}{8T} + 3 \ln(1 - e^{-\theta/T}) - D(\theta/T) \right] \quad (5.III)$$

حيث  $n$  هو عدد ذرات الخلية الأولية ،  $D(\theta/T)$  هو تكامل ديباي للحصول على مادة صلبة الخواص

و تعطى ك [27].

$$\theta_D = \hbar [6\pi^2 V^{1/2} n]^{1/3} f(\rho) \sqrt{\frac{B_S}{M k_B^2}} \quad (6.III)$$

حيث  $M$  هي الكتلة المولية لكل خلية أولية، و  $B_S$  معامل الكتلة الأديبياتيكي. يتم تقريب هذا الأخير من الانضغاطية الساكنة ك [26]:

$$B_S \cong B(V) = V \frac{d^2 E(V)}{dV^2} \quad (7.III)$$

$f(\rho)$  في العلاقة (6.III) ورد في المراجع [27 ، 28]. معامل بواسون  $\nu$  يأخذ القيمة 0.25 [29]. ذلك دالة جيبس خارج التوازن ( $V, P, T$ ) تم تصغيرها بدلالة الحجم  $V$  كما يلي:

$$\left[ \frac{\partial G^*(V, P, T)}{\partial V} \right]_{P, T} = 0 \quad (8.III)$$

عند حل المعادلة (8.III) يمكن الحصول على معادلة الحالة الحرارية للدواال ( $EOS$ ).

تعطى السعة الحرارية  $C_V$  ، ومعامل التمدد الحراري  $\alpha$  بواسطة [30، 31] كالتالي:

$$C_V = 3nk \left[ 4D \left( \frac{\theta}{T} \right) - \frac{3\theta/T}{e^{\theta/T} - 1} \right] \quad (9.III)$$

$$S = nk \left[ 4D \left( \frac{\theta}{T} \right) - 3\ln(1 - e^{-\theta/T}) \right] \quad (10.III)$$

$$\alpha = \frac{\gamma C_V}{B_T V} \quad (11.III)$$

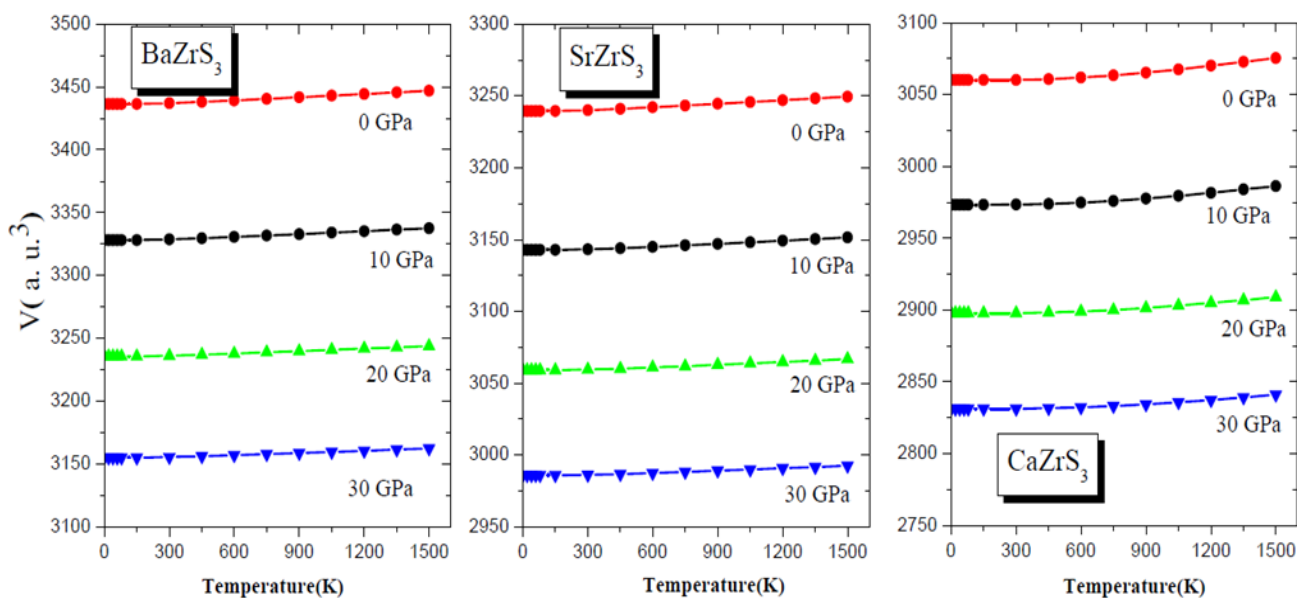
حيث  $\gamma$  هو ثابت قريينز *Grüneisen* المعروف على النحو التالي:

$$\gamma = - \frac{d \ln \theta(V)}{d \ln V} \quad (12.III)$$

يتيح النموذج شبه التوافقى لدببى حساب الكميات الديناميكية الحرارية فى جميع درجات الحرارة  $P = 0$  و  $T = 0$  والضغط للمركبات  $XZrS_3$ . من البيانات  $E-V$  التي تم الحصول عليها لما يتم حساب التباين الثابت في الشبكة، معامل الانضغاطية  $B$  ، السعة الحرارية  $C_V$  ، درجة حرارة  $Debye$  ومعامل التمدد الحراري  $\alpha$  كدالة للضغط في المجال من 0 إلى 30  $GPa$ ، ودرجات الحرارة من 0 إلى 1500  $K$ . تظهر نتائجنا أن التأثيرات الخارجية مثل درجة الحرارة والضغط فعالة جدًا، و يمكن التحكم في بعض الخواص الحركية للمركبات  $[32] SrZrS_3, CaZrS_3, BaZrS_3$ .

### 1.1.6.III تغيرات الحجم بدلالة درجة الحرارة

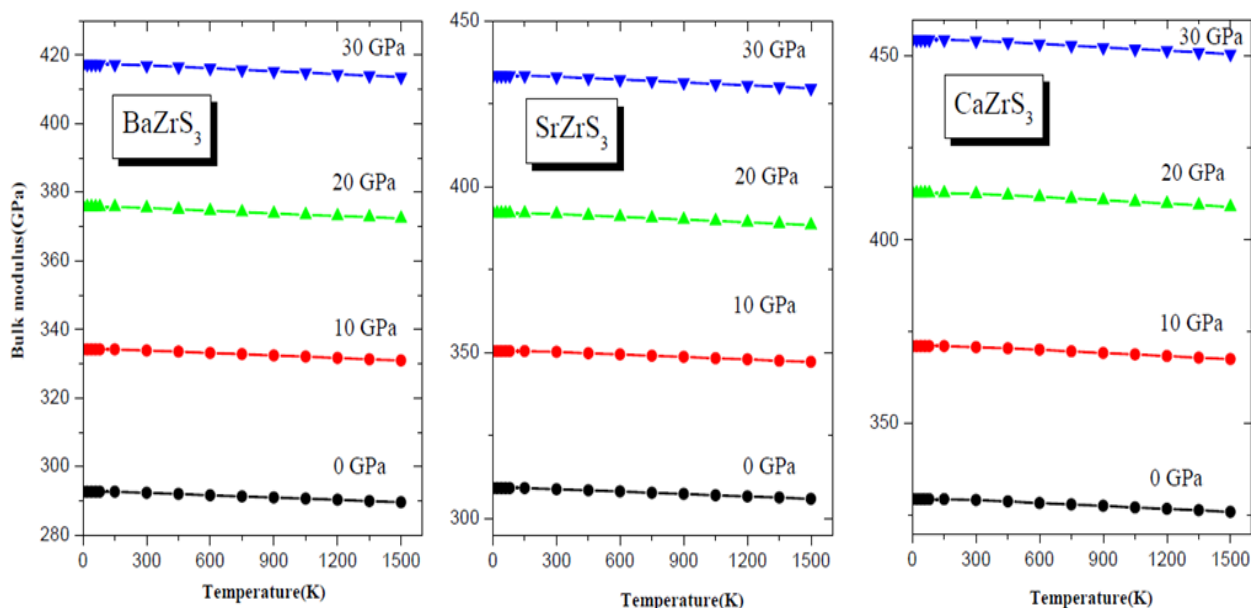
يوضح الشكل (8.III) الرسوم البيانية لحجم وحدة الخلية ( $V$ ) عند ضغوط مختلفة بدلالة درجات حرارة مختلفة ( $K$ ) عند ضغط ثابت لمركبات البيرفسكait  $BaZrS_3$  (0, 300, 600, 900, 1200, 1500  $K$ )  $CaZrS_3$  و  $SrZrS_3$  . يلاحظ من ناحية أنه عند ضغط معين. يزداد ثابت الشبكة خطياً و ببطيء بزيادة درجة الحرارة، ومن ناحية أخرى عند درجة حرارة معينة يتلاقص ثابت الشبكة مع زيادة الضغط. في هذا العمل نجد أن الحجم المحسوبة للمركبات  $BaZrS_3$ ،  $SrZrS_3$  و  $CaZrS_3$  عند الضغط صفر ودرجة حرارة الغرفة ( $T = 300K$ ) هي على التوالى  $453.47$ ،  $480.18$  و  $509.31$   $\text{\AA}^3$  .



الشكل (8.III) تغيرات الحجم بدلالة درجة الحرارة عند ضغوط مختلفة لمركبات البيرفسكait  $XZrS_3$

### 2.1.6.III تغيرات معامل الانضغاط $B$ بدلالة درجة الحرارة

يوضح الشكل (9.III) تطور معامل الانضغاط (الكتلة) *Bulk modulus* كدالة لدرجة الحرارة عند ضغوط مختلفة، محصورة بين 0 و 30 GPa. نلاحظ أن معامل الانضغاط  $B$  يتغير تقريباً بشكل خطى مع درجة الحرارة لجميع الضغوط المأكولة، حيث تنخفض الرتبة ببطء شديد عند زيادة درجة الحرارة ( $T > 100 K$ )، و في درجة الحرارة المنخفضة ( $T \leq 100 K$ ) و عند ضغط معين يبقى  $B$  ثابت. أعطت حساباتنا لمعامل الانضغاط  $B$  عند الشروط ( $P=0, T=300K$ ) قيمًا 308.86 ، 292.33 و 329.16 GPa لمركبات  $\text{CaZrS}_3$  و  $\text{SrZrS}_3$  و  $\text{BaZrS}_3$  على التوالي.



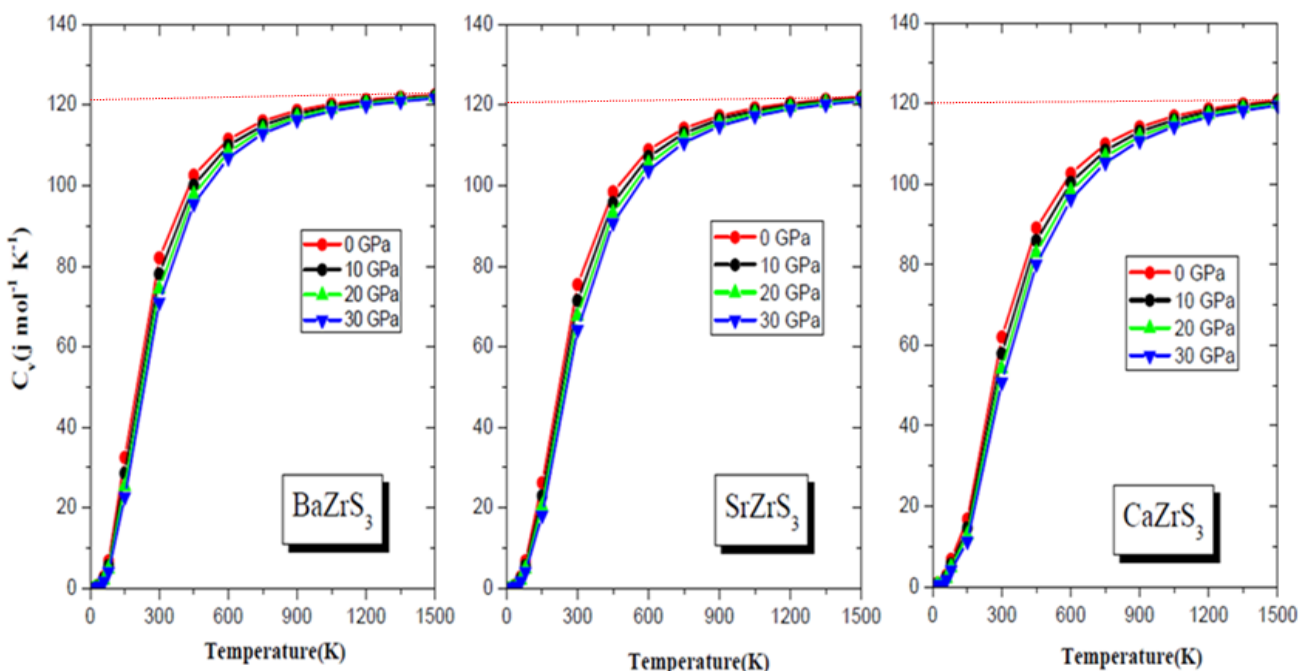
الشكل (9.III) تغيرات معامل الانضغاط  $B$  بدلالة درجة الحرارة عند ضغوط مختلفة لمركبات

### XZrS<sub>3</sub> البيرفسكيت

### 3.1.6.III تغيرات السعة الحرارية $C_V$ بدلالة درجة الحرارة

يوضح الشكل (10.III) تطور السعة الحرارية  $C_V$  عند حجم ثابت كدالة لدرجة الحرارة عند ضغوط مختلفة محصورة بين 0 و 30 GPa لمركبات البيرفسكيت  $\text{CaZrS}_3$  و  $\text{SrZrS}_3$  و  $\text{BaZrS}_3$ . يظهر جلياً أن السلوك سريع في درجات الحرارة المنخفضة، ولكنه يصبح بطئاً في درجات الحرارة المرتفعة. حيث في درجات الحرارة الأقل من  $K = 900$  تزداد السعة الحرارية  $C_V$  بسرعة كبيرة مع تزايد

درجة الحرارة ، أي تخضع للقانون  $T^3 \sim C_V$ ، المبرهن تجريبيا عند درجات الحرارة المنخفضة ثم تباطأ سرعتها تدريجيا في درجات الحرارة العالية، وتقترب السعة الحرارية من القيمة 121.94، 120.92، 120.17 و 119.8 J.mol<sup>-1</sup>K<sup>-1</sup> للمركبات CaZrS<sub>3</sub>، SrZrS<sub>3</sub> و BaZrS<sub>3</sub> على الترتيب، وهذا السلوك معروف في جميع المواد الصلبة. كما يتضح أن هذا المتغير يعتمد على الضغط أي تزداد السعة الحرارية بتناقص الضغط، و عند الضغط المعدوم و درجة الحرارة K 300 تأخذ السعة الحرارية القيمة 75.38 و 61.98 و 58.81 J.mol<sup>-1</sup>K<sup>-1</sup> للمركبات CaZrS<sub>3</sub>، BaZrS<sub>3</sub> و SrZrS<sub>3</sub> على التوالي.



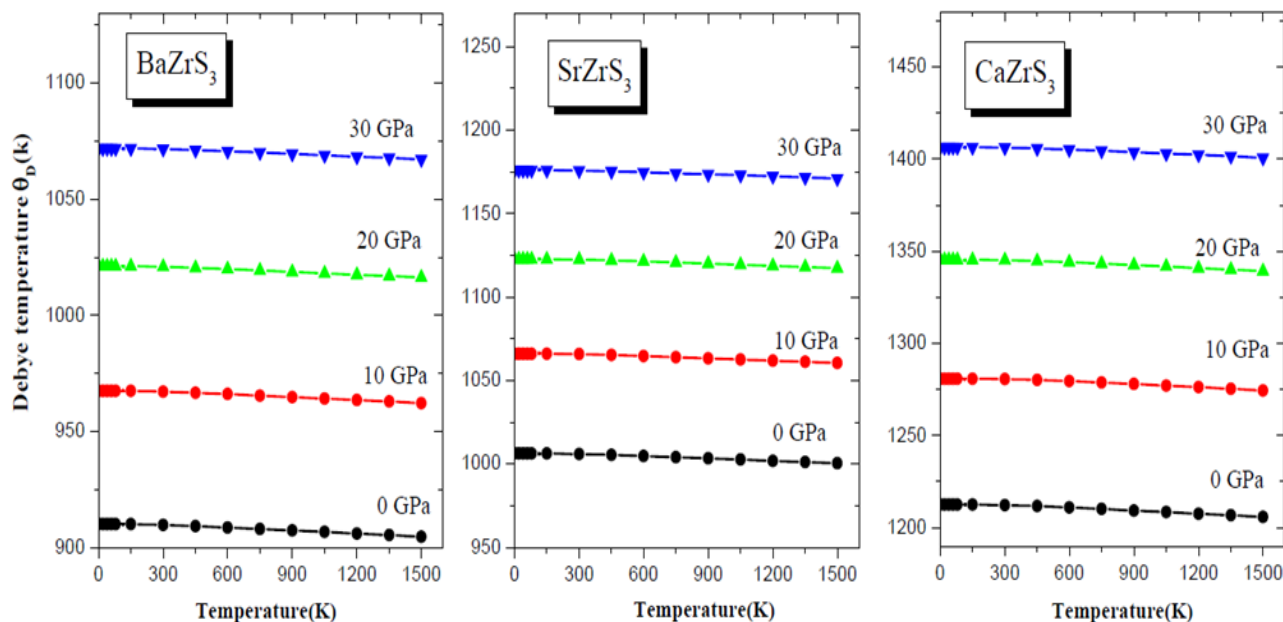
الشكل (10.III) تغيرات السعة الحرارية  $C_V$  بدلالة درجة الحرارة عند ضغوط مختلفة لمركبات

#### البيروفسكايت $XZrS_3$

##### 4.1.6.III تغيرات درجة حرارة ديباي ( $\theta_D$ ) بدلالة درجة الحرارة

من أجل عكس درجة الحرارة المعتمدة على الحجم، يتم حساب درجة حرارة ديباي باستخدام تقريره الشبه توافقي. يوضح الشكل (11.III) تغيرات درجة حرارة ديباي ( $\theta_D$ ) بدلالة درجة الحرارة عند ضغوط

مختلفة محصورة بين 0 و 30 GPa للمركبات  $SrZrS_3$ ،  $BaZrS_3$  و  $CaZrS_3$  على الترتيب. يلاحظ أن درجة حرارة ديباي لجميع المركبات المدروسة تعلقها ضعيفاً بدرجات الحرارة الأقل من  $K 100$  (ثابتة)، ثم تتناقص تدريجياً وببطيء عند درجات الحرارة العالية، وعند درجة حرارة ثابتة تزيد ( $\theta_D$ ) بزيادة الضغط المطبق، و تعطى قيم درجة حرارة ديباي ( $\theta_D$ ) للمركبات المعنية عند درجة الحرارة  $300K$  و الضغط المعادوم (GPa 0) مساوية إلى 905، 1007.14 و  $K 1212.5$  على الترتيب، ومن جهة أخرى تتحفظ درجة حرارة ديباي مع زيادة العدد الذري لـ  $X$  حيث ( $X = Ba, Sr, Ca$ ) بهذا الترتيب.



الشكل (11.III) تغيرات درجة حرارة ديباي ( $\theta_D$ ) بدلالة درجة الحرارة عند ضغوط مختلفة لمركبات

### $XZrS_3$ البيرفسكait

#### 5.1.6.III تغيرات معامل التمدد الحراري $\alpha$ بدلالة درجة الحرارة

الشكل (12.III) يوضح تغيرات معامل التمدد الحراري  $\alpha$  بدلالة درجة الحرارة لمركبات البيرفسكait  $XZrS_3$  عند ضغوط مختلفة تتراوح بين 0 و 30 GPa. من الواضح أن معامل التمدد الحراري  $\alpha$  يزداد بسرعة كبيرة إلى غاية درجة حرارة أقل من  $K 600$ ، ثم تباطأ سرعته عند درجات الحرارة العالية

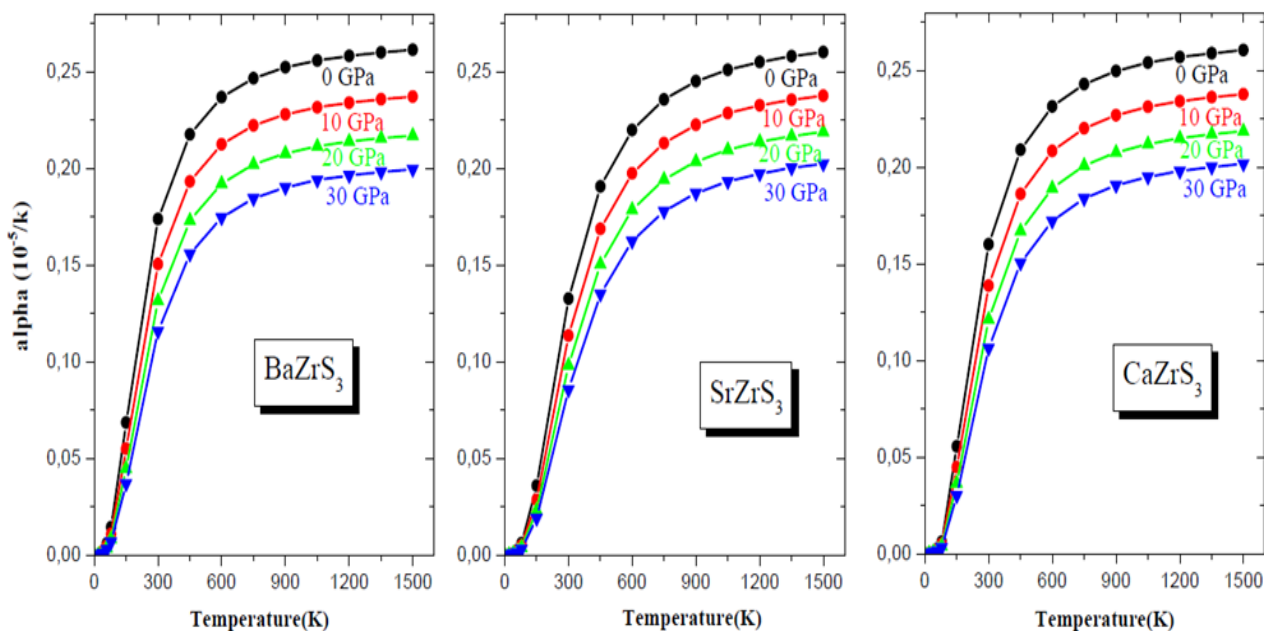
ويزداد بانخفاض الضغط عند درجة الحرارة الثابتة، بينما تظل القيمة  $\alpha$  تقريباً ثابتة عند درجات

الحرارة العالية ( $T > 1500 K$ ) أي أن تعلق  $\alpha$  ضعيفاً، وعنده الشروط :

$BaZrS_3$  تكون قيم معامل التمدد الحراري  $\alpha$  للمركبات ( $T = 300 K$  و  $P = 0 GPa$ )

على  $0.17 \times 10^{-5} K^{-1}$  متساوية إلى  $0.13 \times 10^{-5}$  و  $0.16 \times 10^{-5}$  على  $CaZrS_3$  و  $SrZrS_3$

التالي.



الشكل (12.III) تغيرات معامل التمدد الحراري  $\alpha$  بدلالة درجة الحرارة عند ضغوط مختلفة لمركبات

البيرفسكايتس  $XZrS_3$

## المراجع

- [1] P. Blaha, K. Schwarz, G. K. H. Madsen, D. Kvasnicka, J. Luitz " An Augmented Plane Wave +Local orbitals program for calculating crystal properties " .ISBN 3-9501031-1-2 (2001).
- [2] J. P. Perdew, S. Burke, M. Ernzerhof. Phys. Rev. Lett. 77 (1996) 3865.
- [3] E. Engel, S. H. Vosko, Phys. B 47 (1993) 1316.
- [4] C. Loschen, J. Carrasco, K. M. Neyman and F. Illas, Phys. B 75 (2007) 035115.
- [5] D. Vanderbilt, Phys. B 41 (1990) 7892.
- [6] J. P. Perdew, A. Ruzsinszky, G. I. Csonka, O. A. Vydrov, G. E. Scuseria, L. A. Constantin, X. Zhou, and K. Burke, Phys. 100 (2008) 136406.
- [7] Z. Wu, R. E. Cohen, Phys. Rev. B 73 (2006) 235116.
- [8] M. D. Segall, P. J. D. Lindan, M. J. Probert, C. J. Pickard, P. J. Hasnip, S. J. Clark, M. C. Payne, J. Phys: Condens. Matter 14 (2002) 2717.
- [9] T. H. Fischer, J. Almlöf, J. Phys. Chem. 96 (1992) 9768.
- [10] R. Lelieveld and D. J. W. Ijdo, ActaCryst. B 36 (1980) 2223-2226.
- [11] F. D. Murnaghan, Proc. Natl. Acad. Sci. USA 30 (1944) 382-4.
- [12] S. Perera, H. Hui, C. Zhao, H. Xue, F. Sun, C. D. N. Gross, C. Milleville, X. Xu, D. F. Watson, B. Weinstein, Y. Y. Sun, S. Zhang, H. Zeng, Nano Energy. Vol 22 (2016) 129-135.
- [13] W. Pies and A. Weiss, Acta Crystallographica, Section A Foundations of Crystallography. Vol 7 (1975) 271-272.

- [14] R. Wyckoff, R. E .Krieger, Vol 1 (1982) 467.
- [15] A. Lopez , R. Alonso, M. Falabella, G. Echeverría , Vol 396 (2010) 37-48.
- [16] A. Swarnkar, W. J. Mir, R. Chakraborty, M. Jagadeeswararao, T. Sheikh, and A. Nag, Chem. M 31 (2019) 565-575.
- [17] J. M. Polfus,T. Norby and R. Bredesen, J. Phys. Chem. C 119 (2015) 23875-23882
- [18] M. Brik, C-G. Ma and V. Krasnenko, j. Surf. Sci. Vol 608 (2013) 146-153.
- [19] R. L. Moreira, A. Dias, J. Phys. Chem. Solids 68 (2007) 1617.
- [20] Sandeep, D. P. Rai, A. Shankar, M. P. Ghimire, R. Khenata, S. Bin Omran, S.V. Syrotyuk, R. K. Thapa, Vol 192 (2017) 282-290.
- [21] A. Bilić and J. D. Gale, Phys. Rev. B 79 (2009) 174107.
- [22] R. A. Evarestov, Phys. Rev. B 83 (2011) 014105.
- [23] W.wei Meng, B. Saparov, F. Hong, J. Wang, D. B. Mitzi and Y. Y. Chem, M. 28 (2016) 821-829.
- [24] T. S. Bjørheim, M. Arrigoni, D. Gryaznov, E. Kotomin and J. chem, Phys. Chem. Phys 17 (2015) 20765-74.
- [25] M. A. Blanco, E. Francisco,V. Luaña, C. Phys. Commun.158 (2004) 7.
- [26] M. A. Blanco, A. M. Pendás, E. Francisco, J. M. Recio and R. Franco, Journal of Molecular Structure : (THEOCHEM) 368 (1996) 245.
- [27] M. Flárez, J. M. Recio, E. Francisco, M. A. Blanco, A. M. Pendás, Phys. Rev. B 66 (2002) 144112.

- 
- [28] E. Francisco, J. M. Recio, M. A. Blanco, A. M. Pendás, and A. Costales, *J. Phys. Chem. A* 102 (1998) 1595-1601.
  - [29] E. Francisco, M. A. Blanco, G. Sanjurjo, *Phys. Rev. B* 63 (2001) 94107.
  - [30] J. P. Poirier, Cambridge University Press, Oxford (2000) 39.
  - [31] R. Hill, *Proc. Phys. Soc.* Vol 65 (1952) 349-354.
  - [32] M. Oumertem, D. Maouche, S. Berri, N. Bouarissa, D. P. Rai, R. Khenata, M. Ibrir. *J. of Computationa. E.* Vol 13 (2019) 1569-8025.

# **خلاصة عامة**

## خلاصة عامة

في هذا العمل تمت دراسة الخواص البنوية والإلكترونية للبيرفسكait  $Ba, Sr, ZrS_3$  ( في الطورين المعيني القائم والمكعب، باستخدام طريقتي الأمواج المستوية والكمون الزائف  $PP-PW$  المدمجة في برنامج  $CASTEP$  و الأمواج المستوية المتزايدة خطيا والكمون الكامل  $FP-LAPW$  المدمجة في برنامج  $WIEN2k$  ، في الإطار العام لنظرية دالية الكثافة  $DFT$  وهذا في التقريبات المختلفة للتدرج المعمم ، لمعالجة كمون التبادل والارتباط من أجل حساب الخواص البنوية والإلكترونية. تم أيضا دراسة و مناقشة الخصائص الترموديناميكية للمركبات المدروسة باستخدام النموذج شبه الهرموني لدبليا (  $Quasi - harmonic Debye model$  ) المدمج في برنامج جيبس  $Gibbs$  ، وتم تلخيص نتائج عملنا في النقاط التالية:

### 1. الخواص البنوية

- بينت الدراسة أن القيم المحسوبة لثوابت الشبكة  $(\text{Å}) a, b, c$ ، متوافقة مع النتائج النظرية و التجريبية المتاحة خاصة منها التجريبية.
- أظهرت النتائج أن الطور المعيني القائم  $Pnma$  للمركب  $BaZrS_3$  هو الأكثر استقرارا.
- بعد تحديد معامل الانضغاط  $B$  للمركب  $BaZrS_3$  بالطريقتين السابقتين نجد أن نتائجنا أقل بكثير من القيمة التجريبية و يرجع ذلك إلى إهمال إلكترونات التكافؤ المشكلة للباريوم  $Ba$  على مستوى المدارت  $5S^2$  و  $5P^6$ .

### 2. الخواص الإلكترونية

- النتائج المحصل عليها والخاصة ببنية العصب وكثافة الحالات تمت باستخدام طريقة الأمواج المستوية المتزايدة خطيا والكمون الكامل  $FP-LAPW$  و التي تشبه إلى حد كبير تلك المحسوبة بطريقة الأمواج المستوية والكمون الزائف  $PP-PW$  مع اختلاف ضئيل يمكن إهماله اعتمادا على تناظر الشبكة.

- تمت العمليات الحسابية باستخدام دوال الكثافة المختلفة ضمن تقريب التدرج المعمم، وأظهرت

## خلاصة عامة

أن بنية العصب الإلكتروني للمواد المدروسة هي أنصاف نواقل ذات فجوات عصبية غير مباشرة ( $\Gamma-R$ ) في الطور المكعب ، في حين أنها تشكل فجوات عصبية مباشرة ( $\Gamma-\Gamma$ ) في الطور المعيني القائم.

- بينت نتائج الحسابات أن طبيعة المركبات  $BaZrS_3$  ،  $SrZrS_3$  و  $CaZrS_3$  هي أنصاف نواقل مستقرة عند تغير الحجم  $V_0$  من 0 إلى + 14٪.
- كثافة الحالات الكلية للمركبات السابقة تميز بوجود عصابات تكافؤ (*valence band*)  $VB$  للطور المعيني القائم في التقرير  $PBE-GGA$  و المجال الطaci -4،  $0 \text{ eV}$  إلى مستوى فارمي و تكون المساهمة الرئيسية في التهجين على المدارات الإلكترونية  $X-p$  و  $S-s$  و أن هذه  $E_f$  العصابات سائدة في المدارات المختلطة  $S-p$  و  $X-p$ ، أما عصابة النقل (*conduction band*)  $CB$  أكبر من مستوى فيرمي تكون المساهمة كبيرة على المدارات الإلكترونية  $X-s$  و  $Zr-d$ .

### 3. الخواص термодинамическая

باستخدام النموذج شبه التوافقى لدبىاى تمت دراسة الخصائص термодинاميكية و أعطت النتائج الآتية :

- يزداد ثابت الشبكة بزيادة درجة الحرارة عند ضغط معين، و عند درجة حرارة معينة يتلاصص ثابت الشبكة مع زيادة الضغط.
- يتغير معامل الانضغاط  $B$  تقريباً بشكل خطى مع درجة الحرارة لجميع الضغوط المأكولة حيث تنخفض الرتابة ببطيء عند زيادة درجة الحرارة من أجل  $K < T < 100$ ، ويزداد بزيادة الضغط.
- تزداد السعة الحرارية  $C_V$  مع زيادة درجة الحرارة و سلوكها يكون سريعا في درجة الحرارة المنخفضة و يصبح بطئاً في درجة الحرارة العالية، و بتغير الضغط يتميز سلوك السعة الحرارية لجميع المركبات المدروسة بخصائص مماثلة على مدى واسع من درجات الحرارة؛ أي تزداد السعة الحرارية بانخفاض الضغط.

## خلاصة عامة

---

- تنقص درجة حرارة ديباي  $\theta_D$  ببطيء في درجات الحرارة العالية، وفي درجة حرارة ثابتة تزيد بزيادة الضغط المطبق، وتتحفظ درجة حرارة ديباي مع زيادة العدد الذري  $X$  وتكون مستقلة عن درجة الحرارة لما  $T < 100 K$ .
- معامل التمدد الحراري  $\alpha$  يزداد بسرعة كبيرة إلى غاية درجة حرارة أقل من  $K 600$ ، ثم تباطأ سرعته تدريجياً في درجات الحرارة العالية، بينما تظل القيمة  $\alpha$  ثابتة تقريباً عند درجات الحرارة المرتفعة ( $K 1500 > T$ )، ويزداد  $\alpha$  بانخفاض الضغط عند درجة الحرارة الثابتة.

الملحق  
الاختصارات المستخدمة:

الرمز	العربية	الإنجليزية	الفرنسية
<b>FP-LAPW</b>	الأمواج المستوية المتزايدة خطياً والكمون الكامل	<i>Full Potential- Linearized Augmented plane Wave</i>	Onde plane augmentée linéarisée à plein potentiel
<b>PP-PW</b>	الأمواج المستوية والكمون الزائف	<i>PseudoPotential- plane Wave</i>	Onde plane PseudoPotential
<b>DFT</b>	نظريّة دالية الكثافة	<i>Density Functional Theory</i>	Théorie de la fonctionnelle de la densité
<b>EDFT</b>	نظريّة دالية الكثافة المجمعة	<i>Ensemble Density Functional Theory</i>	théorie fonctionnelle de la densité d'ensemble
<b>LDA</b>	تقريب كثافة الموضع	<i>Local Density Approximation</i>	Approximation de la densité locale
<b>LSDA</b>	تقريب كثافة الدوران (السيدين) الموضعية	<i>Local Spin Density Approximation</i>	Approximation de la densité de spin locale
<b>GGA</b>	تقريب التدرج المعمم	<i>Generalized Gradient Approximation</i>	Approximation du gradient généralisé
<b>PW</b>	الأمواج المستوية	<i>Plane Wave</i>	Onde plane
<b>APW</b>	الأمواج المستوية المتزايدة	<i>Augmented Plane Wave</i>	Onde plane augmentée
<b>LAPW</b>	الأمواج المستوية المتزايدة خطياً	<i>Linearized Augmented plane Wave</i>	Onde plane augmentée linéarisée
<b>PP</b>	الكمون الزائف (الكافب)	<i>Pseudo-Potential</i>	Pseudopotentiel
<b>US-PP</b>	الكمون الزائف اللين جداً	<i>UltraSoft PseudoPotential</i>	Pseudopotentiels ultradoux
<b>PBC</b>	الشروط الحدية الدورية	<i>Period Border Condition</i>	Conditions limites périodiques
<b>ZB</b>	منطقة بريلوون	<i>Brillouin Zone</i>	Zone de Brillouin
<b>DOS</b>	كثافة الحالات	<i>Density Of States</i>	Densité d'états
<b>TDOS/ PDOS</b>	كثافة الحالات الكلية /جزئية	<i>Total/Partial Density Of States</i>	Densité d'états totale/partielle
<b>E<sub>XC</sub></b>	طاقة التبادل و الارتباط	<i>Exchange-Correlation energy</i>	Energie d'échange-corrélation
<b>EOS</b>	معادلة الحالة	<i>Equation Of State</i>	Equation d'état
<b>SCF</b>	مجال المتسق الذاتي	<i>Self Consistent Field</i>	Champ auto-cohérent
<b>OPW</b>	الأمواج المستوية المتعامدة	<i>Orthogonalized Plane Waves</i>	ondes planes Orthogonalisées
<b>DM</b>	خلط الكثافة	<i>Density Mixing</i>	Mélange de densité
<b>EA</b>	جميع الإلكترونات	<i>All Electrons</i>	toutes électrons
<b>VBM</b>	الحد الأقصى لعصب التكافؤ	<i>Valence Band Maximum</i>	bande de valence maximum
<b>CBM</b>	الحد الأدنى لعصب النقل	<i>Conduction Band Minimum</i>	bande de conduction minimum

قمنا في هذا العمل بدراسة نظرية للمركبات المعرفة باسم البيرفسكايتس "perovskites" ،  $\text{CaZrS}_3$  و  $\text{SrZrS}_3$  ،  $\text{BaZrS}_3$  للطوريين المكعب و المعيني القائم باستعمال طريقة الأمواج المستوية المتزايدة خطيا (FP-LAPW) المدمجة في برنامج WIEN2k ، وطريقة الأمواج المستوية والكمون الزائف (PP-PW) المدمجة في برنامج CASTEP و ذلك في إطار نظرية دالية الكثافة (*DFT*) ، باستعمال التقريريات المختلفة للتدرج المعمم GGA بهدف التحقق من الوسائل الفيزيائية كثابت التوازن، معامل الانضغاط ، كثافة الحالات، بنية العصابات ...

تم حساب الخصائص термодинамическая باستخدام النموذج شبه التوافقى لدبىاى المدمج في برنامج جيبس، وتحديد حجم الخلية الأولية، معامل الانضغاط  $B$ ، درجة حرارة ديبىاى، السعة الحرارية بثبوت الحجم ، ومعامل التمدد الحراري عند ضغوط مختلفة ودرجات حرارة محصورة بين 0 و 1500 K .

## Abstract

The structural, electronic and thermodynamic properties of the  $\text{BaZrS}_3$ ,  $\text{SrZrS}_3$  and  $\text{CaZrS}_3$  "perovskites" compounds have been studied for cubic and orthorhombic phases using Full Potential Linearized Augmented Plane Wave Method (FP-LAPW) and Pseudo-Potential Plane Wave method (PP-PW) within Density Functional Theory DFT. Using the different generalized gradient approximations (GGA) by using the CASTEP and WIEN2k package to verify the physical media: the constant network, the bulk modulus (B) and its pressure derivative ( $B'$ ), the density of states, and the band structure...

The thermodynamic properties have been investigated by using the GIBBS program which is based on the quasi-harmonic model of Debye, determining the initial cell size, the compression coefficient, the Debye temperature, Thermal capacity with constant volume, expansion coefficient thermal at different pressures (between 0-30 GPa) and temperatures below 1500K.

## Résumé

Dans ce travail nous avons fait une étude théorique Pour les composés Pérovskites (*Ba, Sr, Ca*)  $ZrS_3$  pour les deux phases ; cubique et orthorhombique Utiliser la méthode de la Pseudo-potentiels à Ondes Planes (*PP-PW*) intégré dans le programme *CASTEP* et des ondes planes augmentées linéarisées (*FP-LAPW*) intégré dans le programme *WIEN2k*, dans le cadre de la théorie *DFT*. Utiliser différentes approximations de *GGA*, Dans le but de vérifier les supports physiques tels que l'équilibre constant, le coefficient de compressibilité, la densité d' état, la structure de bande électronique ...

Les propriétés thermodynamiques ont été calculées à l'aide du modèle quasi-harmonique Debye intégré au programme Gibbs, déterminant la taille de cellule initiale, du coefficient de compression, la température de Debye, Capacité thermique à pression et volume constants, coefficient de dilatation thermique à différentes pressions (entre 0-30 GPa) et températures inférieures à 1500 K.

## المنشورات

1. Theoretical investigation of the structural, electronic and thermodynamic properties of cubic and orthorhombic  $XZrS_3$ ( $X = Ba, Sr, Ca$ ) compounds.  
**Mouloud Oumertem<sup>1</sup>**, D. Maouche<sup>2</sup>, Saadi Berri<sup>2,3</sup>, N. Bouarissa<sup>3</sup>, D. P. Rai<sup>4</sup>, R. Khenata<sup>5</sup>, M. Ibrir<sup>3</sup>.
2. First-principles investigation of structural, electronic, optical and thermodynamic properties of  $KAg_2SbS_4$ .  
Saadi Berri<sup>a,b,\*</sup>, Nadir Bouarissa<sup>b,c</sup>, **Mouloud Oumertem<sup>a</sup>**, Sabah Chami<sup>b</sup>
3. Density functional studies of magneto-optic properties of  $Sr_2GdReO_6$ .  
Saadi Berri<sup>1</sup>, Sabah Chami<sup>2</sup>, Mourad Attallah<sup>3</sup>, **Mouloud Oumertem<sup>4</sup>**, Djamel Maouche<sup>1</sup>.